

Derivation of sea ice parameters for design load calculations of offshore wind turbines – A case study in the Southern Baltic Sea

Amund Soland

Industry advisor:
Sigurd Henrik Teigen

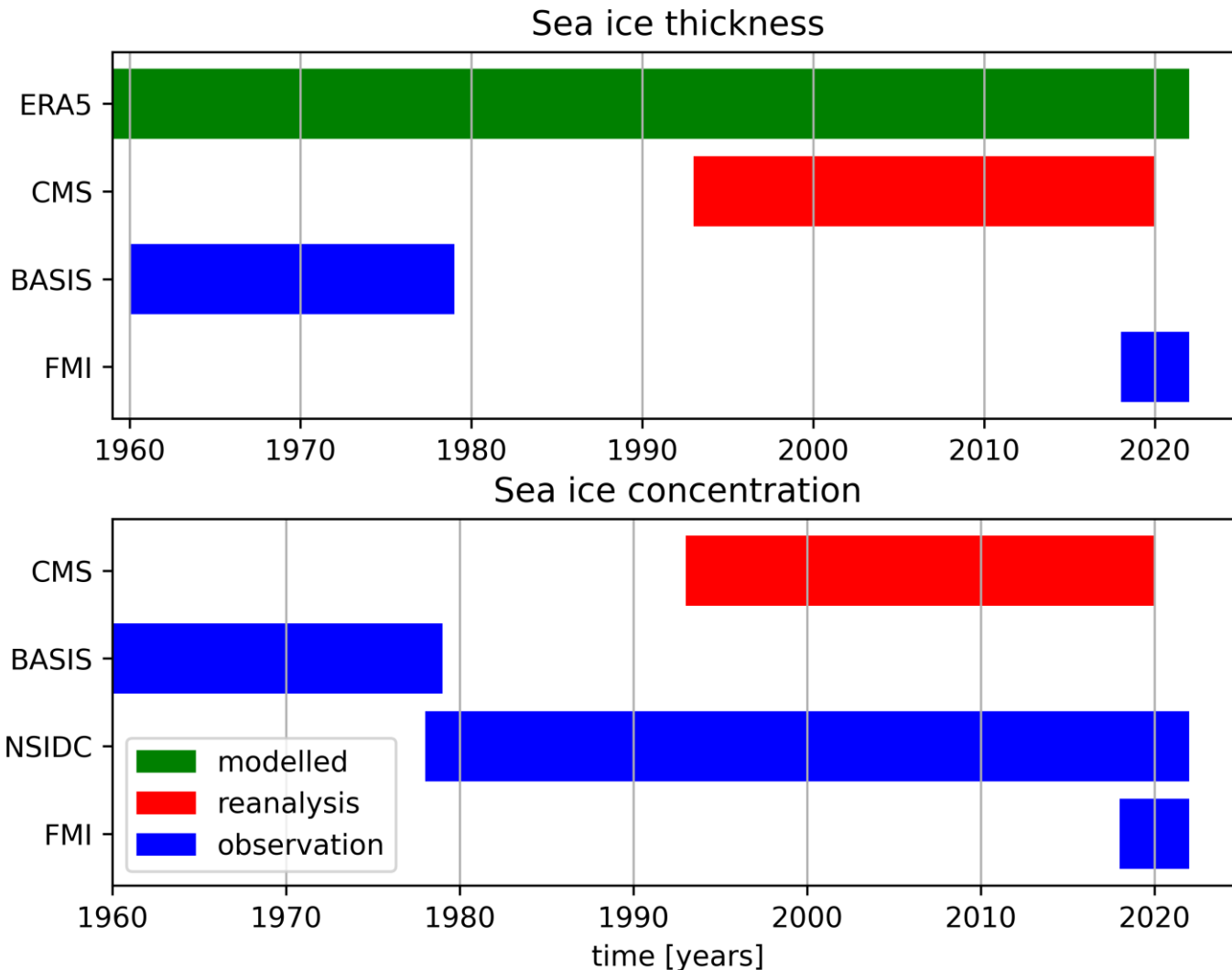
Internal supervisor:
Jon Andreas Støvneng



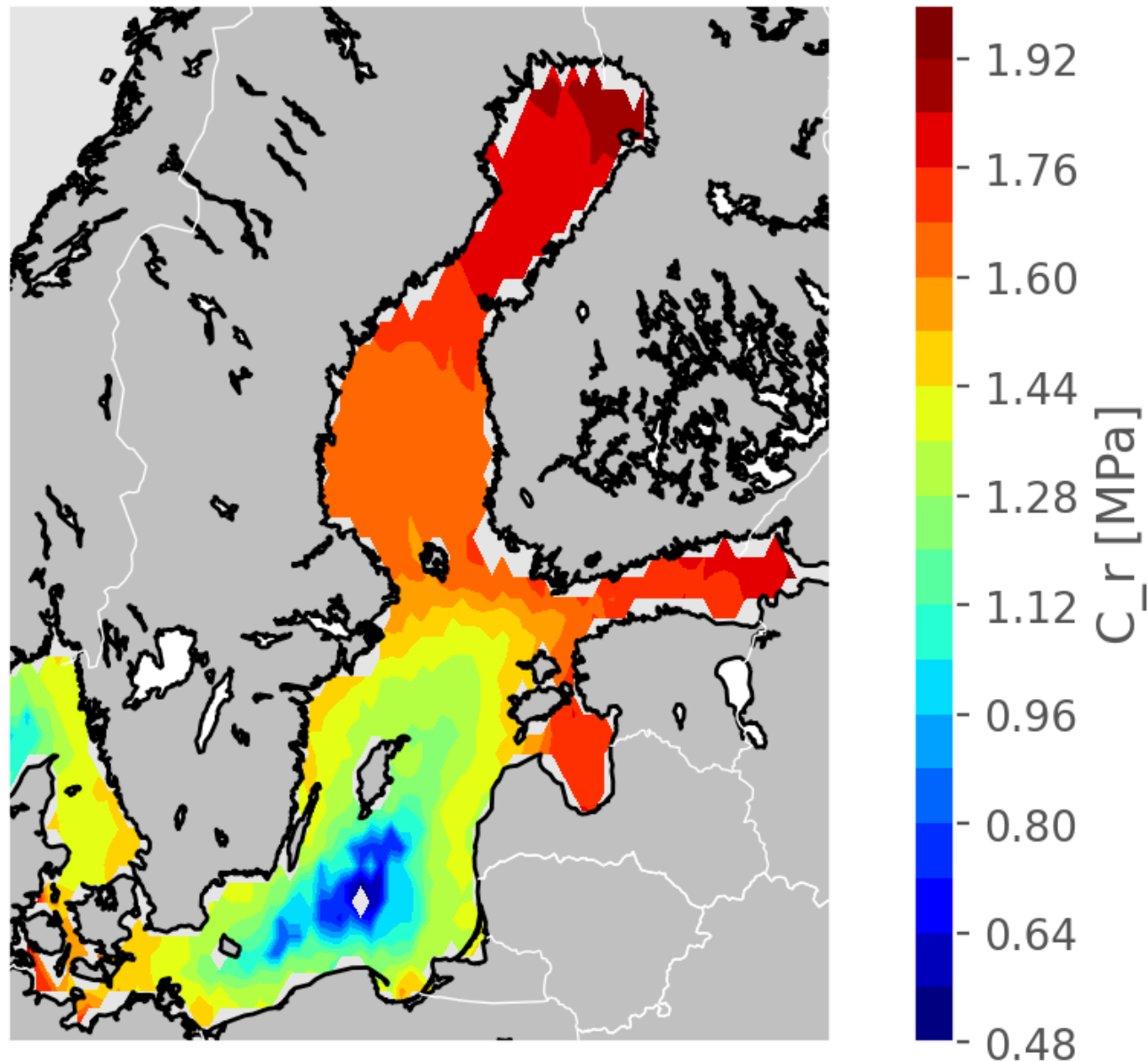
Energiunderskudd og dekarbonisering



To viktige parametre



Havisens styrkekoeffisient



Yield Stress Fluids in Immiscible Two Phase Flow

ANDREAS A. HENNIG

VEILEDERE:

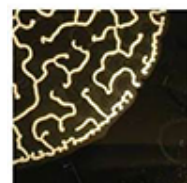
ALEX HANEN, NTNU

SANTANU SINHA, NTNU/UiO

FEDERICO LANZA, NTNU/UNIVERSITÉ PARIS SACLAY

LAURENT TALON, UNIVERSITÉ PARIS SACLAY

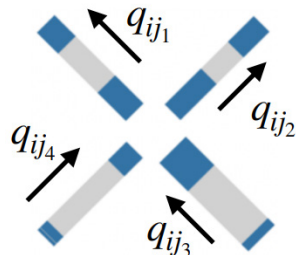
ALBERTO ROSSO, UNIVERSITÉ PARIS SACLAY



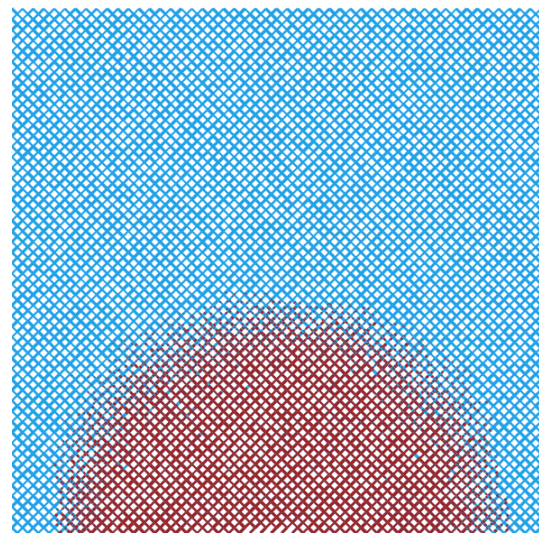
PoreLab
NTNU-UiO Porous Media Laboratory

Porøse medier

- Darcys lov – utfordringer med porøse medier
- Forventer 3 ulike fenomener for Newtonsk væske – kapillære og viskøse krefter dominerer
- Pore-Nettverksmodell

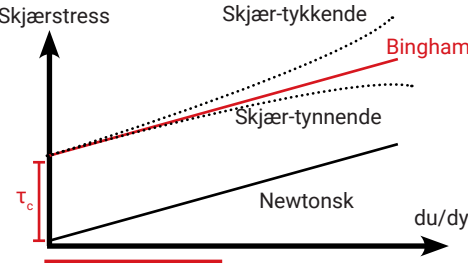


$$q = \frac{\kappa}{\mu} \frac{\Delta P}{L}$$



Ikkenewtonske væsker

- Bingham-væsker: Majones, oreokrem og... katter?
- System med koblede, ikkelineære ligninger – løses med ALM
- Kan utvides til indeks-fluider



On the rheology of cats

M.A. Fardin^{1,2,*}
¹Université de Lyon, Laboratoire de Physique, Villeurbanne, Université de Lyon,
CNRS UMR 5472, 46 Allée d'Italie, 69364 Lyon cedex 07, France.
²The Academy of Brussels Family (EBF),
³Member of the Belgian Royal Family (EBF).

(Dated: July 9, 2014)

In this letter I highlight some of the recent developments in the rheology of Pets cats, with special application for other species of the Felidae family. In the linear rheology regime many clues can enter the determination of the characteristic time of cusp: from surface effects to yield time. In the non-linear regime, the determination of the yield stress is not so simple. In fact, the lids in the usual dimensional control parameter, can be hard to compute because cats are active biological materials.

Everything flows! This famous aphorism from Heraclitus is a good angle to start this paper. Everything flows and nothing stays fixed." A recipe for a stable life is to accept that nothing stays fixed. ...? Well, it depends on the definition of a "stable life". What is the state in which we want our cat to be? What is the state in which we want our cat to be? What is the state in which we want our cat to be? ...? Solid is the state in which matter and volume are constant; liquid is the state in which matter or mass is constant but volume adapts to its container; and gas is the state in which

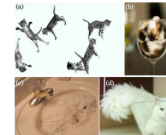


FIG. 1: (a) A cat appears as a solid material with a constant shape rotating and bouncing, like Silly Putty on the left

II. UNDERSTANDING SHEAR STRESS AND STRAIN IN SANDWICH COOKIE FLOW

In laboratory rheometry, a sample fluid is typically placed between two coaxial parallel disks. The lower disk is held fixed while the upper disk is rotated at a constant rotation rate Ω . This creates a wall-driven laminar (Couette) flow with internal tangential velocity ranging linearly in height from $v = 0$ at the fixed lower disk to $v = r\Omega$ at the upper disk, where r is the radial position from the center of the disk [Figs. 2(a)-2(c)].

The velocity field in the fluid is, thus,¹⁴

$$v_\theta(r, z) = \frac{\Omega r}{H}. \quad (1)$$

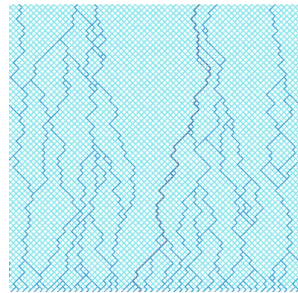
For sandwich cookies, the analogy is apparent: the wafers are the parallel plates, and the creme is the fluid in between. When one wafer is fixed and the other is rotated, the central cylindrical disk of creme deforms until failure. Through analogy to this parallel plate setup, we calculate the material-level descriptors (shear stress, shear rate, and shear strain) for twisting Oreos, based on measured and applied quantities (torque and angular displacement). The shear rate $\dot{\gamma}$ arising from the rotation rate Ω with creme height H will be

$$\dot{\gamma}_m = \frac{\partial v}{\partial z} = \frac{\Omega r}{H}. \quad (2)$$

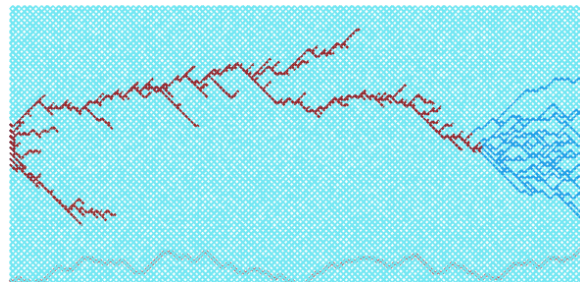
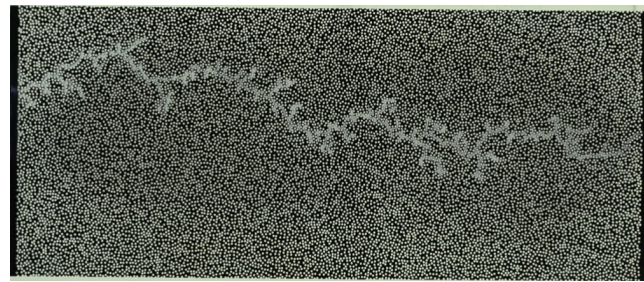
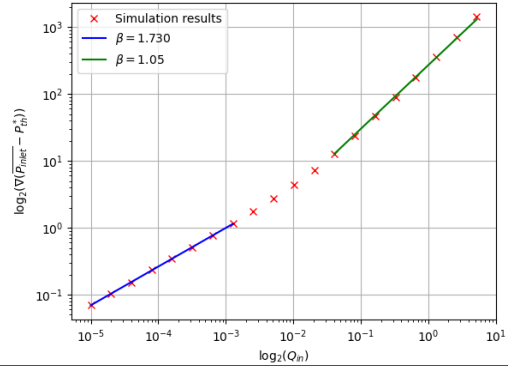
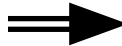
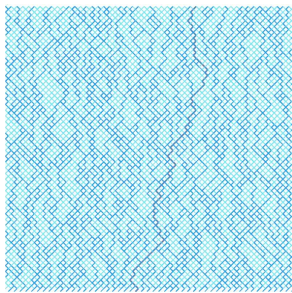
Strømning i ett rør

$$q_{ij} = \begin{cases} \sigma_{ij} \left(\Delta p_{ij} + p_\gamma - \tau_{ij} \right) & \text{if } |\Delta p_{ij} + p_\gamma| > \tau_{ij} \\ 0 & \text{if } |\Delta p_{ij} + p_\gamma| \leq \tau_{ij} \end{cases}$$

Resultater og videre arbeid



Økt strømning



Maskinlæringsbasert søk etter nytt Z'-boson ved LHC med ATLAS-detektoren

Andreas Middelthon

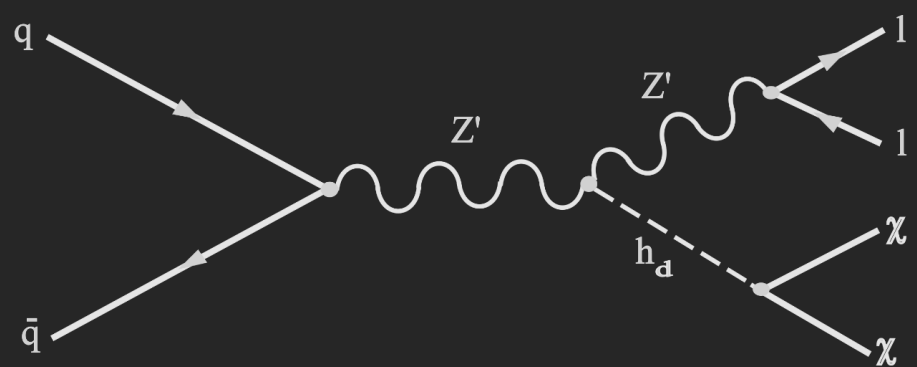
Veiledere:

Jon Andreas Støvneng

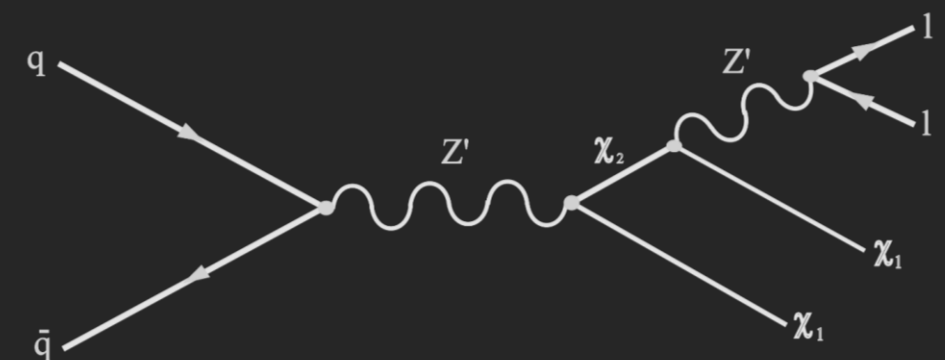
Farid Ould-Saada

MODELLER FOR Z'-BOSON

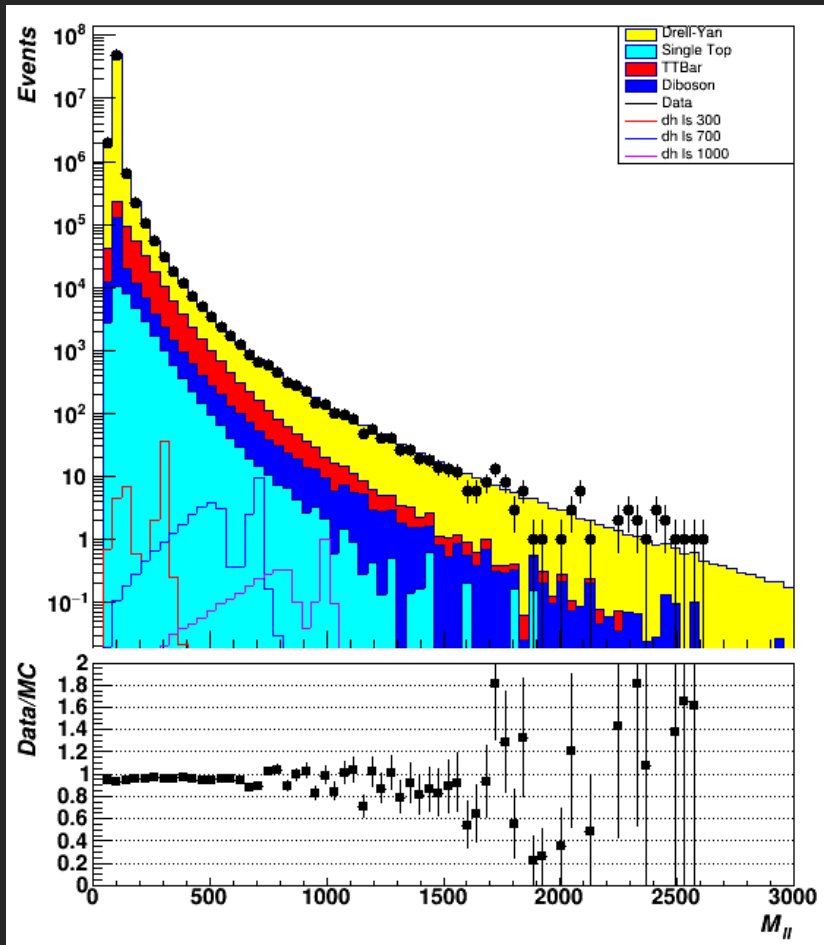
Mørk Higgs



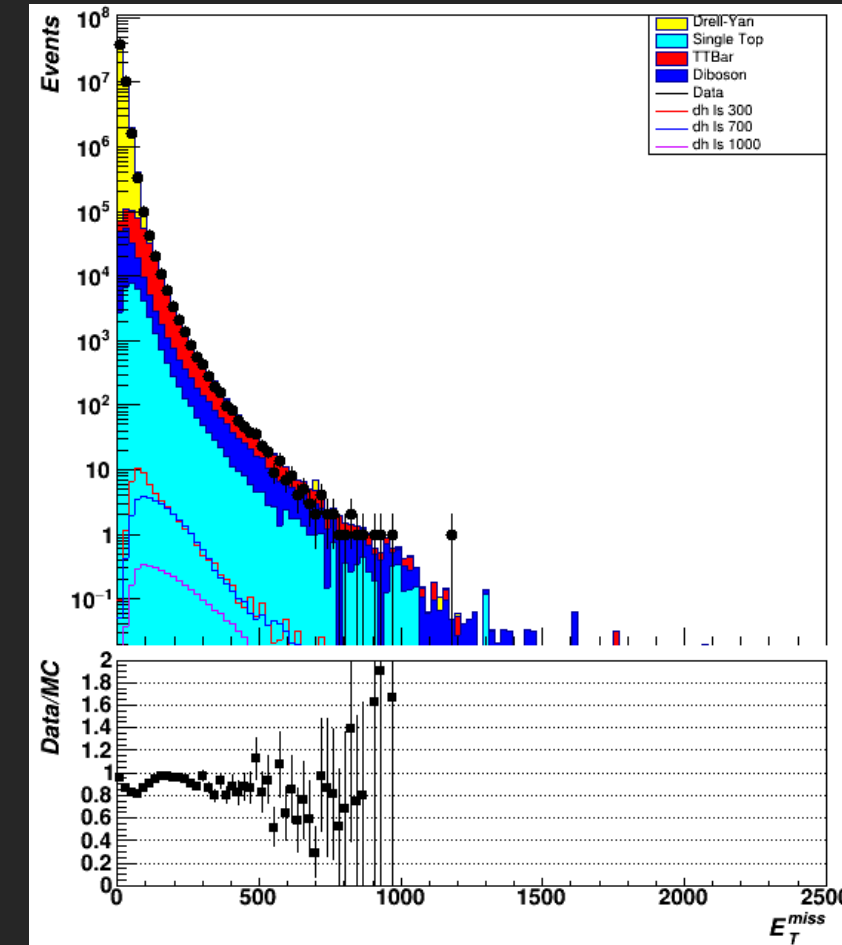
Light Vector



SAMMENLIGNING AV SIMULERING OG DATA



Invariant masse



Manglende energi (MET)

SPØRSMÅL

Maskinlæringsbasert søk etter nytt Z'-boson ved LHC med ATLAS-detektoren

Andreas Middelthon

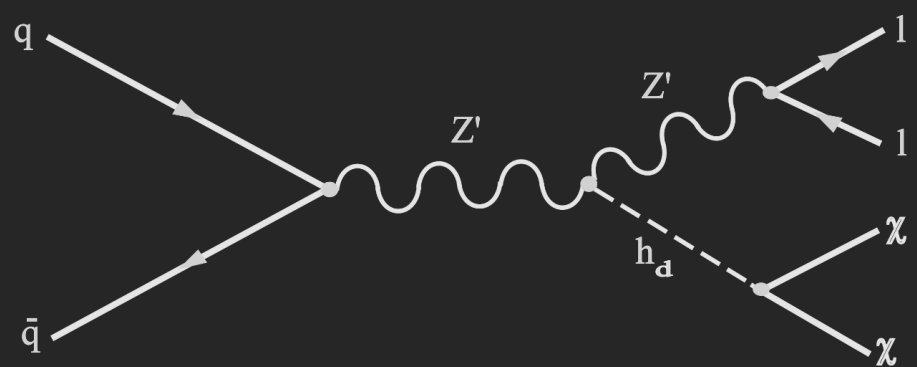
Veiledere:

Jon Andreas Støvneng

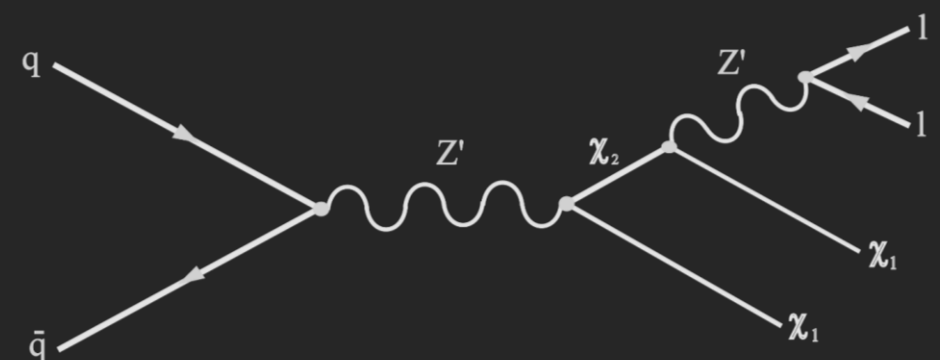
Farid Ould-Saada

MODELLER FOR Z'-BOSON

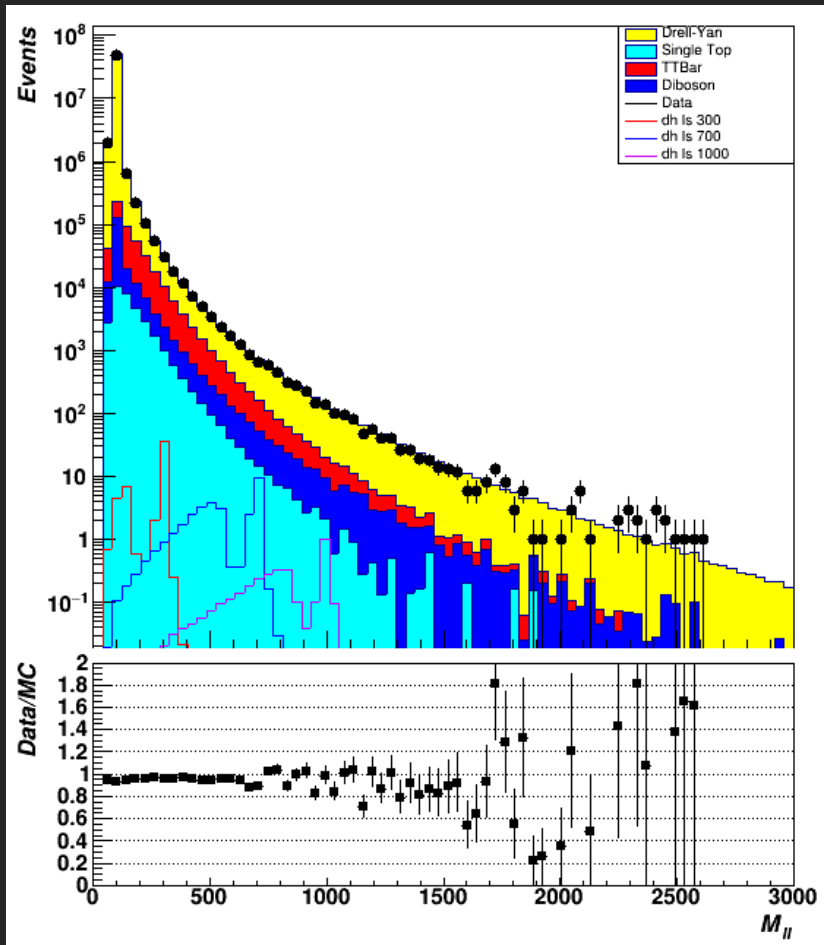
Mørk Higgs



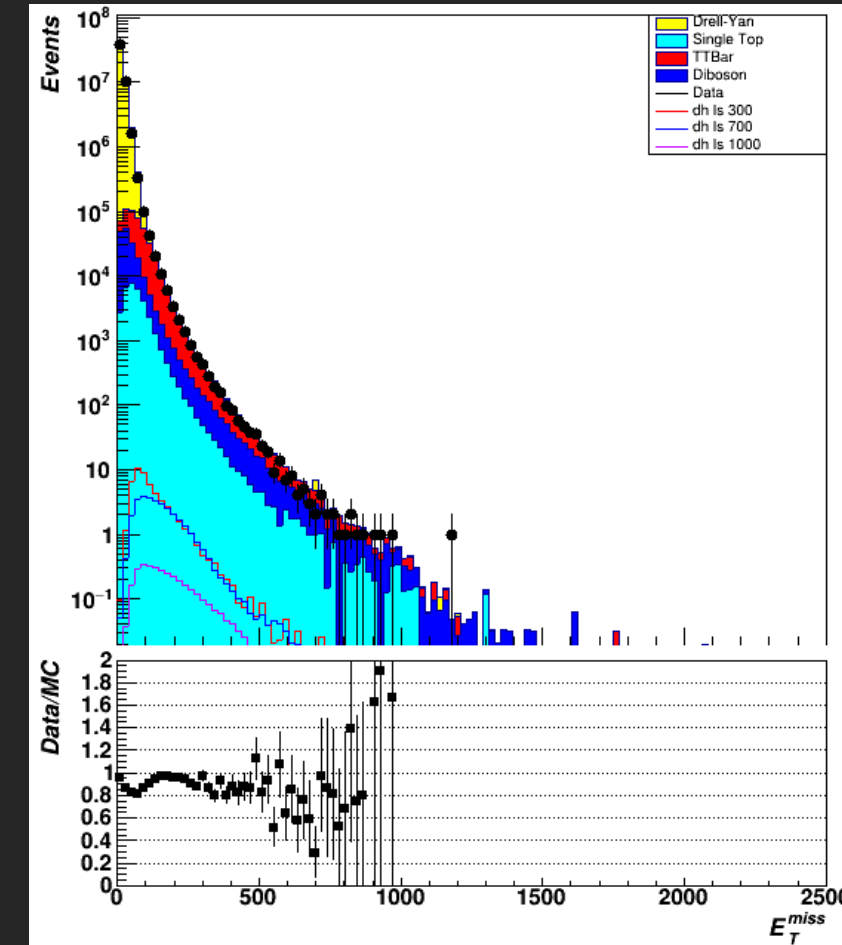
Light Vector



SAMMENLIGNING AV SIMULERING OG DATA



Invariant masse

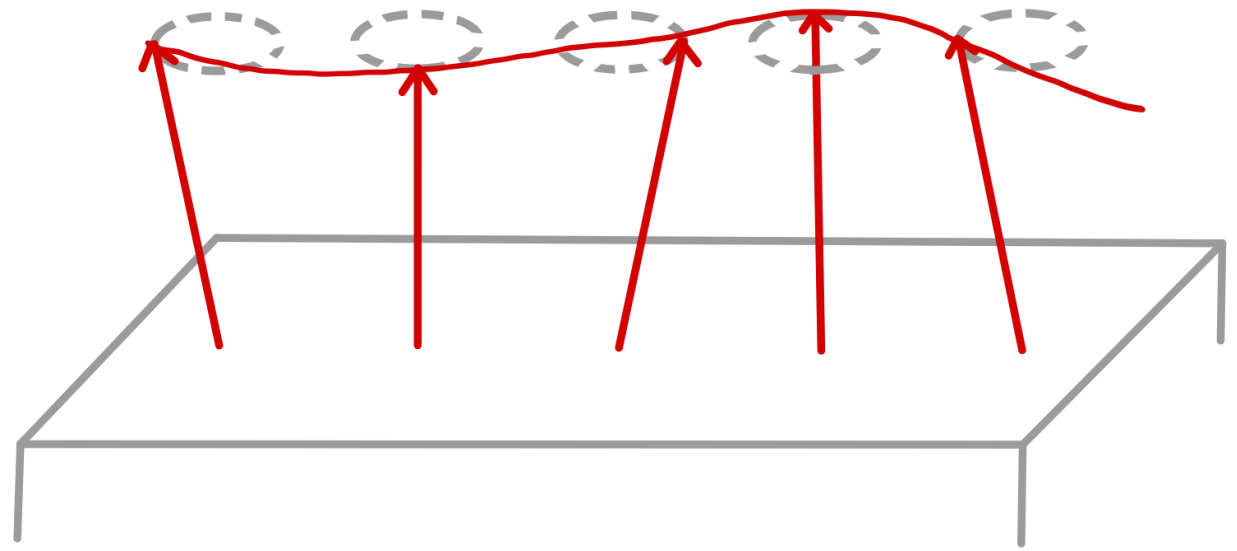


Manglende energi (MET)

SPØRSMÅL

Bose-Einstein kondensasjon av magnoner

Anne Louise Kristoffersen



Partikkel BEK

- Kald gass
- Individuelle bølgefunksjoner → makroskopisk bølgefunksjon



Magnon-BEK i ferromagnetiske isolatorer

- Prosjektoppgave
- Heisenberg

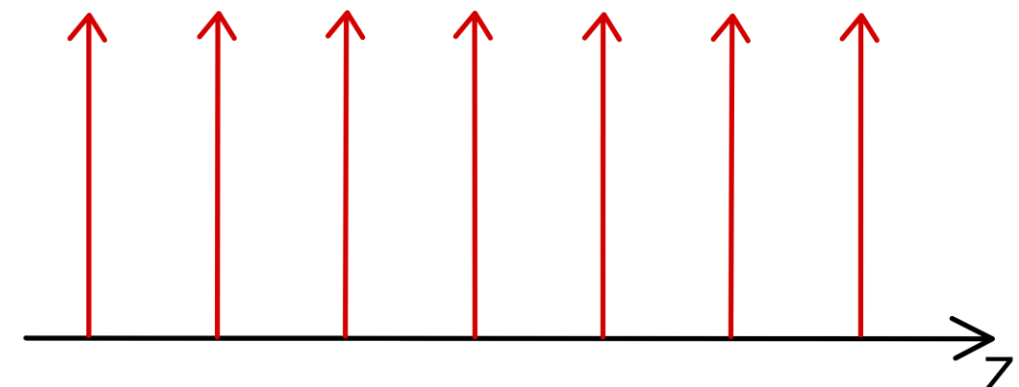
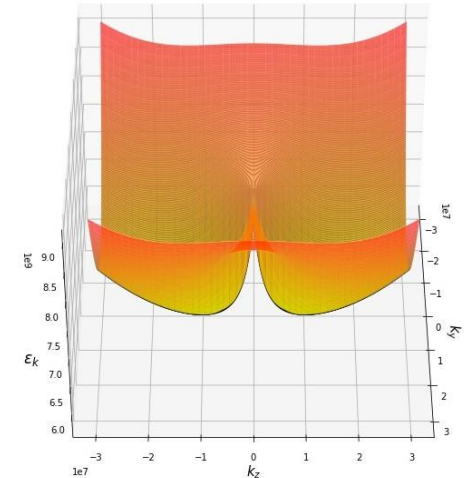
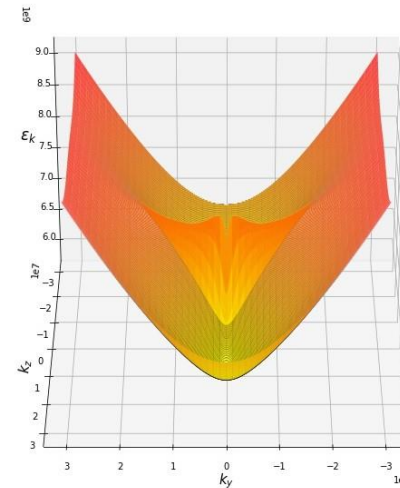
$$H_H = -J \sum_{ij} \vec{S}_i \cdot \vec{S}_j$$

- Zeeman

$$H_{Zee} = \sum_i h S_i^z$$

- Dipol

$$H_{dip} = \sum_{ij} \sum_{\alpha\beta} D_{ij}^{\alpha\beta} S_i^\alpha S_j^\beta$$

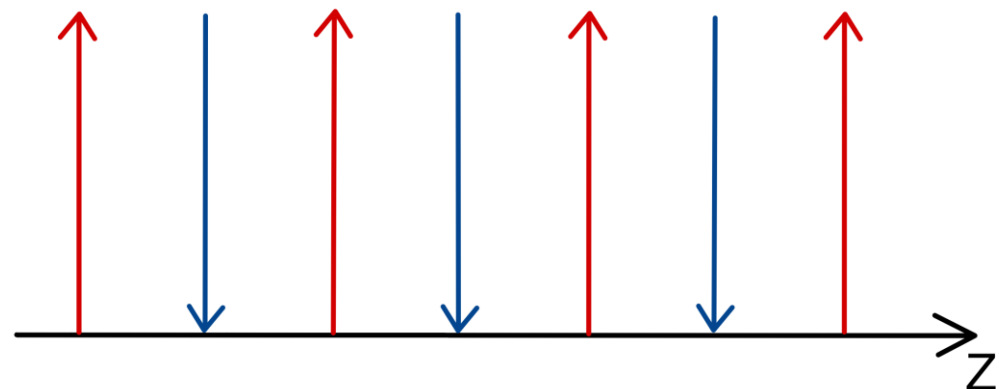


Magnon-BEK i antiferromagnetiske isolatorer

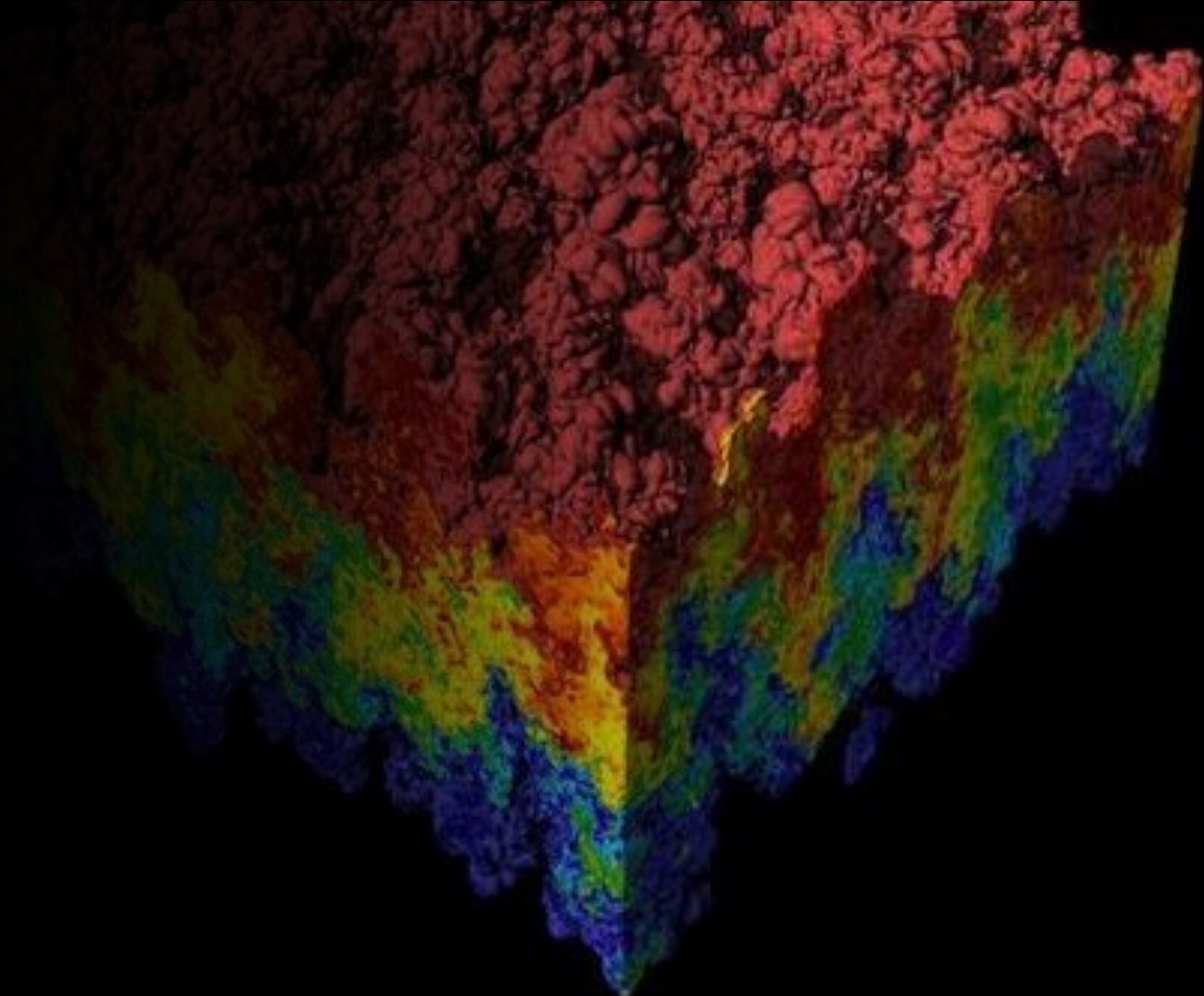
- Masteroppgave
- Dzyaloshinskii-Moriya



$$H_{DMI} = - \sum_{ij} \mathbf{D}_{ij} \cdot (\vec{S}_i \times \vec{S}_j)$$

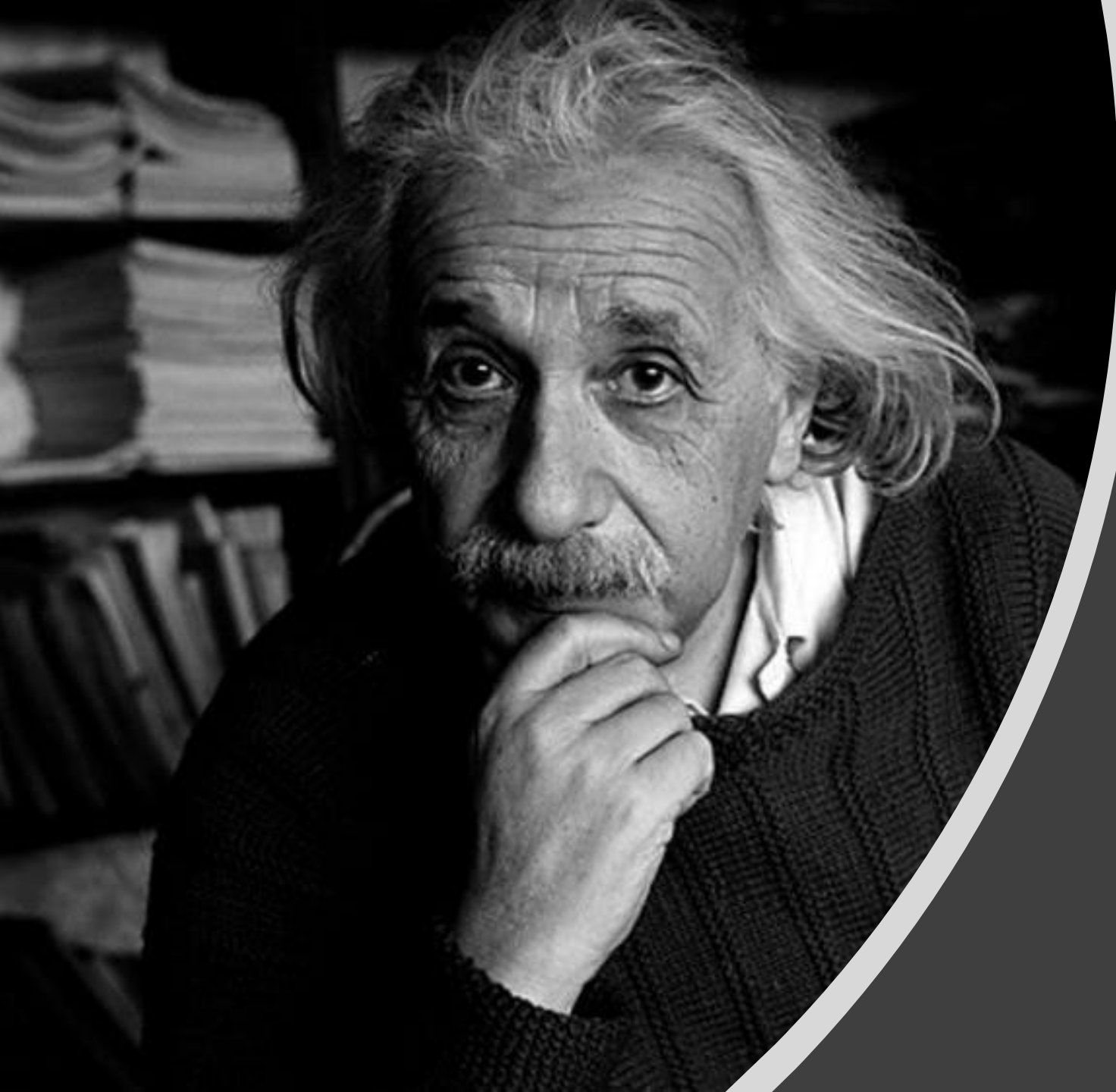


Simulating thermodynamical properties of noble gases using molecular dynamics



Arne Kristian Kramprud Hjelt

Under veiledning av Raffaela Cabriolu



<- That guy again...

«Gedankenexperiment»

- Imagine an experimental setup
- Do the experiment mentally by applying the physics you know
- Evaluate

Benefits

- You can do big experiments that would be expensive or impossible to do in real life
- You can get interesting results that push your understanding further

Challenges

- Systems with many individual elements that can't be approximated to a few big entities can get too complex to keep track of
- Complex systems might generate a lot of data which can be labour intensive to analyze

Molecular Dynamics

- The computer-age extension of the thought experiment

No longer any problem to make many calculations on complex systems

Cheap compared to doing the actual physical experiments

Can analyze vast amounts of data quickly

Results can be graphically represented

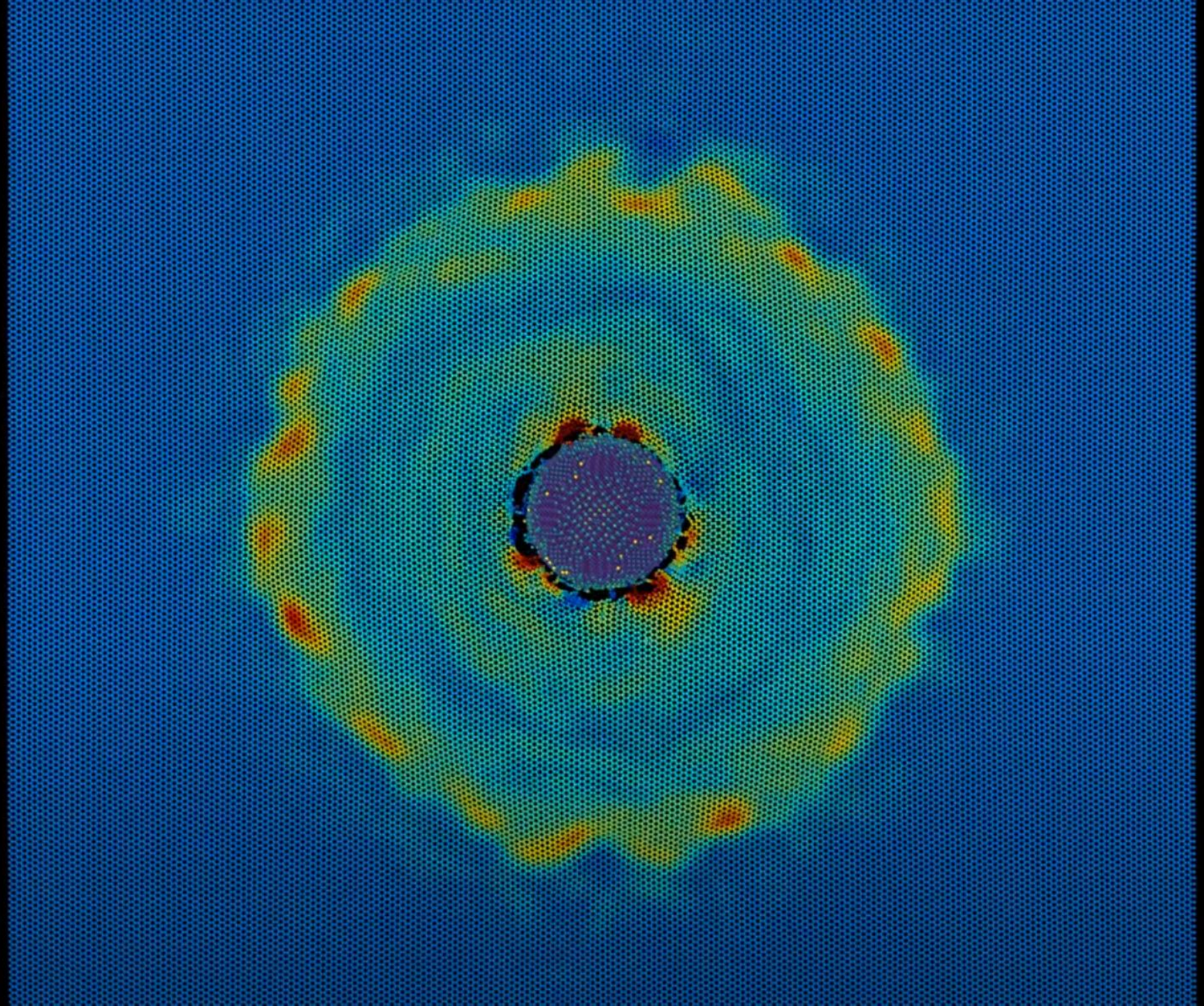
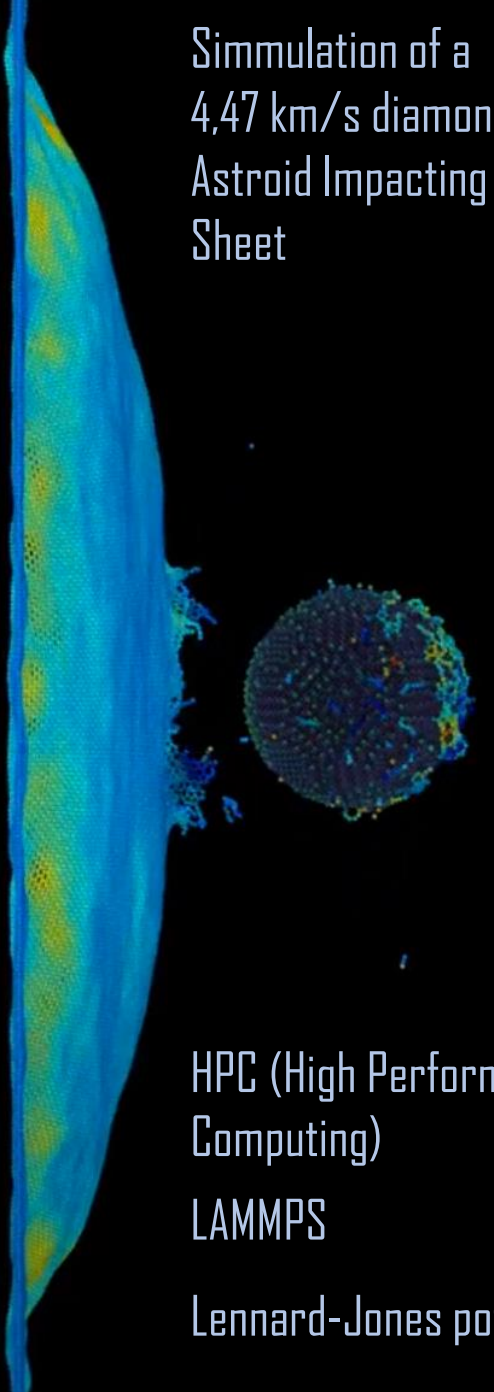
Gedanken-experiment

Molecular Dynamics

Real world experiments



Simulation of a
4,47 km/s diamond Nano-
Astroid Impacting a Graphene
Sheet



Kompakte stjerner

TOV-LIKNINGEN OG IDEELLE
NØYTRONSTJERNER

Carl Fredrik Andresen

Veileder: Jens Oluf Andersen



Bildet er hentet fra Kurzgesagts video om
nøytronstjerner

Modellering av nøytronstjerner

- Sterke gravitasjonsfelt: Trenger beskrivelse fra generell relativitetsteori
- Anta sfærisk symmetri – Schwarzschild-løsning for interiøret av en massefordeling
- Anta også ideelt fluid
- Leder til TOV-likningen
- Lukke systemet med en tilstandslikning: energitethet som funksjon av trykk
- Eksempel på tilstandslikning: Ideell Fermi-gass
- Trykk og energitethet uttrykt ved hjelp av dimensjonløs Fermi-impuls

TOV-likningsystem

$$\frac{dp}{dr} = -\frac{GM(r)\epsilon(r)}{r^2c^2} \left[1 + \frac{p(r)}{\epsilon(r)} \right] \left[1 + \frac{4\pi r^3 p(r)}{M(r)c^2} \right] \left[1 - \frac{2GM(r)}{rc^2} \right]^{-1}$$

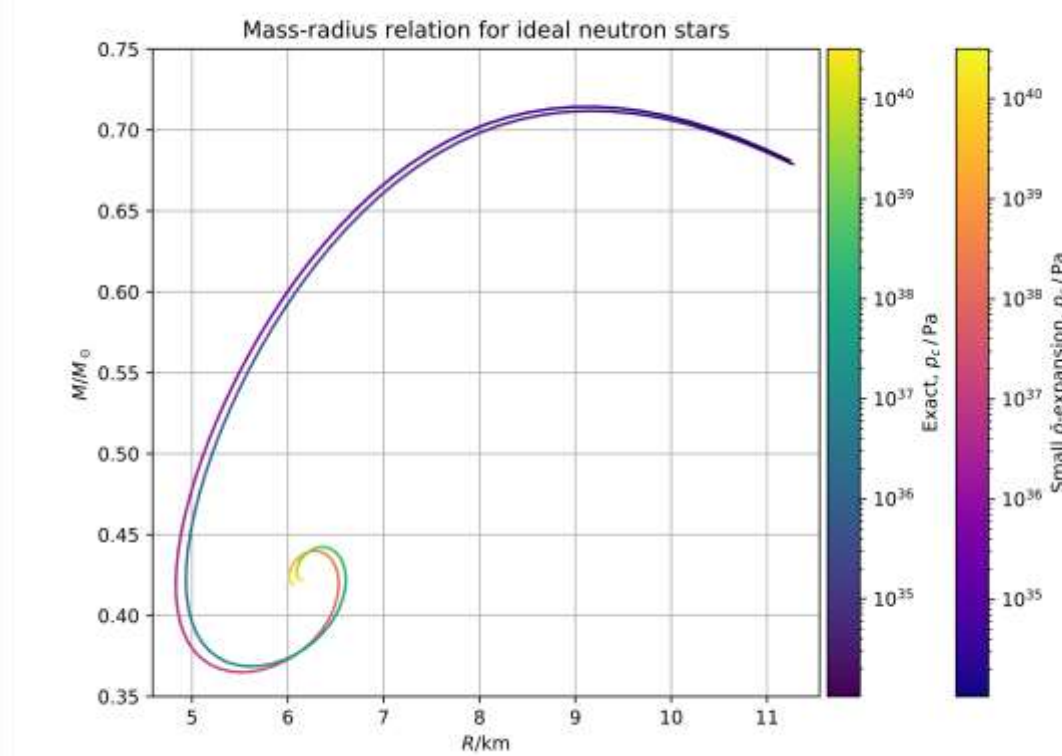
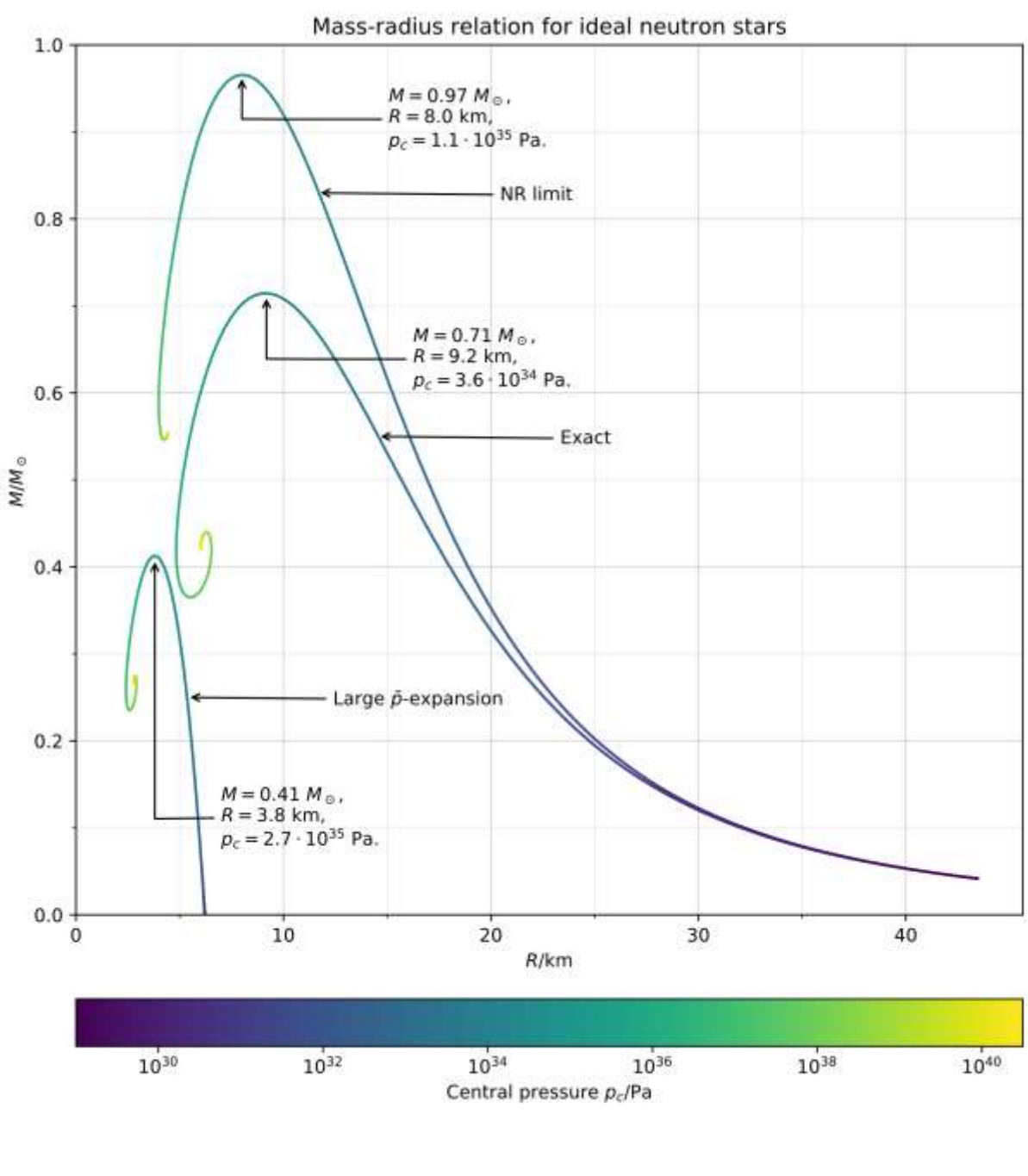
$$M(r) = \int_0^r dr' 4\pi r'^2 \rho(r') = \int_0^r dr' \frac{4\pi r'^2 \epsilon(r')}{c^2}$$

$$\epsilon = \epsilon(p)$$

Ideell Fermi-gass

$$p = \varepsilon_g \left[\frac{x_F^3 \sqrt{1+x_F^2}}{12} + \frac{\operatorname{arcsinh}(x_F) - x_F \sqrt{1+x_F^2}}{8} \right]$$

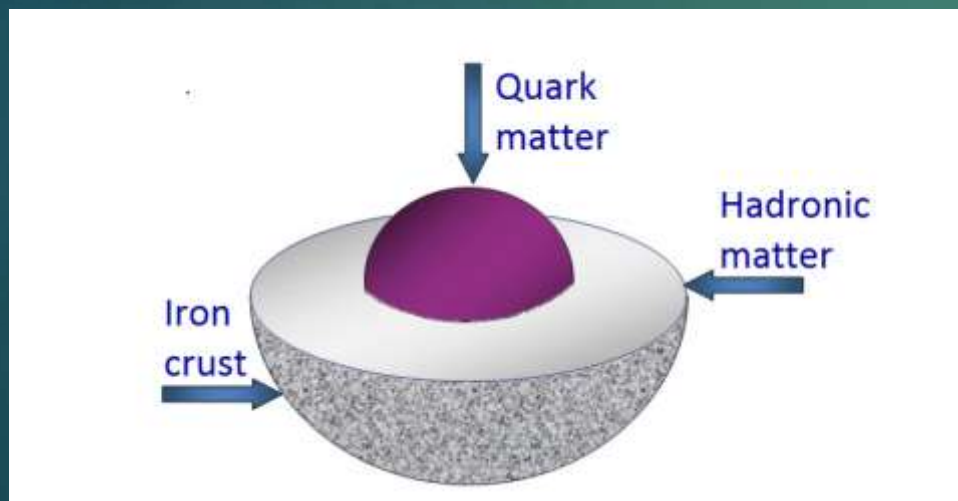
$$\epsilon = \varepsilon_g \frac{2x_F^3 \sqrt{1+x_F^2} + x_F \sqrt{1+x_F^2} - \operatorname{arcsinh}(x_F)}{8}$$



- Mass-radius-relasjoner for ideelle nøytronstjerner
- Predikerer maksimal nøytronsstjernemasse $M = 0.71 M_\odot$
 - Stabilitet
 - Det er observert nøytronstjerner som er over dobbelt så tunge
 - Behov for en mer realistisk tilstandslikning

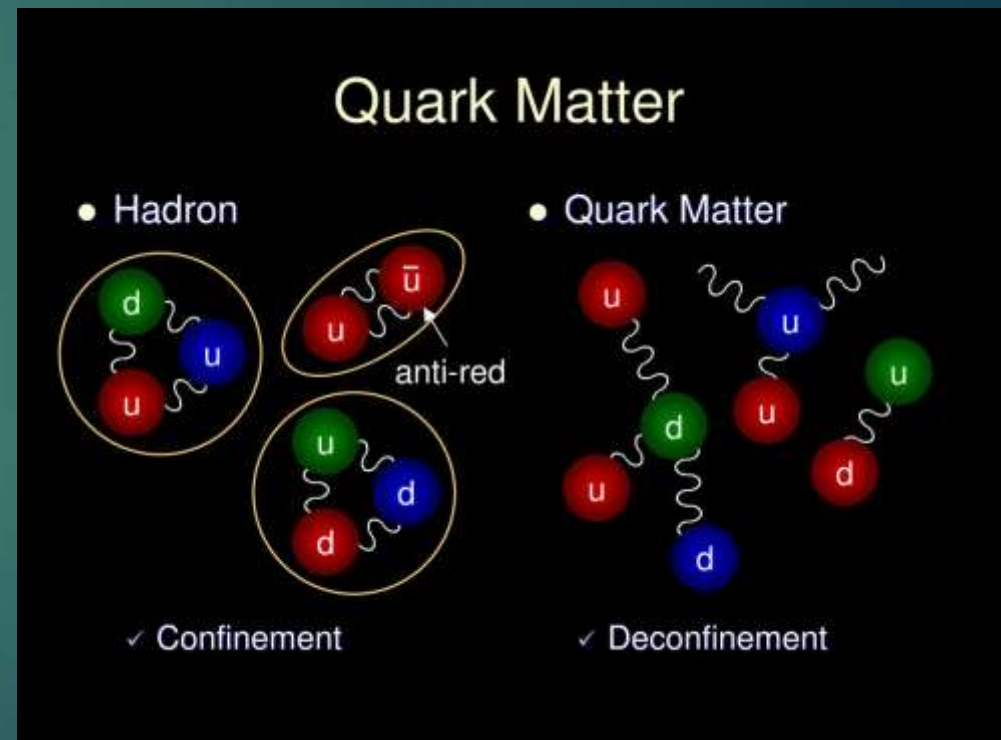
Oppgradert modell

- Frigjøring av kvarker ved høy energitethet (*deconfinement*)
- Tilstandslikning fra QFT
- Faseovergang fra hadronmaterie til frie kvarker
- Opphav til bedre masse-radius-relasjoner



Hentet fra:
<https://masterbloggen.no/blog/2013/09/05/17953/>

Forfatter: Inga Strümke



Hentet fra presentasjon av Tomohiro Inagaki ved Hiroshima University

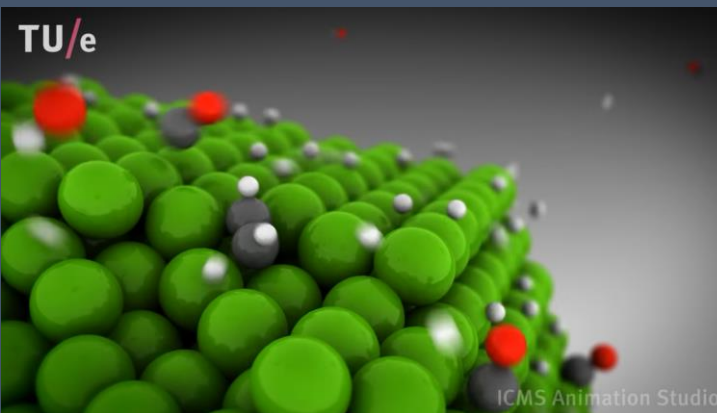
Simulering av Fisher-Tropcsh prosessen ved bruk av tettrets-functional-teori (DFT)

Navn: Christoffer Askvik Faugstad

Veileder: Jaakko Akola

Katalyse

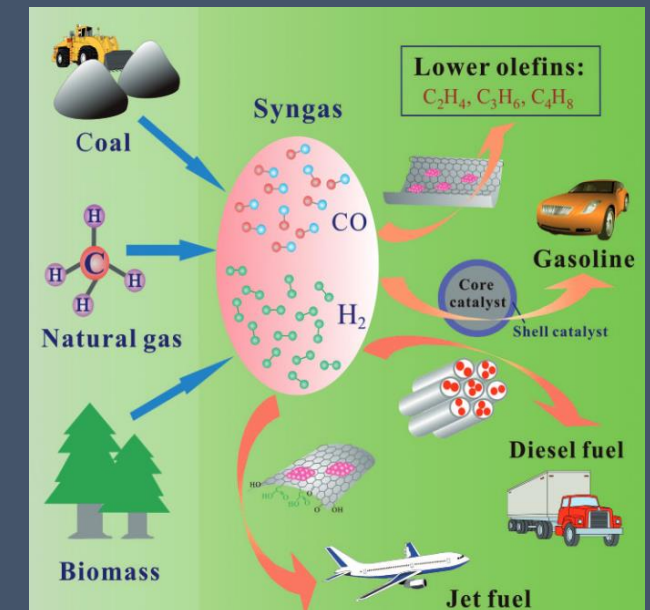
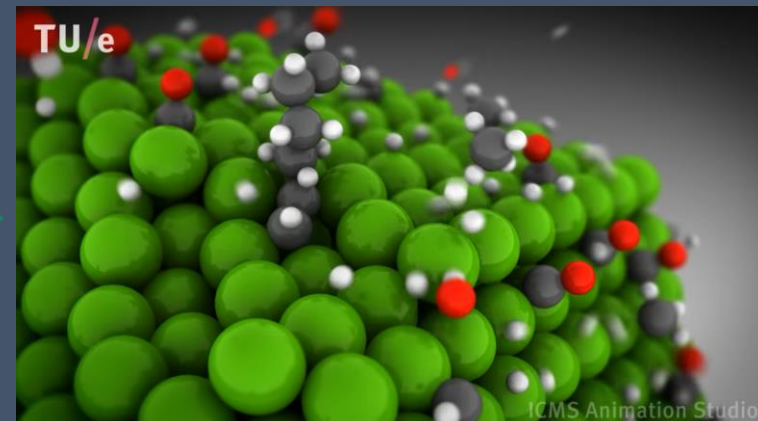
- Forstå mekanismer
- Bedre og andre katalyematerialer



<https://doi.org/10.1039/C1CY00118C>

Fisher-Tropch

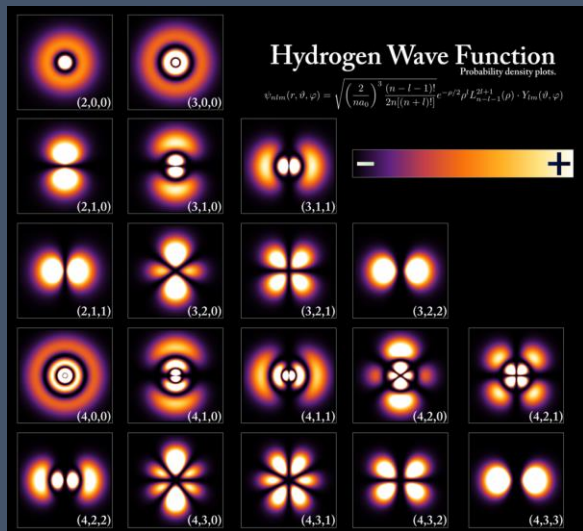
- Omgjøring CO og H₂
- Produksjon av drivstoff og kosmetiske produkter



<https://doi.org/10.1002/cctc.201000071>

Tetthets-Funktional-Teori

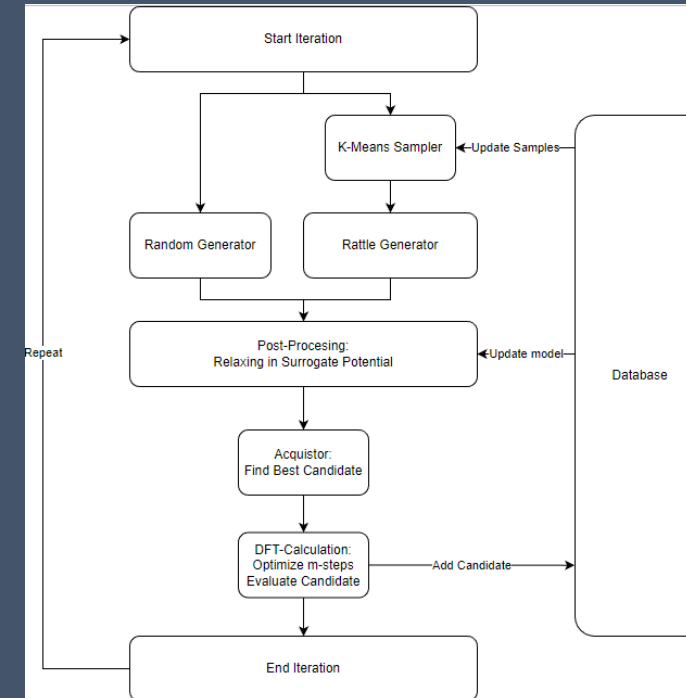
- Elektrontettheten gir alle egenskaper
- Kohn-Sham ligningene
- Tunge beregninger



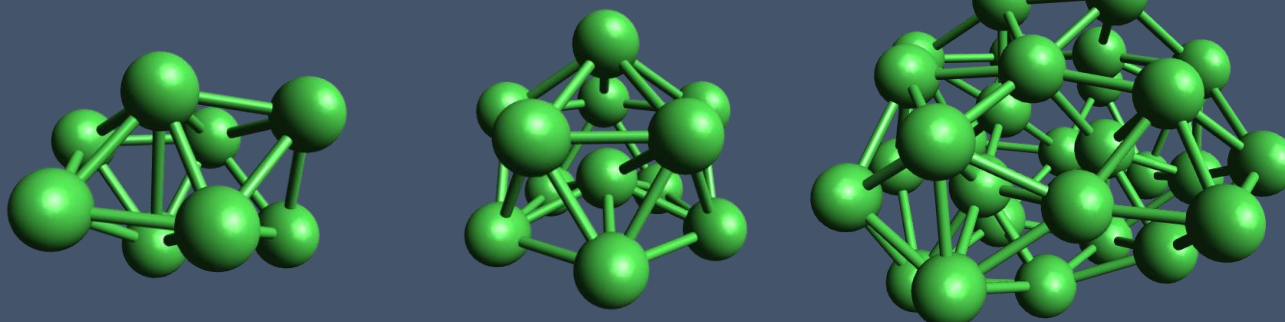
https://en.wikipedia.org/wiki/Atomic_orbital

Maskinlæring og Globale søk

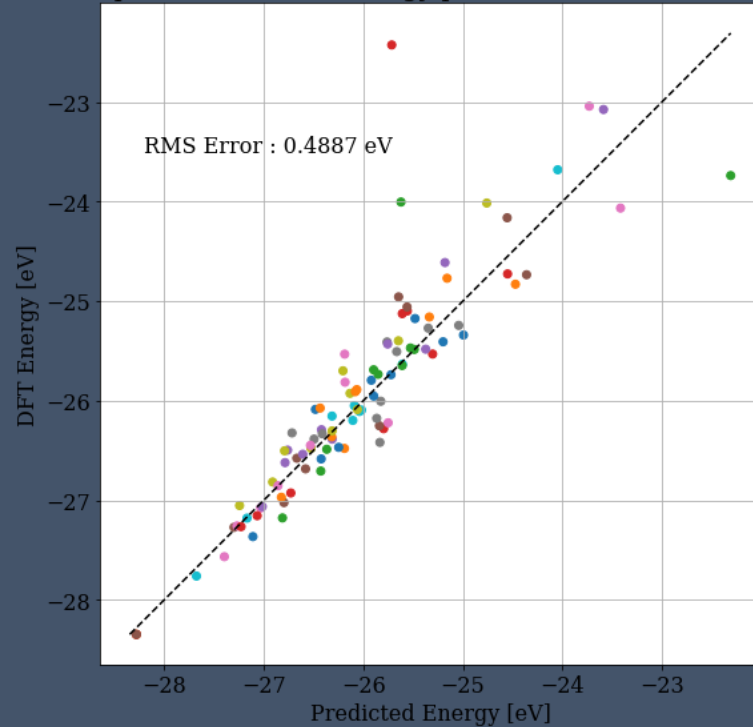
- Finne grunn tilstand
- Lært potensial
- Bedre og automatisk generering av strukturer



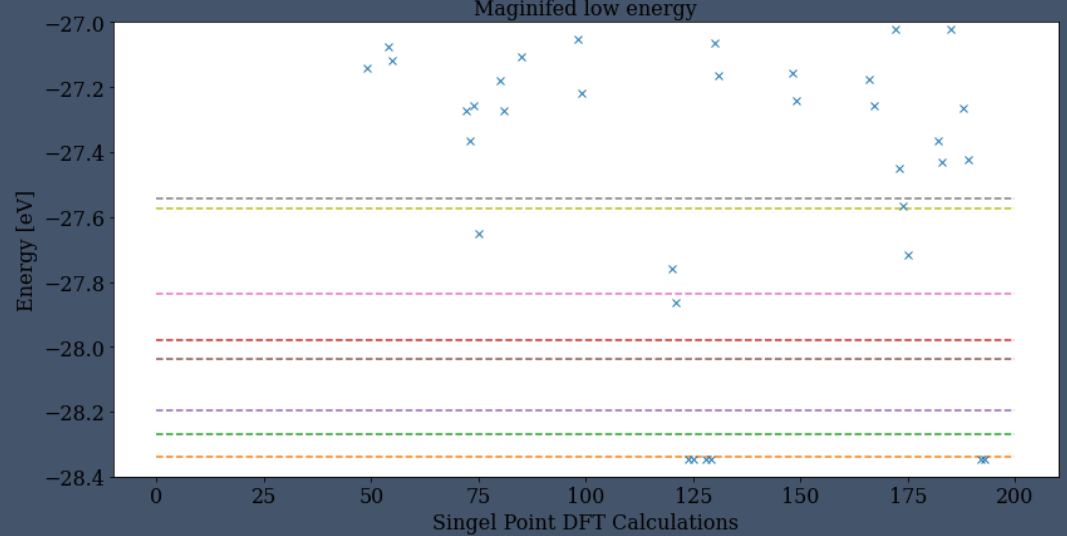
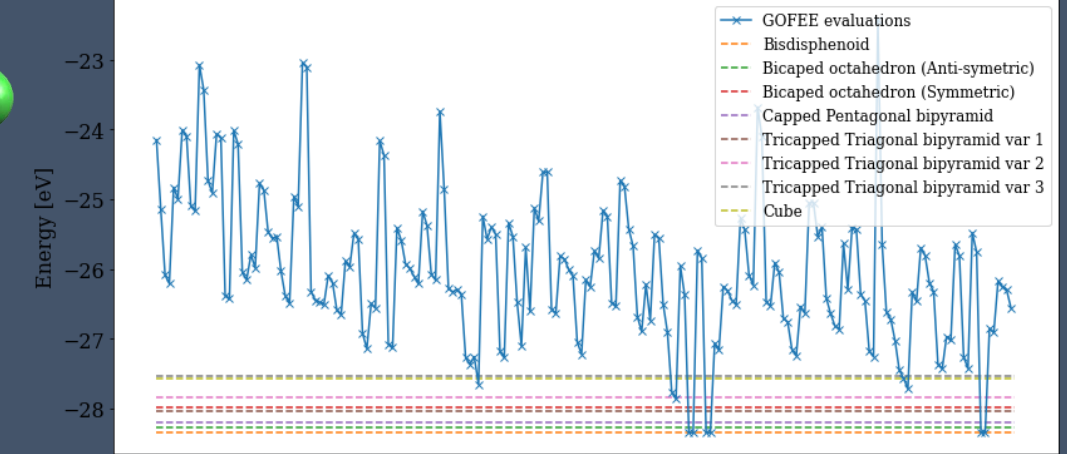
Gjort så langt



Comparison of Model energy predictions and DFT energy



Ni8 GOFEE 100 iterations 1 step with fully relaxed trajectories as training data

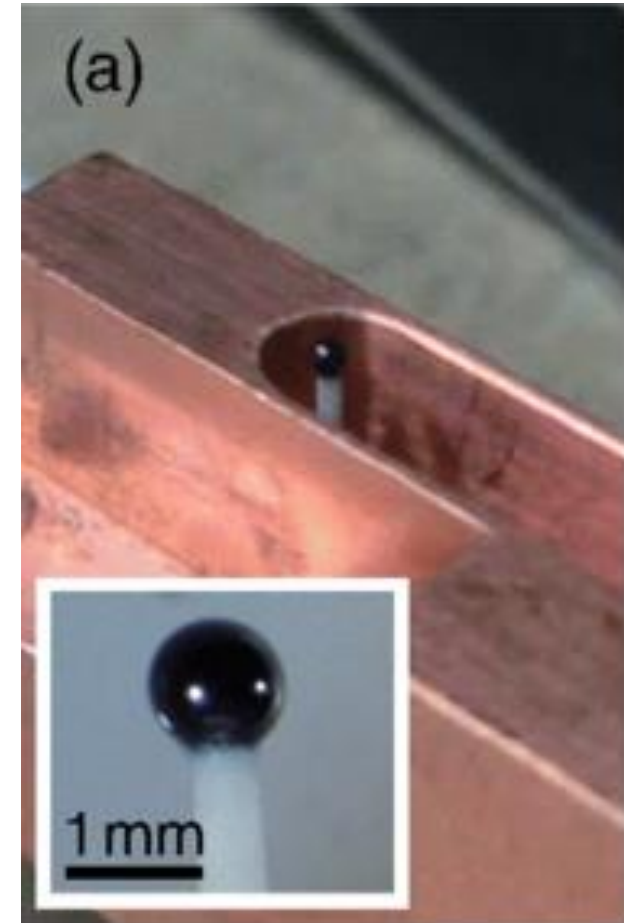


Elektromagnetisk-Kavitet

Veileder: Sol Jacobsen og Henning Hugdal

Hva er en EM-Kavitet?

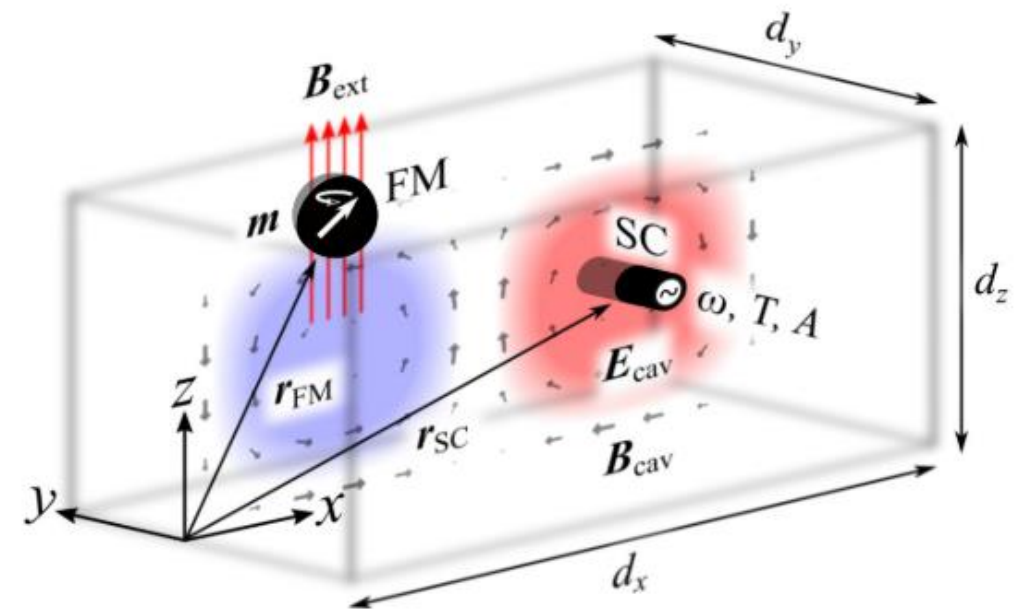
- Boks med speil som veggger
- Kvantiserte fotoner
- Høyt antall fotoner
 - resonans
- Brukt i presise posisjon sensorer
 - Måle endring i resonansfrekvens
- Interaksjon mellom faste stoffer og fotoner



PhysRevLett.113.083603

Interaksjon over store avstander

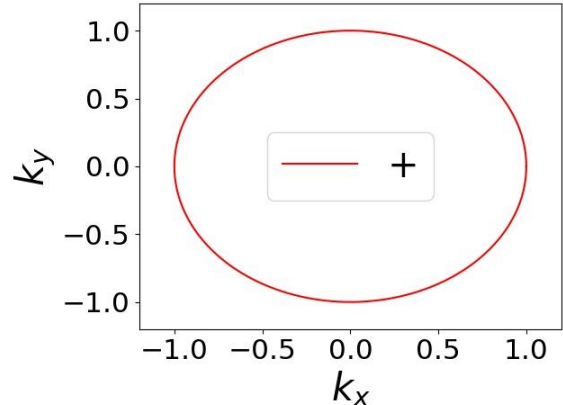
- Andreas Jansøn phd: Interaksjon mellom superleder og magnet
- Superleder-> foton-> magnet
- Interaksjon på millimeter skala
 - Kontrast til nano/mikrometer skala av nærhetsinteraksjon



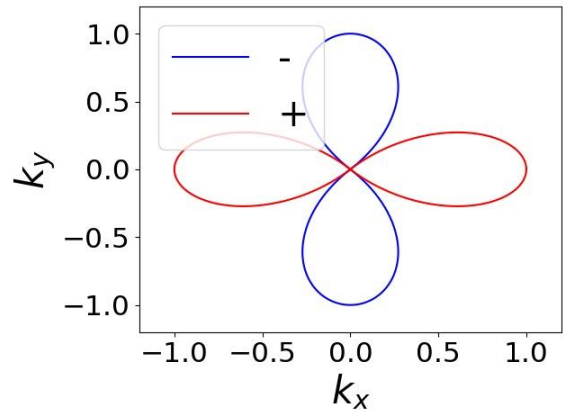
PhysRevB.102.180506

Mitt prosjekt

- Basert på Jansønn sitt Ph.d. arbeid
- Se på superleder – foton interaksjon
- Kan man studere superlederen ved å se på fotonene?
 - Gap symmetri



s-wave



d-wave

Ikke-likevekts virvler i superledende strukturer

Veileder: Jacob Linder, biveileder: Jabir Ali Ouassou

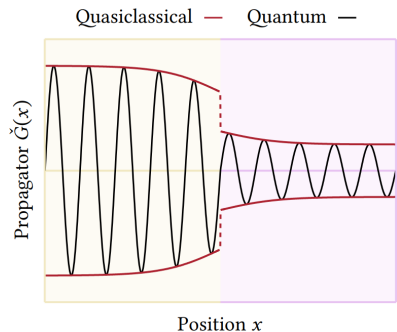
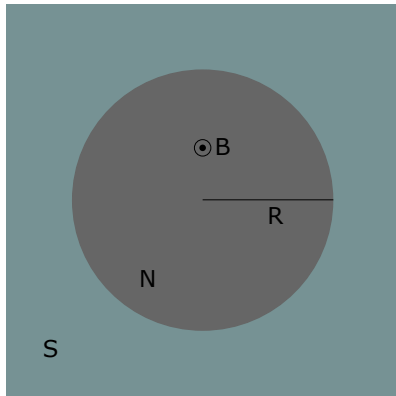
Håvard Falch

Norges Teknisk-Naturvitenskaplige Universitet
Institutt for Fysikk Center for Quantum Spintronics



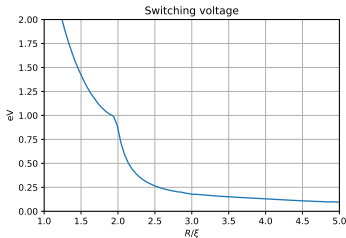
Superledere og proximity effekt

- Null resistans og ekspulsjon av magnetfelt
- Superledende egenskaper lekker til vanlig metall
- Kvasiklassisk approksimasjon: $\check{\mathbf{g}}(\mathbf{r}, \hat{\mathbf{p}}_F, \epsilon, t) = \int d\xi_p \check{\mathbf{G}}(\mathbf{r}, \mathbf{p}, \epsilon, t)$
- Usadel likningen: $-D\tilde{\nabla} \cdot (\check{\mathbf{g}}\tilde{\nabla}\check{\mathbf{g}}) = i[\check{\Sigma}, \check{\mathbf{g}}]_-$

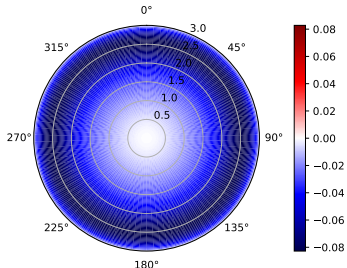


Resultater

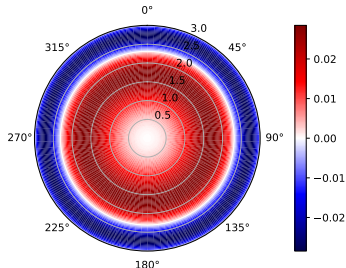
- Reversere skjermingstrømmen ved påtrykt spenning
- Lavere spenning for større radiuser



Current density j/e for $R = 3\xi$ and $eV = 0$



Current density j/e for $R = 3\xi$ and $eV = 0.5\Delta$



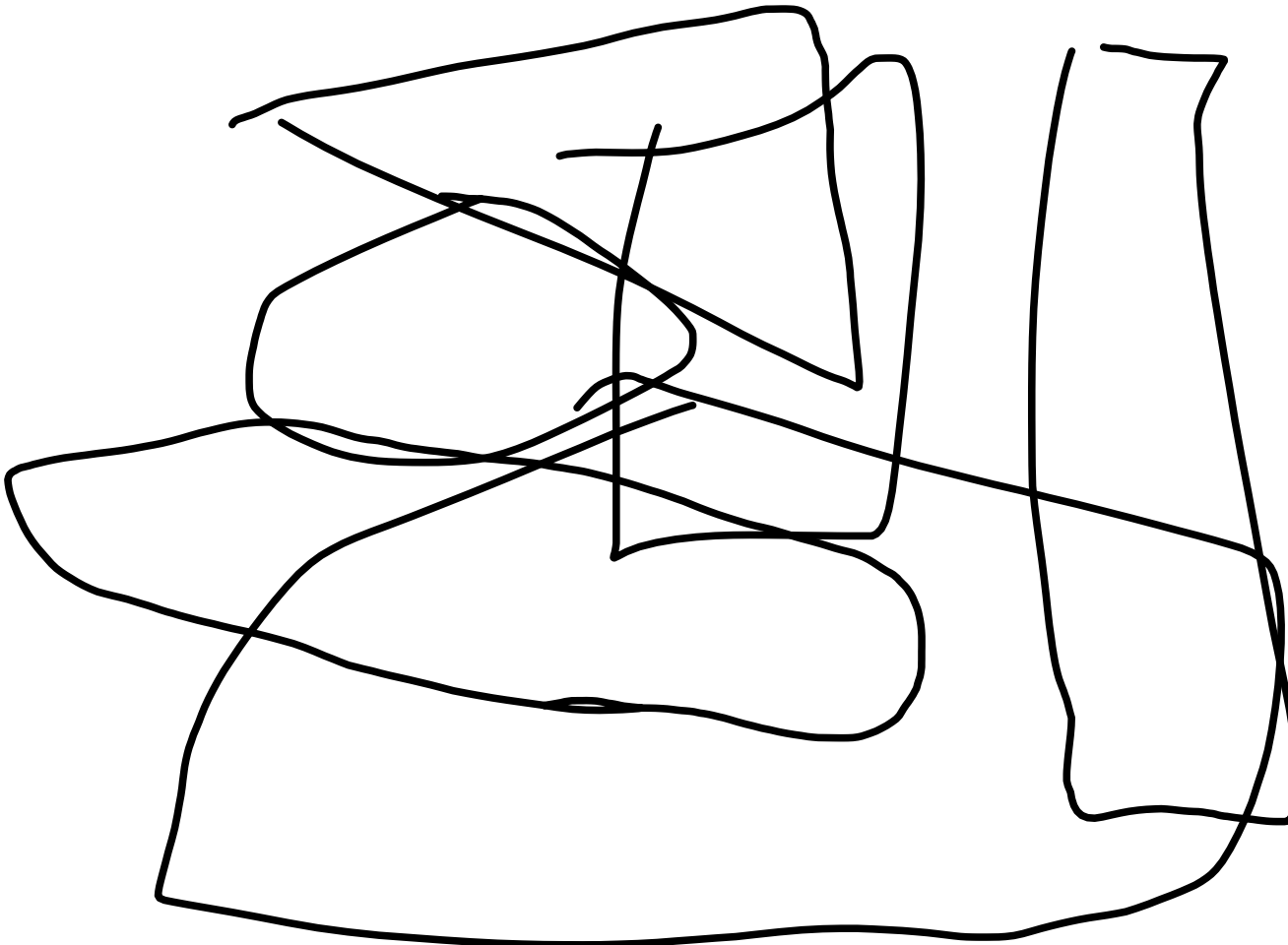
- Skjermingstrøm i normalmetall
- Kvasiklassisk teori
- Snu skjermingsstrømmen ved påtrykt spenning
- Se på en mer komplisert geometri numerisk

Mapping the Conceptual structure of Physics: Why we don't and why we should

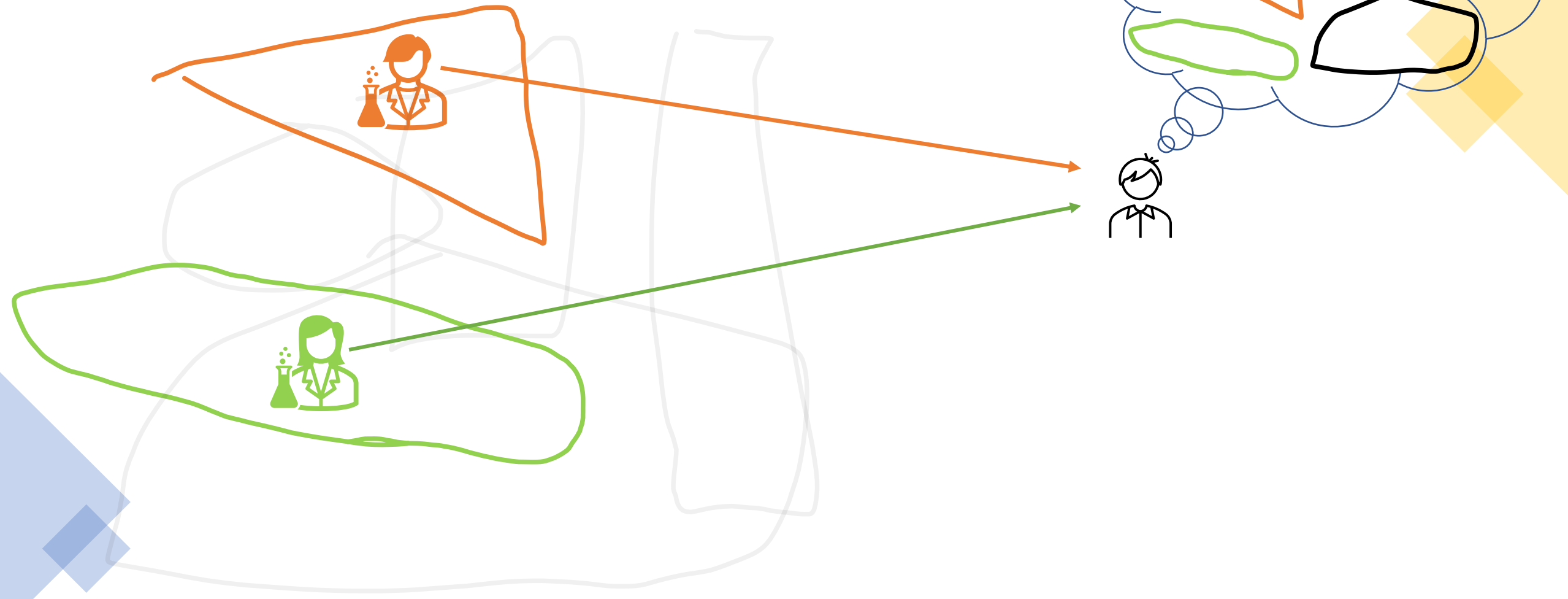
Jacob Wulff Wold

Veiledere: Jonas Persson &
Rasmus Jakslund

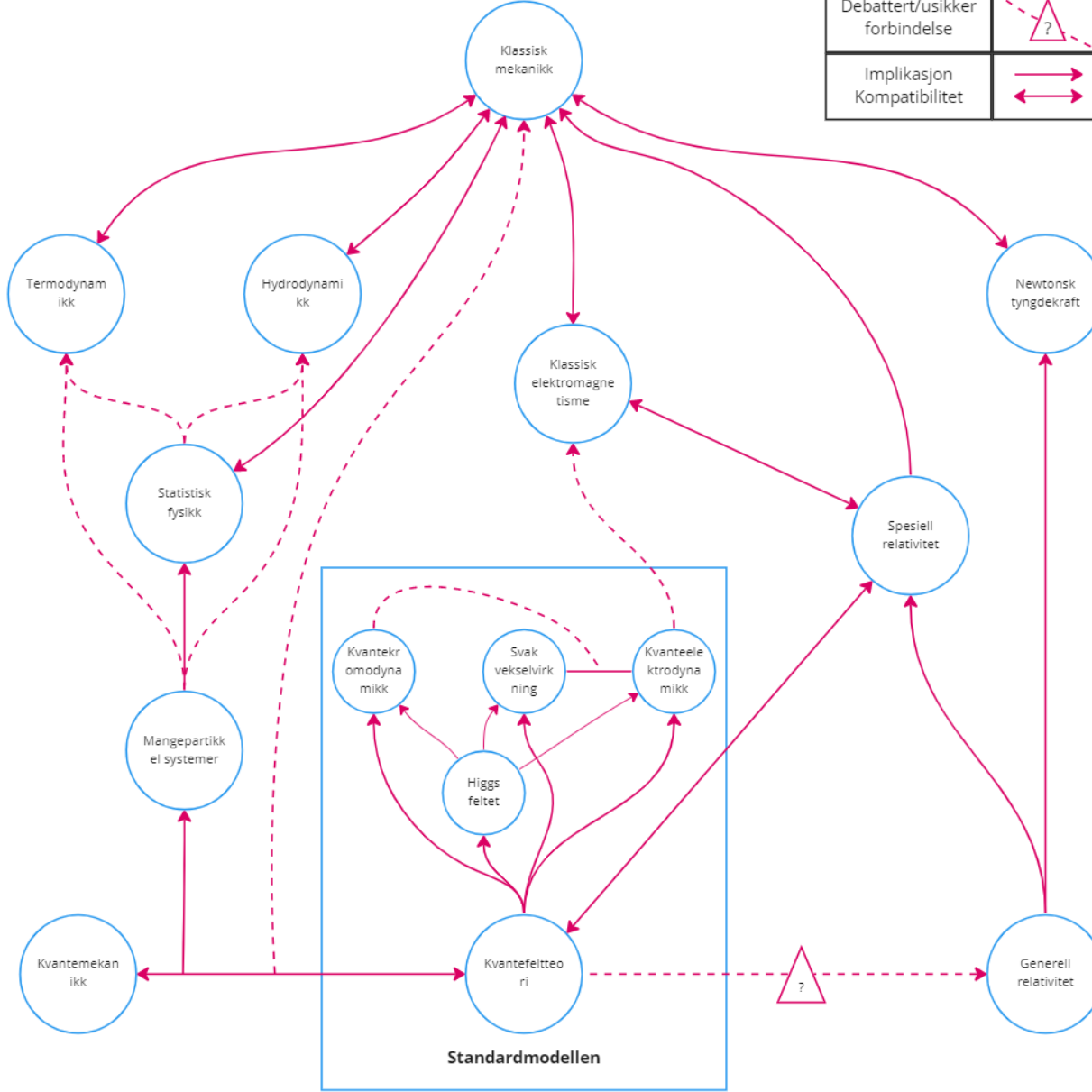
Oversikt over fysikk



Fysikkundervisning



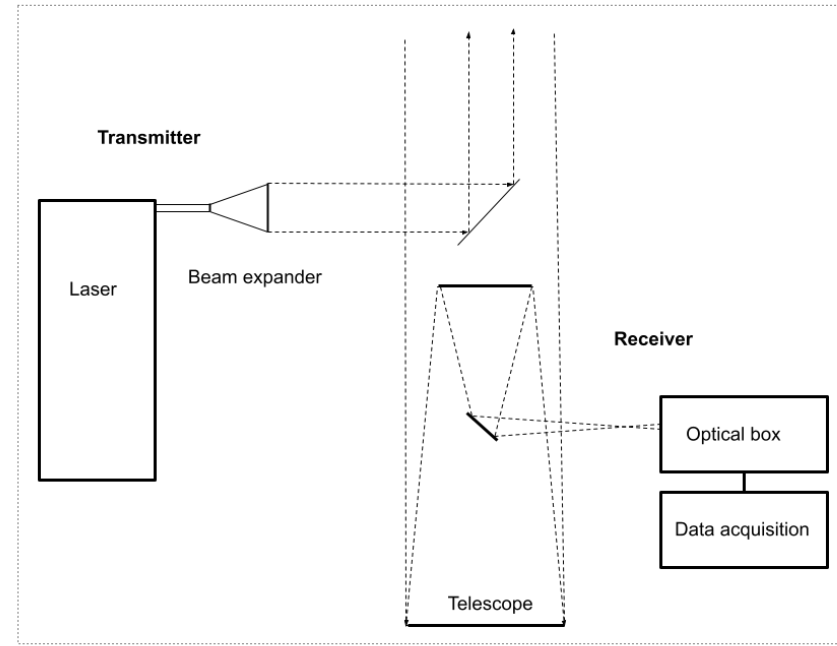
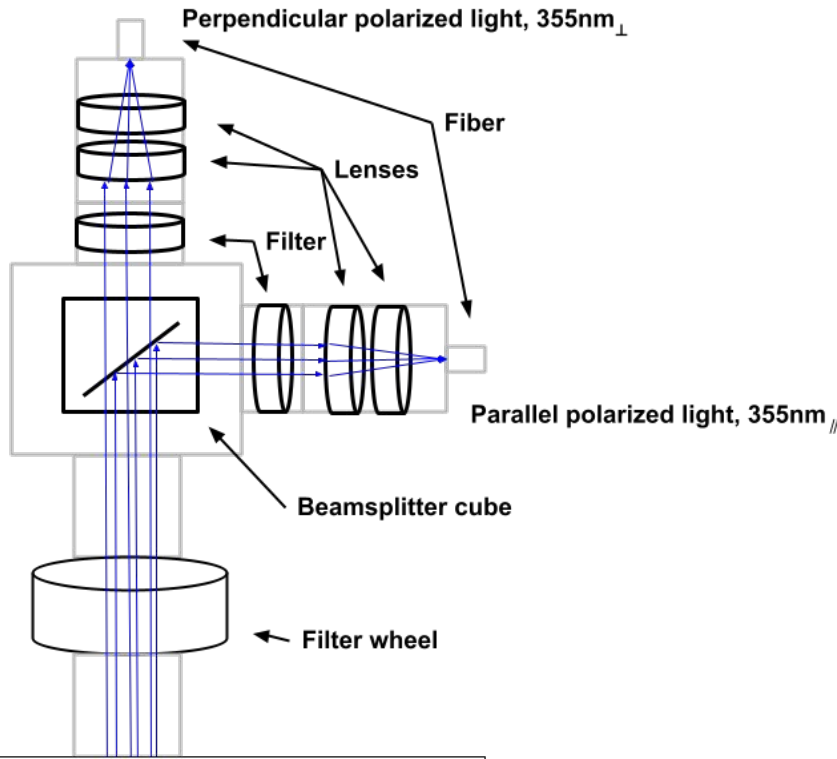
Men faktisk?



Design and raytrace of a UV 355nm LIDAR depolirazation channel to characterize particles in the atmosphere above ALOMAR

Jørgen Salvesen

December 1, 2022





Summary

- Design and Raytrace of UV depolarization channel
- 355 nm in combination with pre-existing 532 nm channel;
 - Atmospheric and cloud composition
 - Particle size and shape indication
 - Temperature profiling

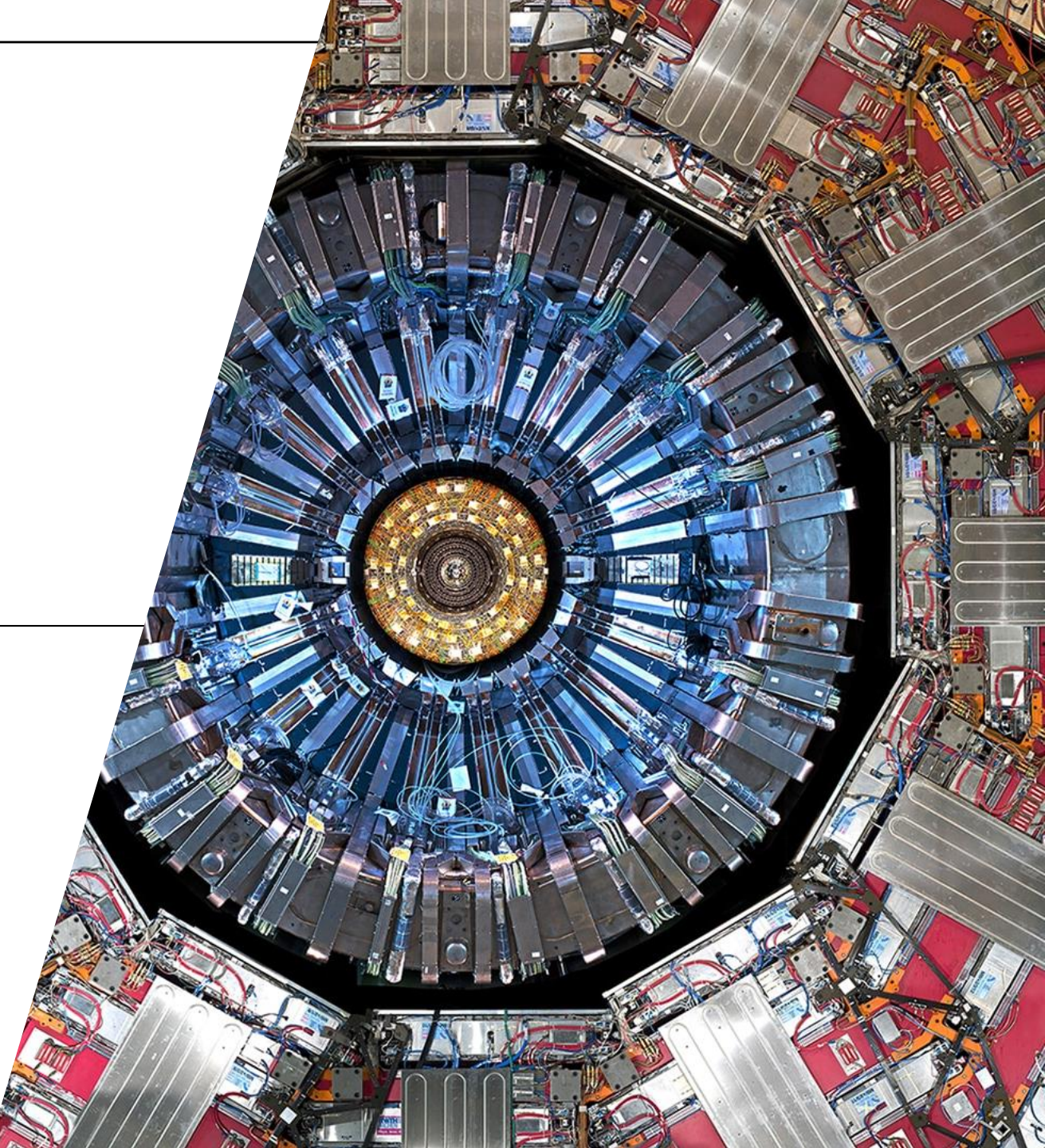
DEVELOPMENT OF CMS TRACKER MONITORING SOFTWARE AND DATABASE

Jenny Lunde

Supervisor NTNU: Jon Andreas Støvneng

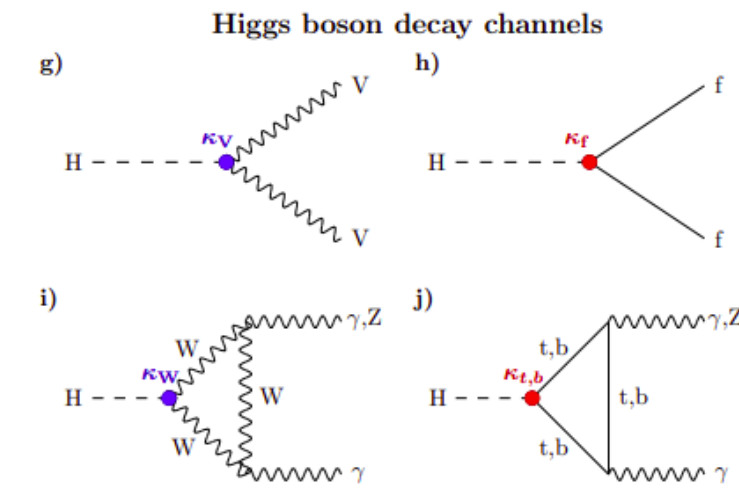
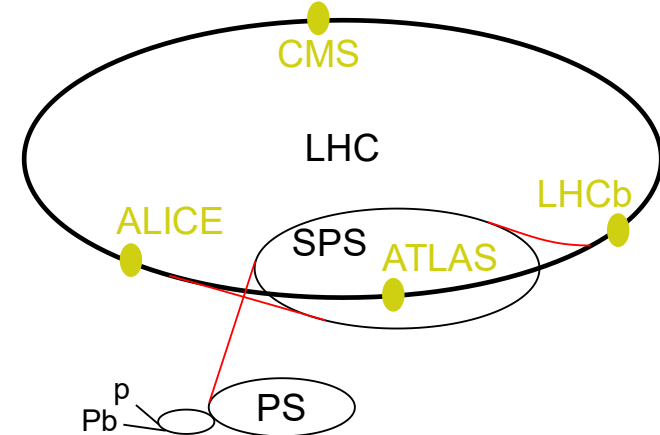
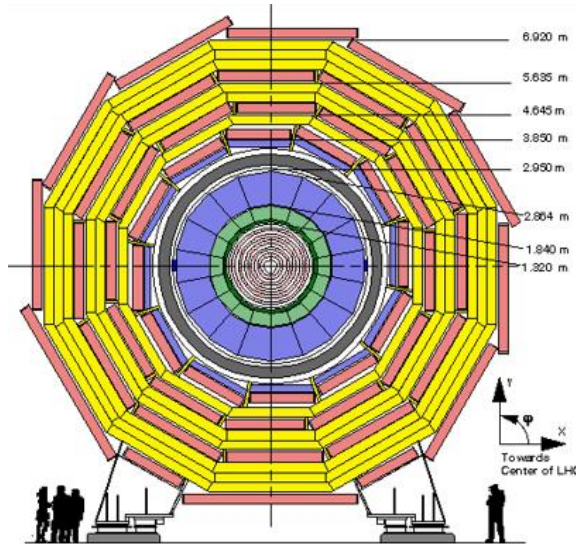
Supervisor CERN: Giulia Negro, Annapaola de Cosa, Stefano
Merci

EP-CMX-DA



CMS Detector

- Multi purpose particle detector
- Detected Higgs boson in 2012
- Testing theories from SM
- Dark matter
- Extra dimensions



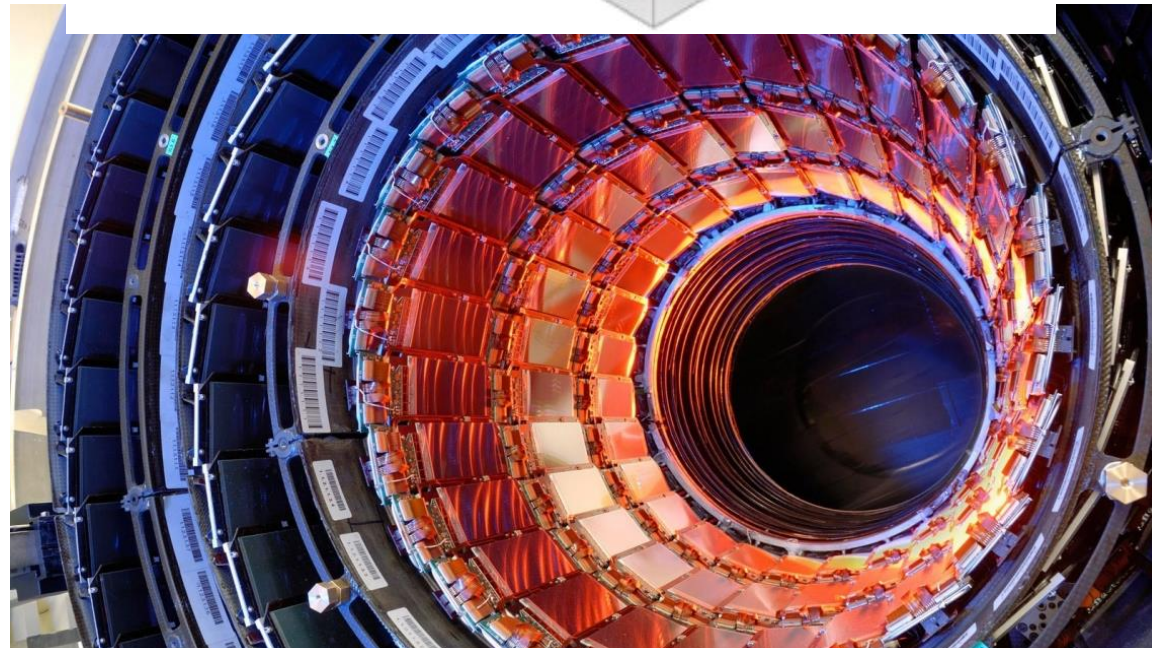
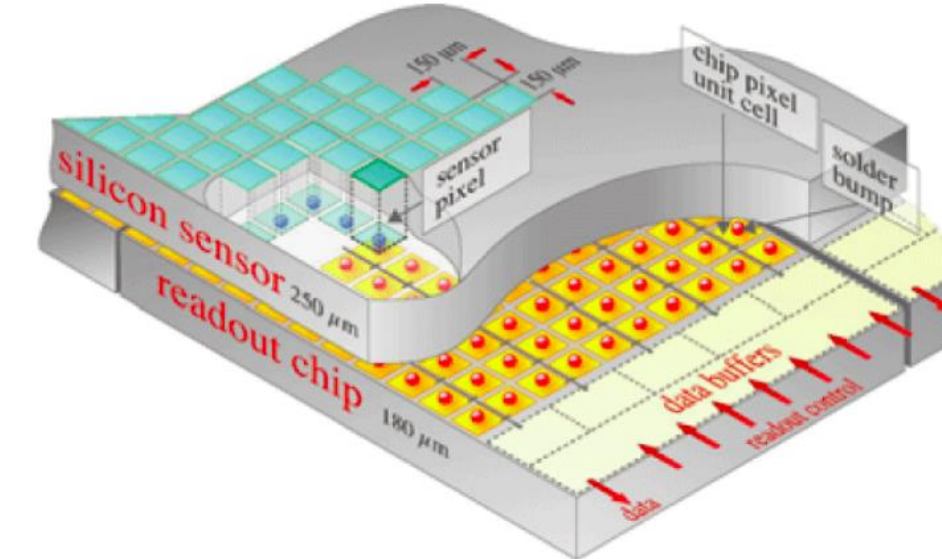
https://www.researchgate.net/figure/Transverse-view-of-the-CMS-detector_fig7_37678004

https://ht.wikipedia.org/wiki/Large_Hadron_Collider

<https://cds.cern.ch/record/2814513/files/CMS-HIG-22-001-arxiv.pdf>

CMS Tracker

- Traces the position of particles
- Silicon pixels
- Reconstructs the path of particles as they move through a magnetic field
- Have to handle high radiation over time

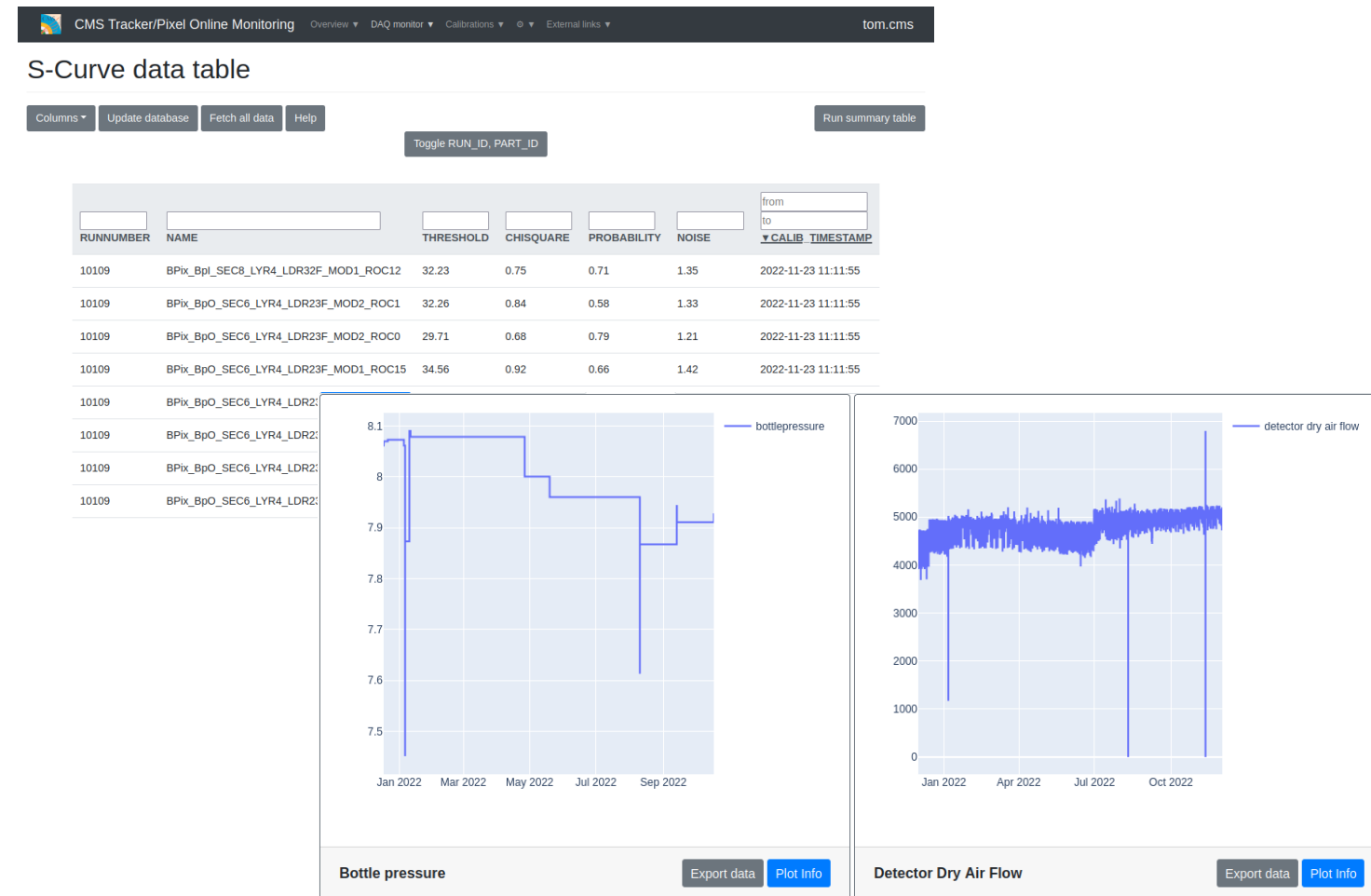


<https://cms.cern/detector/identifying-tracks/silicon-pixels>

<https://cms.cern/detector/identifying-tracks>

CMS Tracker Monitoring

- Calibrations
- Ensure all pixels are working
- Avoid accidents
- Radiation damage



Study of Strongly correlated Kane-Mele-Hubbard Model by Schwinger Boson Formalism

Supervisor: Dr. Alireza Quaimzadeh

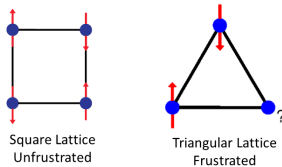
Jesper Lind-Olsen

Norges Teknisk-Naturvitenskapelige Universitet
Institutt for Fysikk
Center for Quantum Spintronics

Thursday 1st December, 2022

Background and Theory

- Model known to support the quantum spin liquid phase
- Interesting from a theoretical point of view and for applications
- Ground state exhibits gapped excitations and topological order
- Topological phases → within quantum computing and quantum information
- Methods: Bosonization of a spin Hamiltonian and Schwinger boson mean field theory

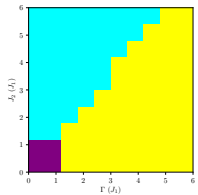
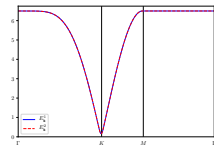
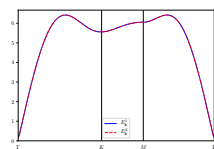
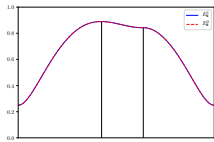


$$\hat{H} \sim \sum_{ij} \mathbf{S}_i \cdot \mathbf{S}_j$$

$$\rightarrow \sum_{ij} \sum_{\alpha\beta\gamma\kappa} \hat{b}_{i\alpha}^\dagger \hat{b}_{i\beta} (\sigma_{\alpha\beta} \cdot \sigma_{\gamma\kappa}) \hat{b}_{j\gamma}^\dagger \hat{b}_{j\kappa}$$

My project - preliminary results

- Extension of work done by Fosstveit
- Focus on learning mathematical methods → results will hopefully follow in the masters thesis



Summary and Outlook

- The model I considered proved it self too difficult for the time constraints
- For the master thesis - Try to solve this problem
- End goal: Predict measurable transport properties in the QSL phase
- Due to the topological nature, transport such as spin-Hall and thermal Hall are non-trivial in a QSL
- Use these to distinguish between QSL and magnetic phases



Norwegian University of
Science and Technology

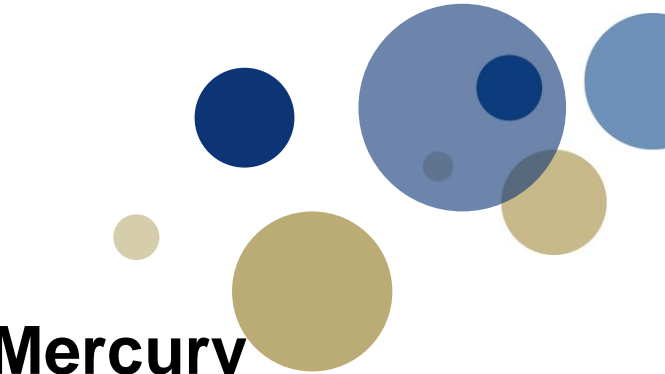
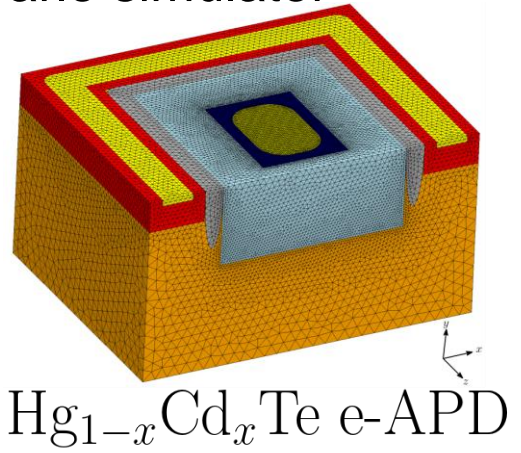
Simulation of a Three-Dimensional Mercury Cadmium Telluride-Based Avalanche Photodiode

Using a Particle-Based Self-Consistent Monte Carlo simulator
(FFI-MCS)

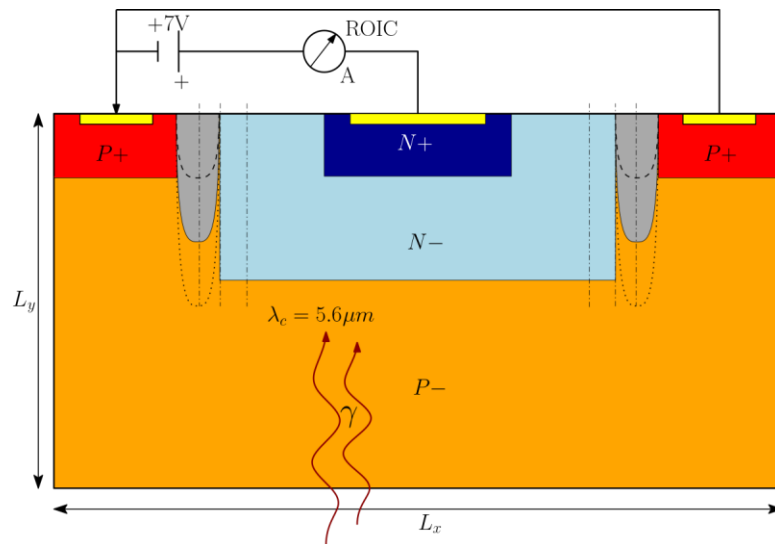
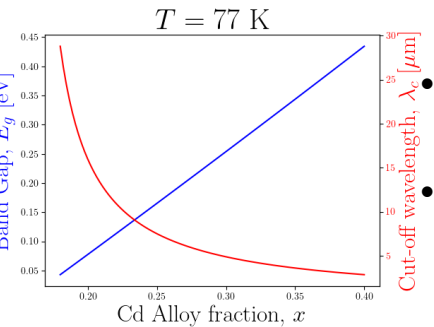
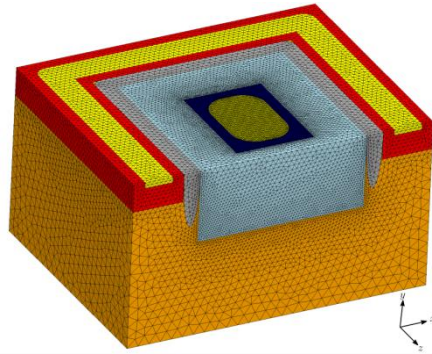
Julius Mihkkal Eriksen Lindi

Supervisor @ FFI: Trond Brudevoll

Supervisor @ NTNU: Jon Andreas Støvneng



$Hg_{0.28}Cd_{0.72}Te$ Avalanche Photodiode



Dimensions: $5.4\mu\text{m} \times 3.0\mu\text{m} \times 4.2\mu\text{m}$

- Very small device! (convenient for computing time)

High reverse bias voltage of 7V applied at $N+$ contact

- Creates a larger **pn-junction** and multiplication region for electrons
- **Photogenerated** electrons in the absorption layer (lower $P-$)
- **Impact and ionize** new electron-hole pairs!
- Electrons continue upward to N -contact
- A read-out device (**ROIC**) detects the signal
- Applications: **Infrared**/Thermal imaging, night-vision devices

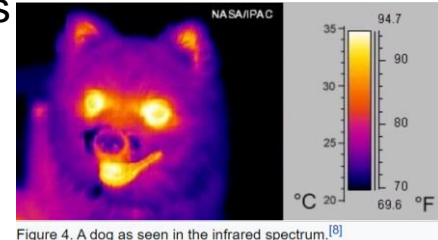
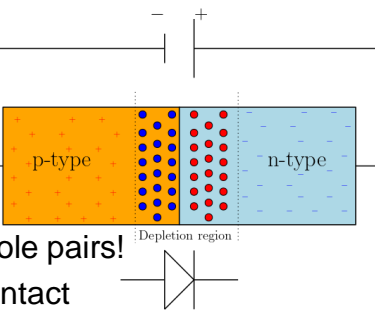
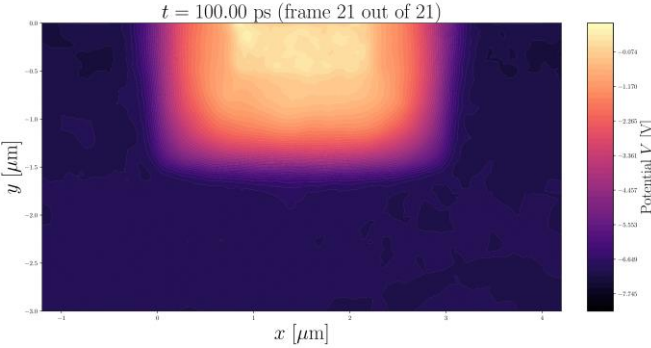
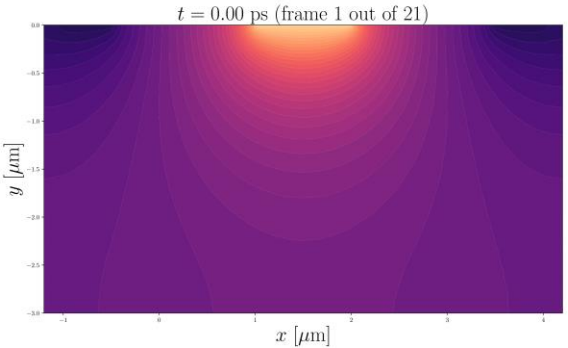
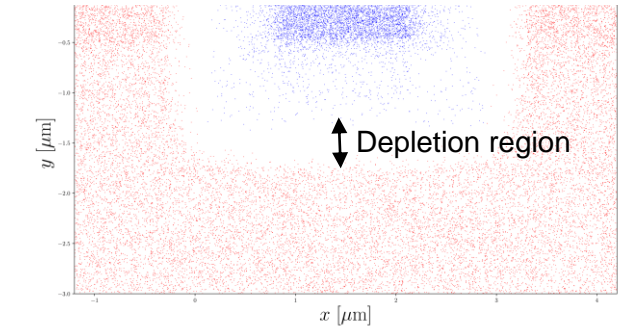
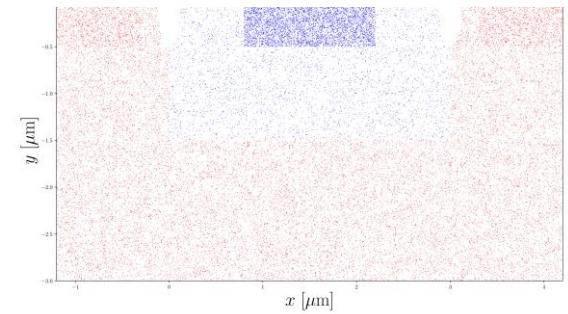


Figure 4. A dog as seen in the infrared spectrum.^[8]

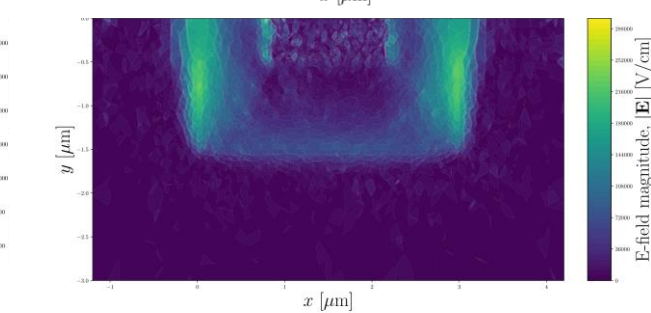
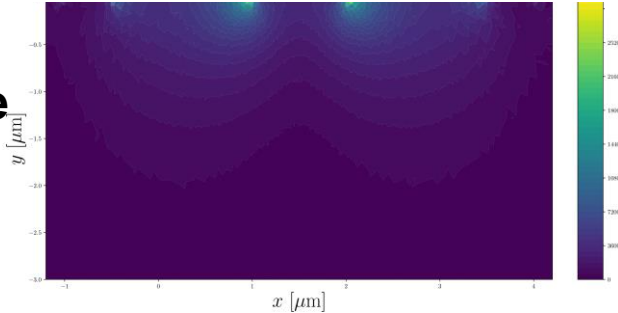
- **Potential plots**



- **Particle density plots**



- **Electric field magnitude**



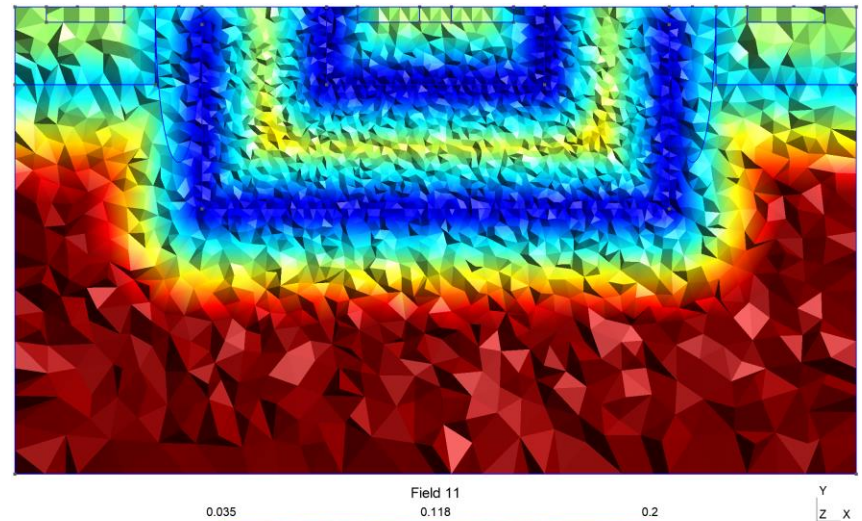
Summary of the project

- Only 2D devices have been extensively studied before
- Recent developments to FFI-MCS have paved way for simulating things easier and faster in 3D

Objectives:

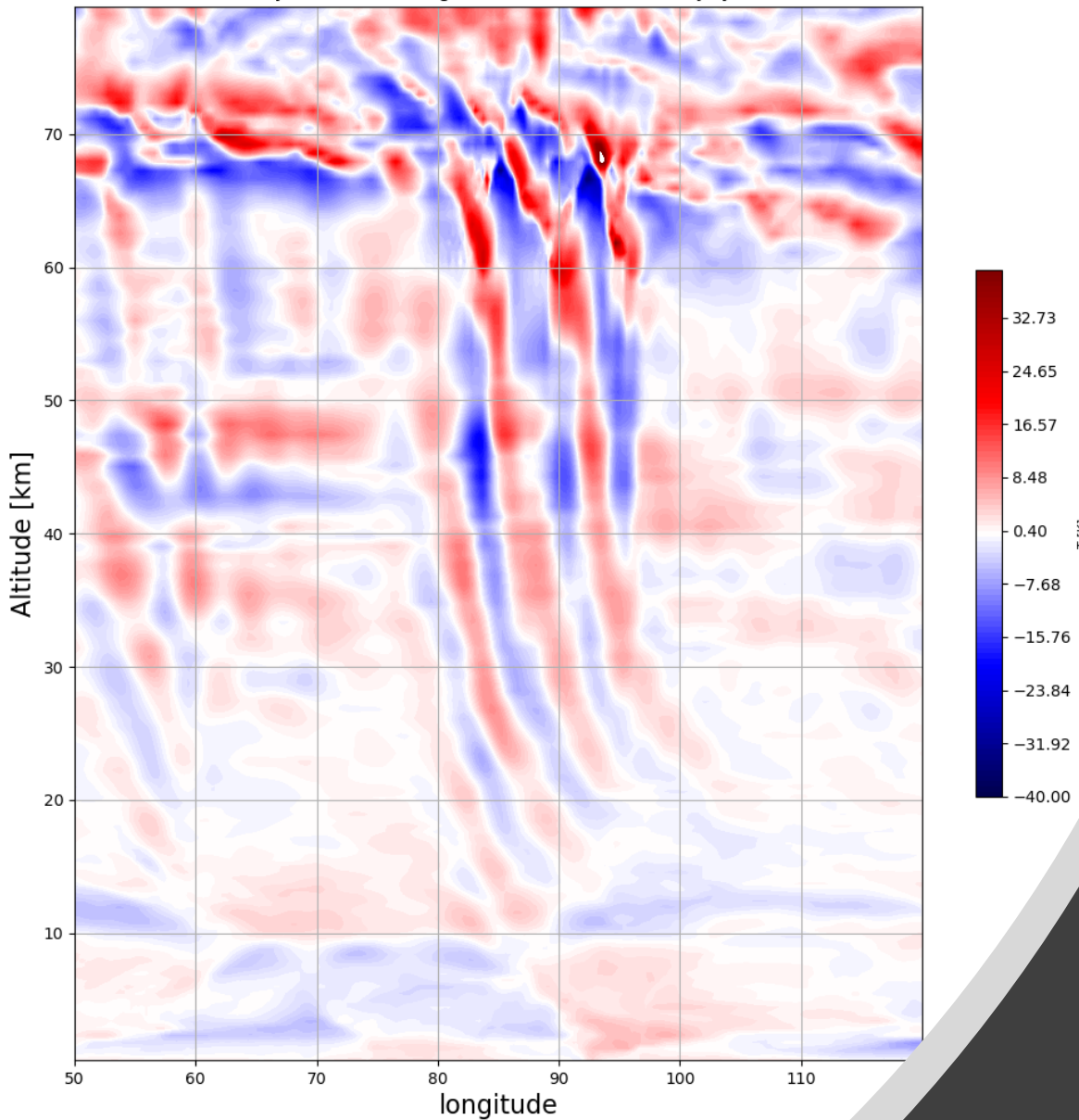
- Construct a device with **complex 3D geometry**
- **Optimize mesh & find suitable parameters** that are reasonable to use in 3D simulation
 - E.g. simulation doesn't take too long and the results are physical & accurate
 - **Time resolution, mesh refinement, # of superparticles**, etc.
- Investigate geometry-dependent effects of **Guard Rings** (isolating groves)
- Further work (master thesis): Study guard rings in a realistic device and optimize their geometry such that noise resulting from **dark currents** is minimized.

Mesh optimization



Node/element density

Isolated Gravity waves from Kerguelen at latitude -50 on 7 July at UTC 14:00



Separasjon av atmosfæriske tyngdebølger i en høyoppløselig atmosfæreremodell

Kristoffer Sosulski Moen

Veiledere:

Patrick J. Espy, professor, NTNU

Yvan J. Orsolini, seniorforsker, NILU

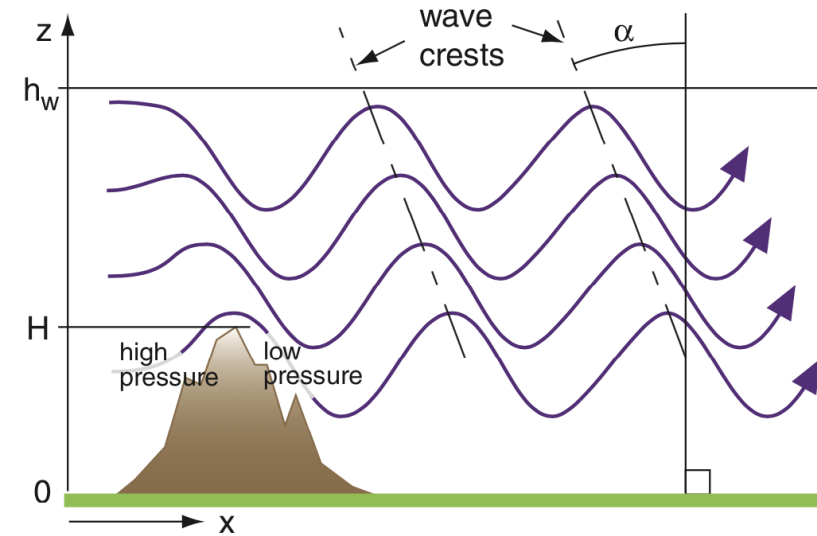
Tyngdebølger - hva og hvorfor?

- Genereres av fjell og stormer
- Propagerer oppover
- Amplitude øker med høyde → bølgebrytning
- Avgir energi → bremser opp vinder
- Påvirker vær og klima globalt

Problem:

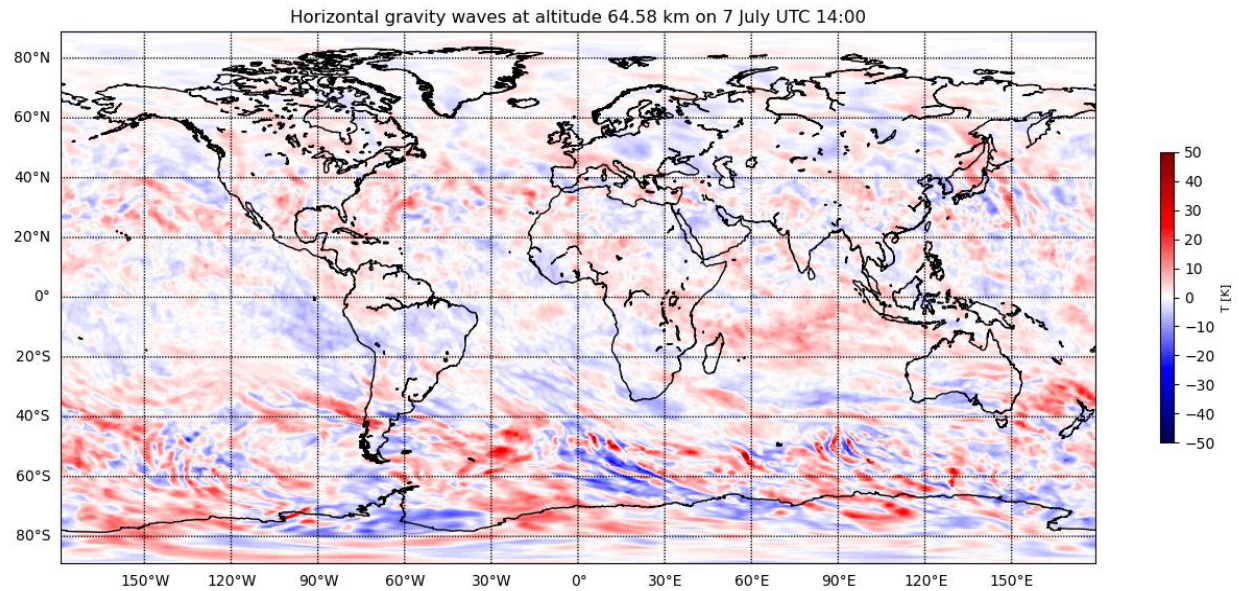
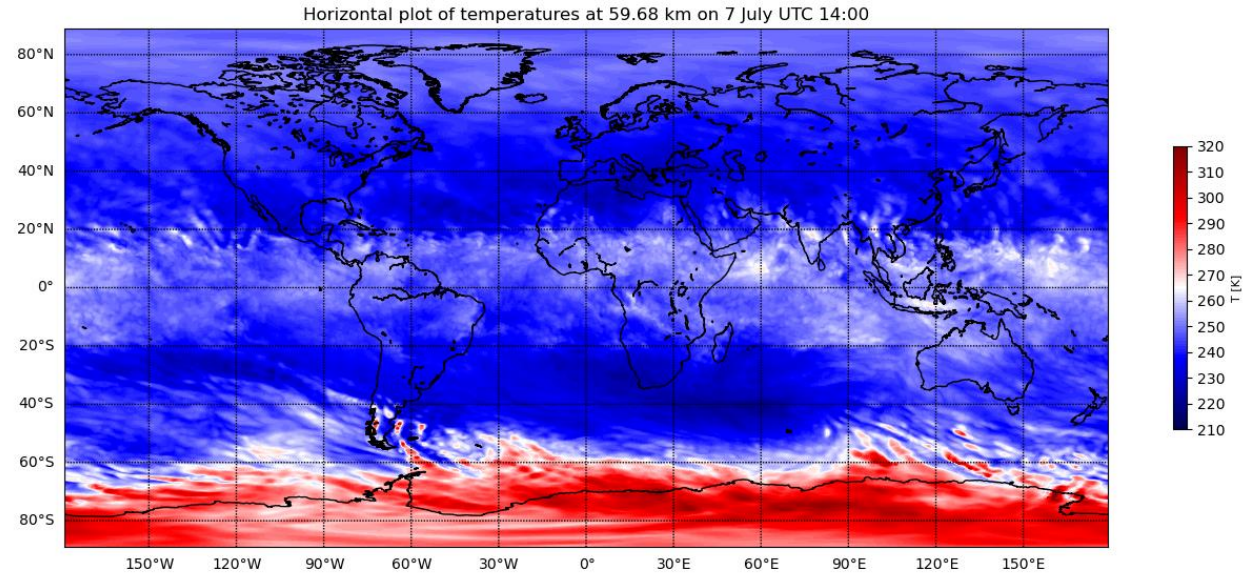
- Småskalaprosess – må modelleres i klimamodeller
- Energi fra bølger underestimert i modeller
- Feilkilde i vær- og klimavarsling

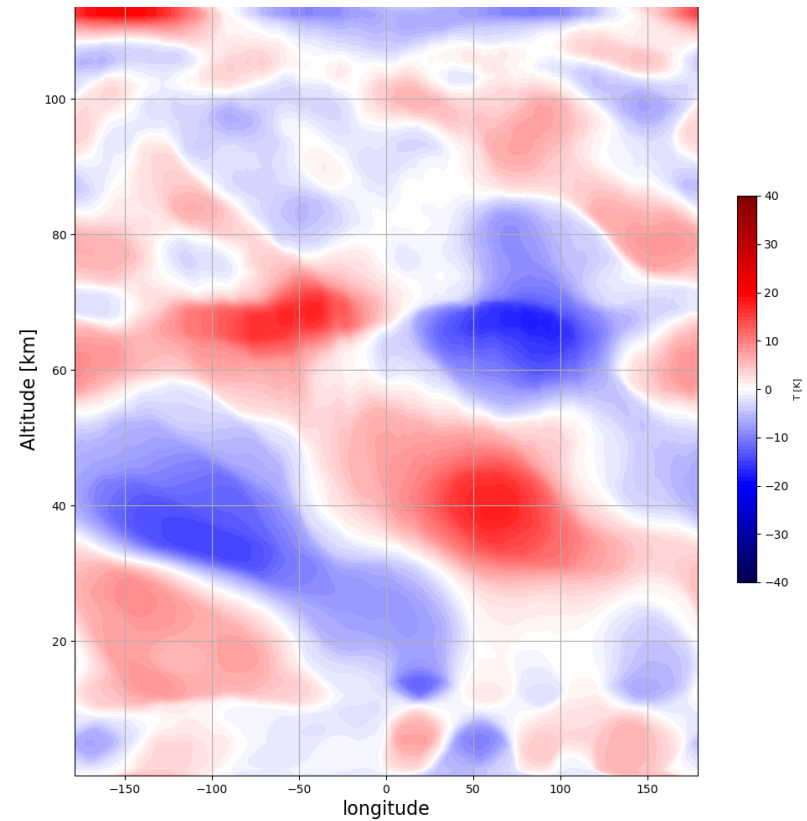
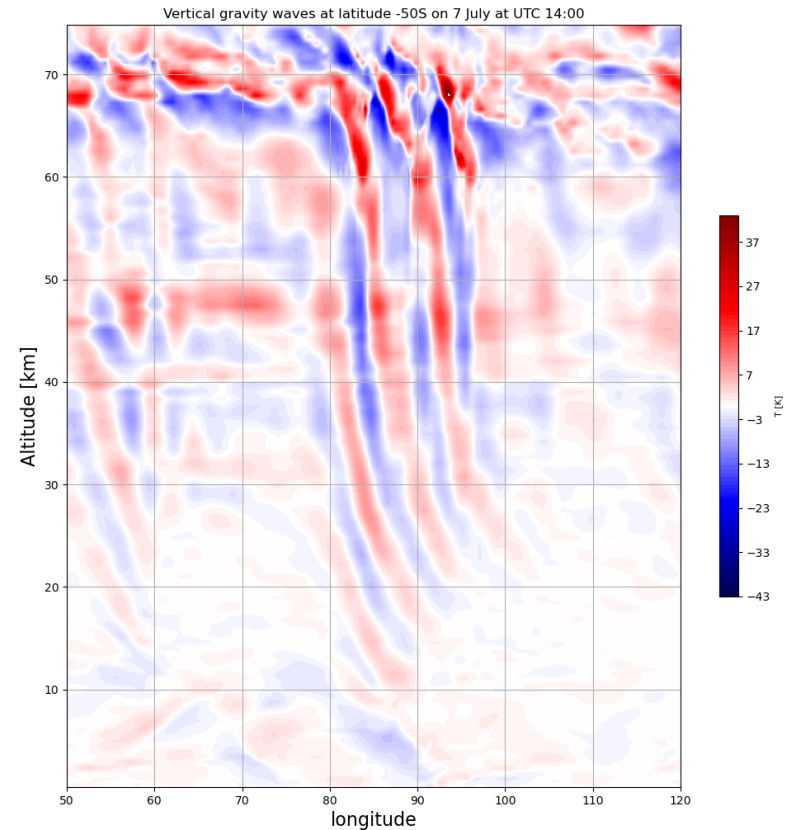
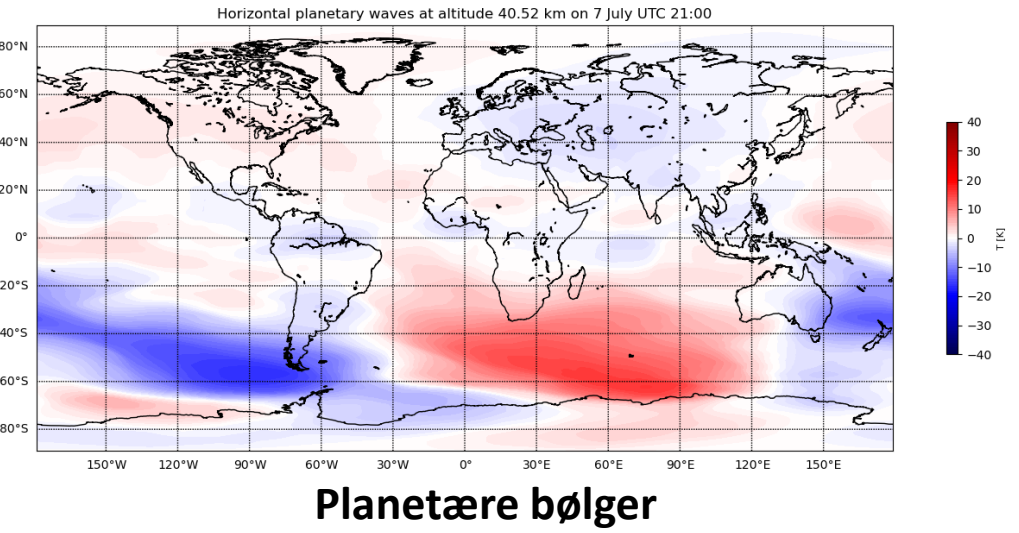
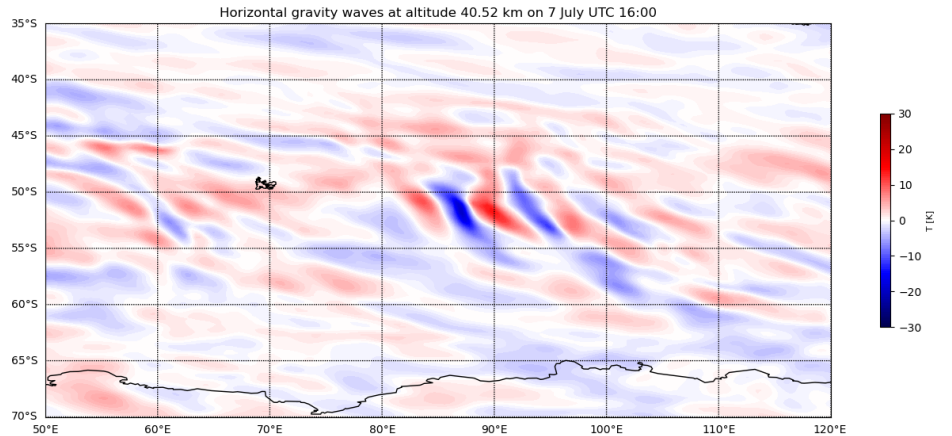
**Bedre forståelse av bølgene →
bedre vær- og klimamodeller →
bedre varsling av værekstremer**



WACCM-modellen

- Høyoppløselig modell for atmosfæren
→ kan oppløse flere bølger
 - 7 dagers simulering
 - gir innblikk i komplekse interaksjoner
-
- **Prosjekt: isolere bølgetyper ved filtreringer**
 - **Master: studere interaksjonen mellom isolerte tyngdebølger, vinder og andre bølgetyper**

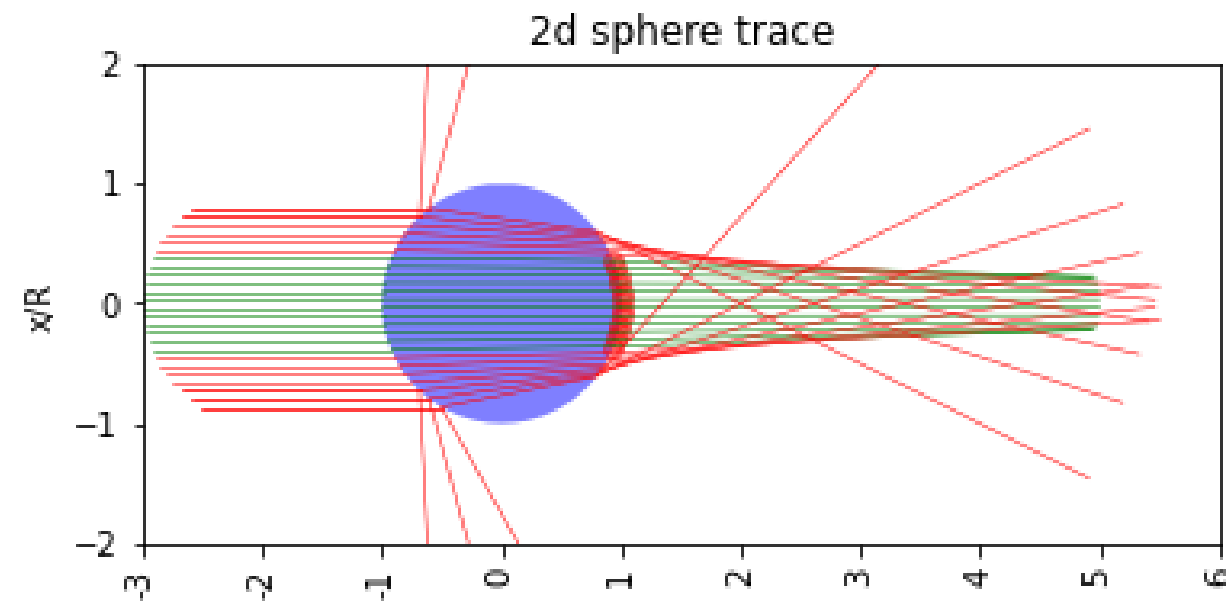




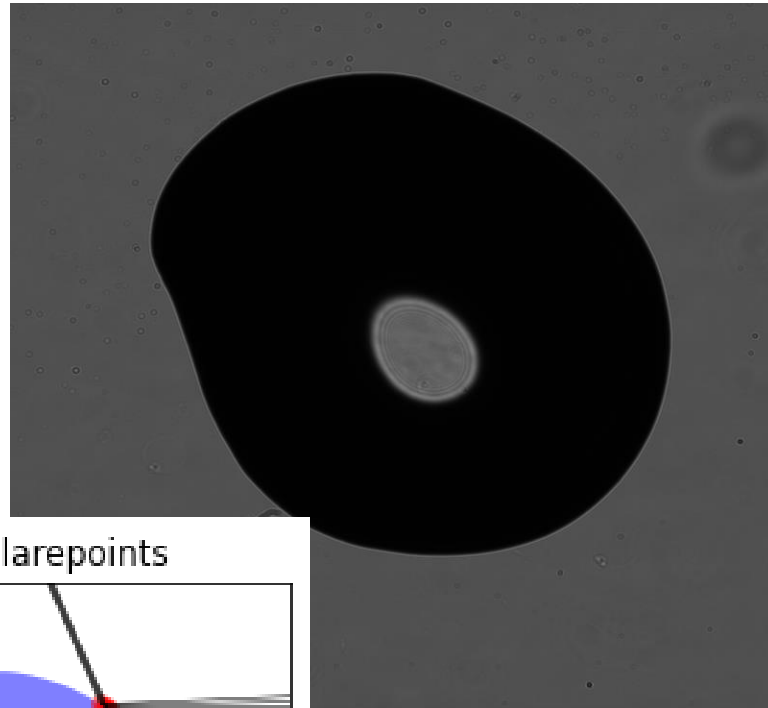
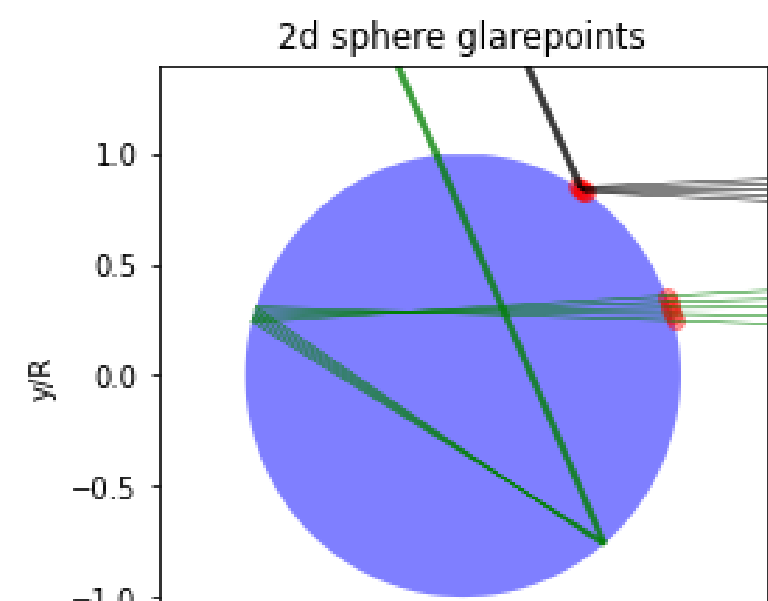
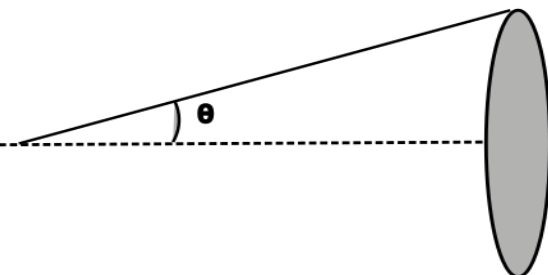
Calculation of droplet glare points

Intensity maxima when a liquid droplet is illuminated and viewed from a certain direction.

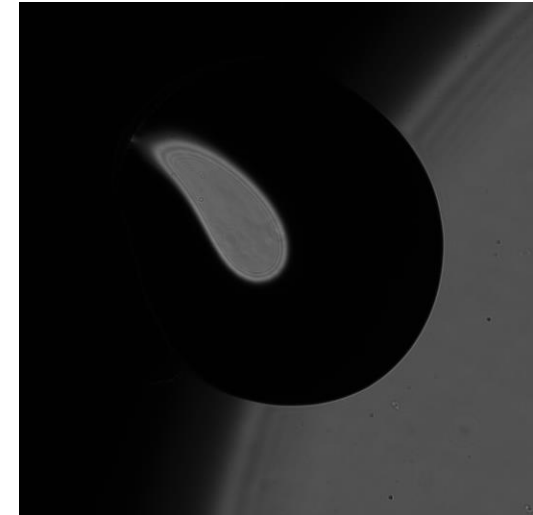
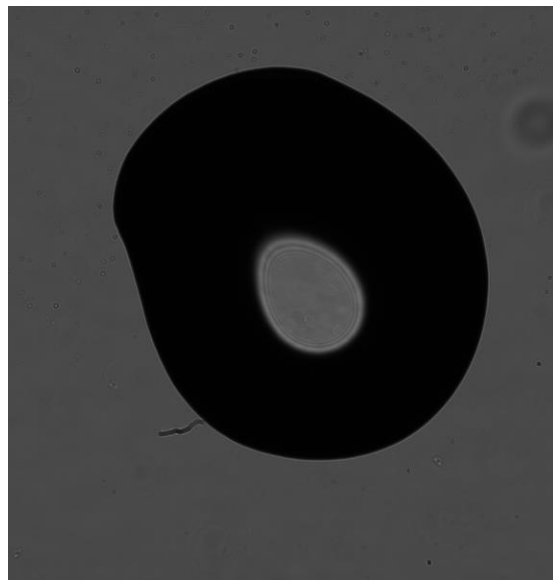
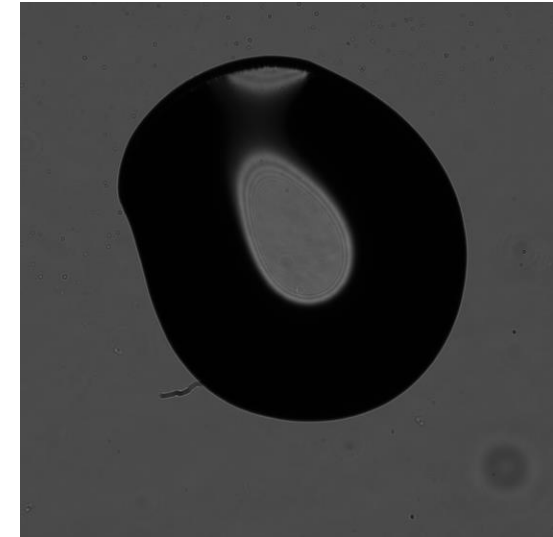
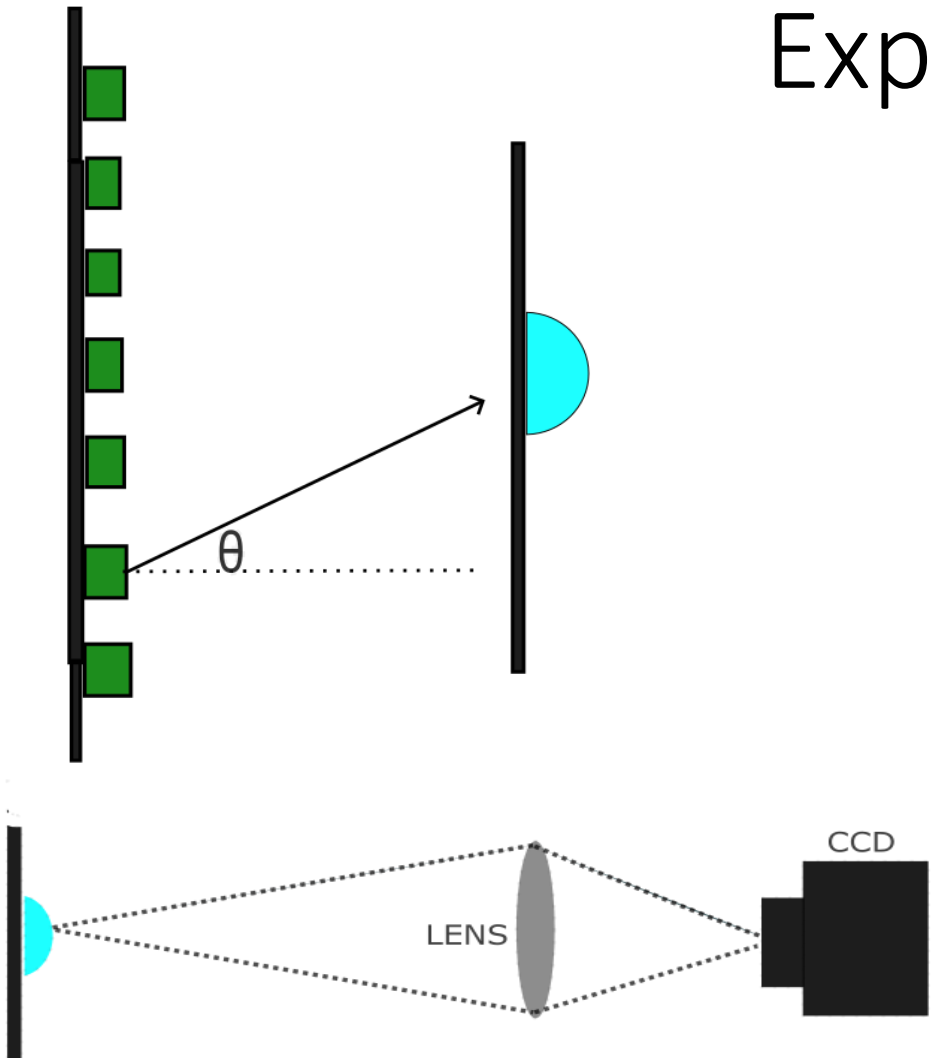
The NA of the objective defines accept angle of the exiting rays.
 $NA = n \sin\theta_{\max}$

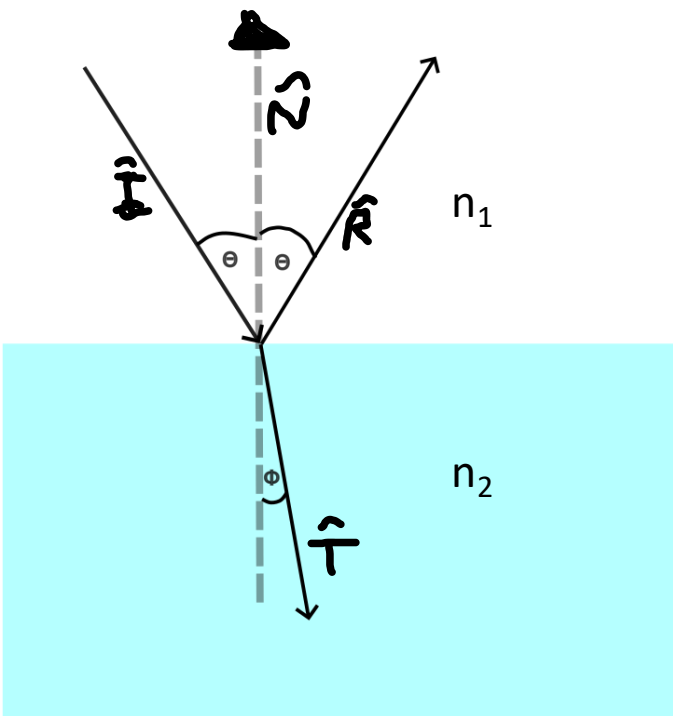


Glare points are then the exit points of the rays.



Experimental images





$$\theta_i = \theta_r$$

$$n_1 \sin \theta = n_2 \sin \Phi$$

$$\hat{T} = \alpha \hat{I} + \beta \hat{N}.$$

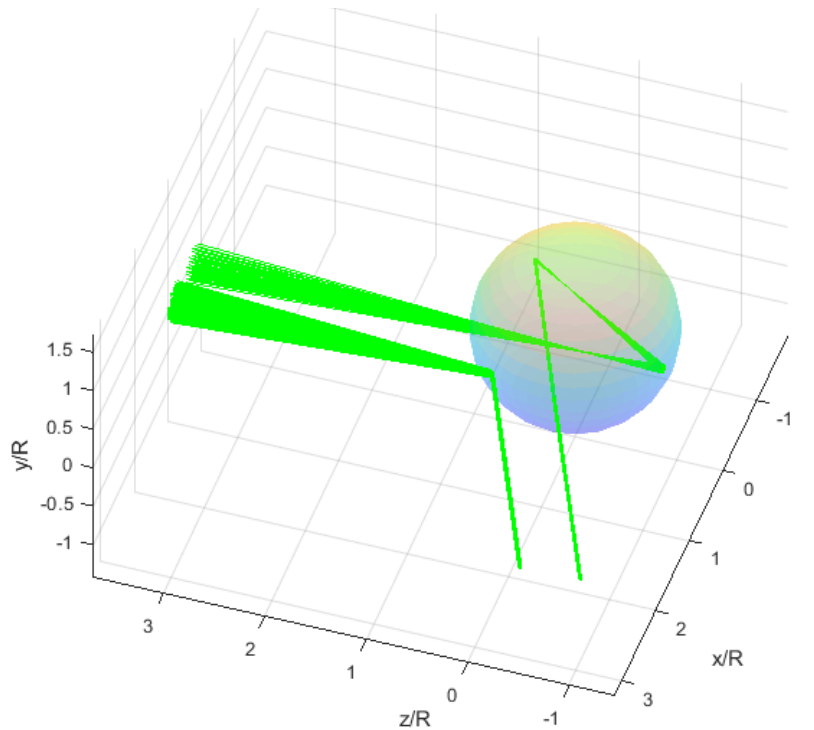
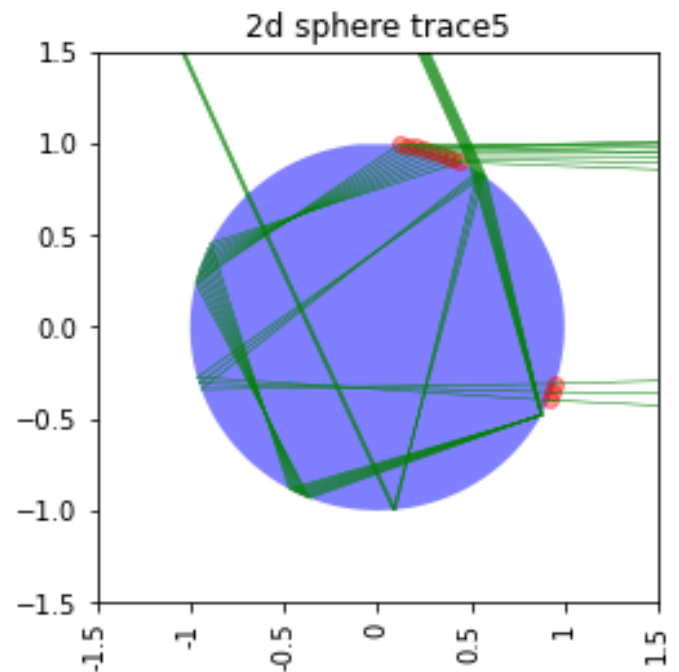
and one finds that $\alpha = (n_1/n_2)$, $\beta = (n_1/n_2) \cos(\theta_i) - \sqrt{1 - (n_1/n_2)^2 \sin^2(\theta_i)}$.

Similarly we write

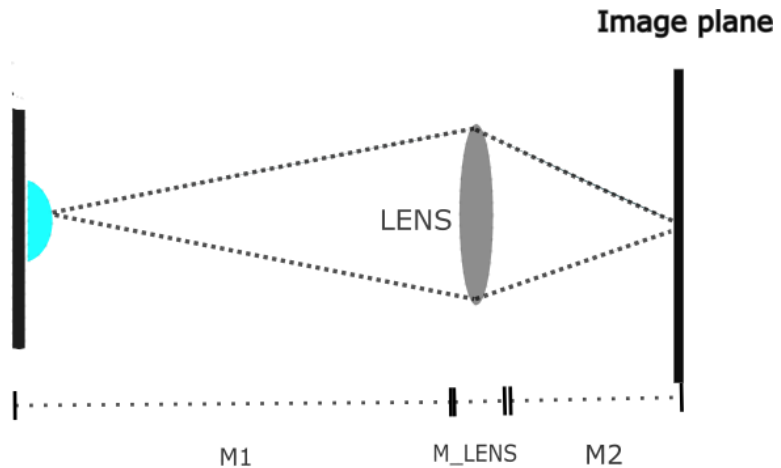
$$\hat{R} = \gamma \hat{I} + \sigma \hat{N}$$

with coefficient values $\gamma = 1$, $\sigma = -2(\hat{I} \cdot \hat{N})$.

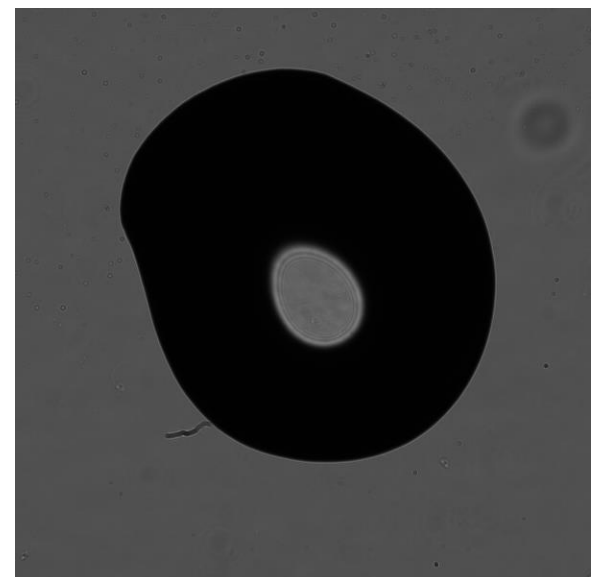
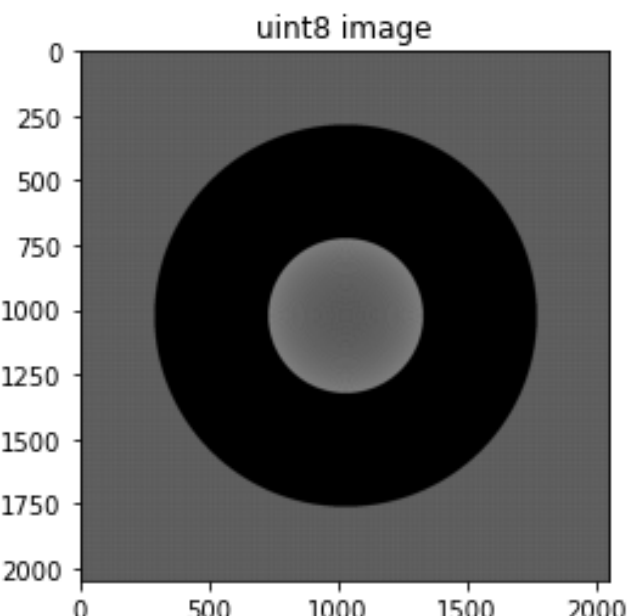
Ray tracing



Simulated imaging



$$M_{\text{system}} = M_3 M_{\text{lens}} M_1 = \begin{bmatrix} 1 & z_2 \\ 0 & 1 \end{bmatrix} \begin{bmatrix} 1 & 0 \\ -\frac{1}{f} & 1 \end{bmatrix} \begin{bmatrix} 1 & z_1 \\ 0 & 1 \end{bmatrix} = \begin{bmatrix} 1 - \frac{z_2}{f} & z_1 + z_2 - \frac{z_1 z_2}{f} \\ -\frac{1}{f} & 1 - \frac{z_1}{f} \end{bmatrix}$$

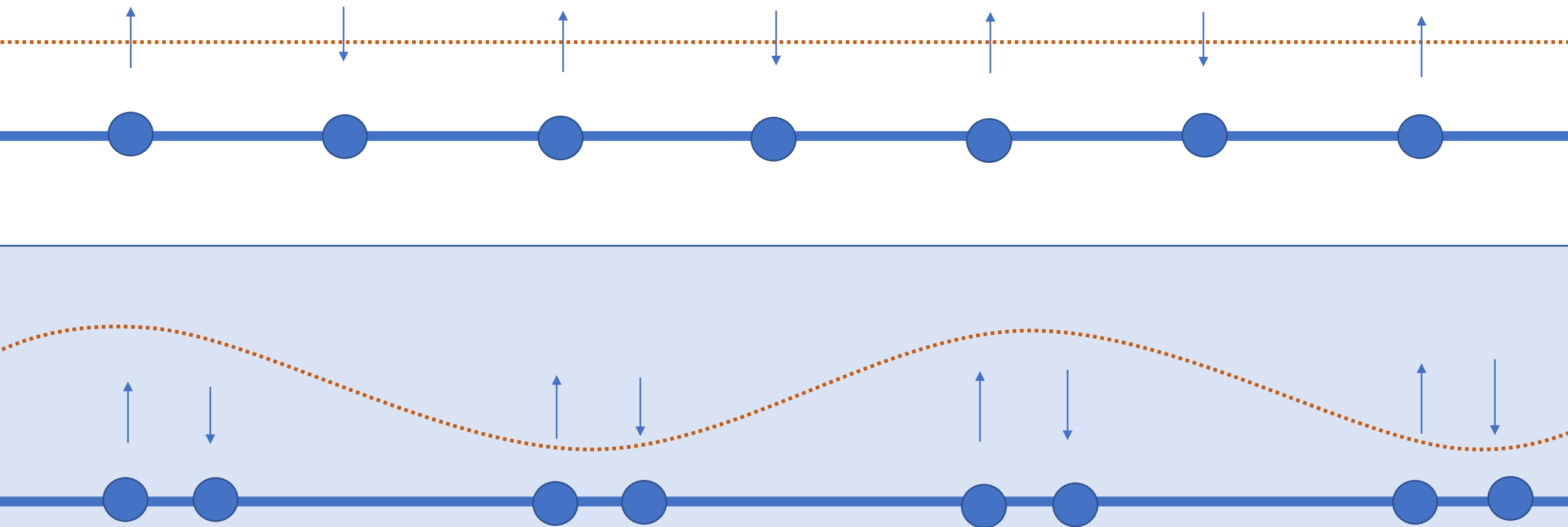


Ladningstetthetsbølger

Marthe og Stine

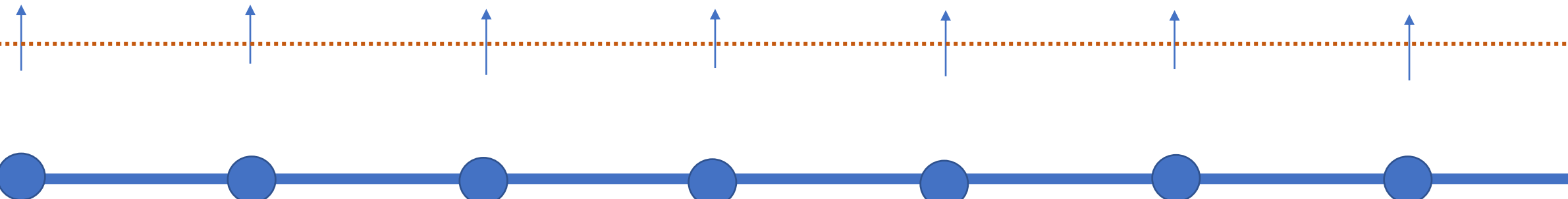
Ladningstetthetsbølge vs Superledning

Fonon-elektron interaksjoner

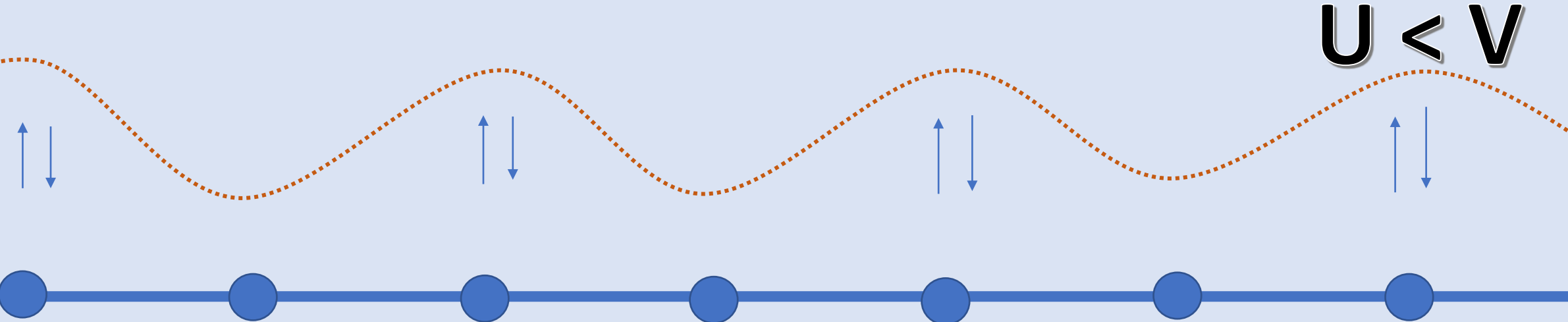


Elektron-elektron interaksjoner

$U > V$



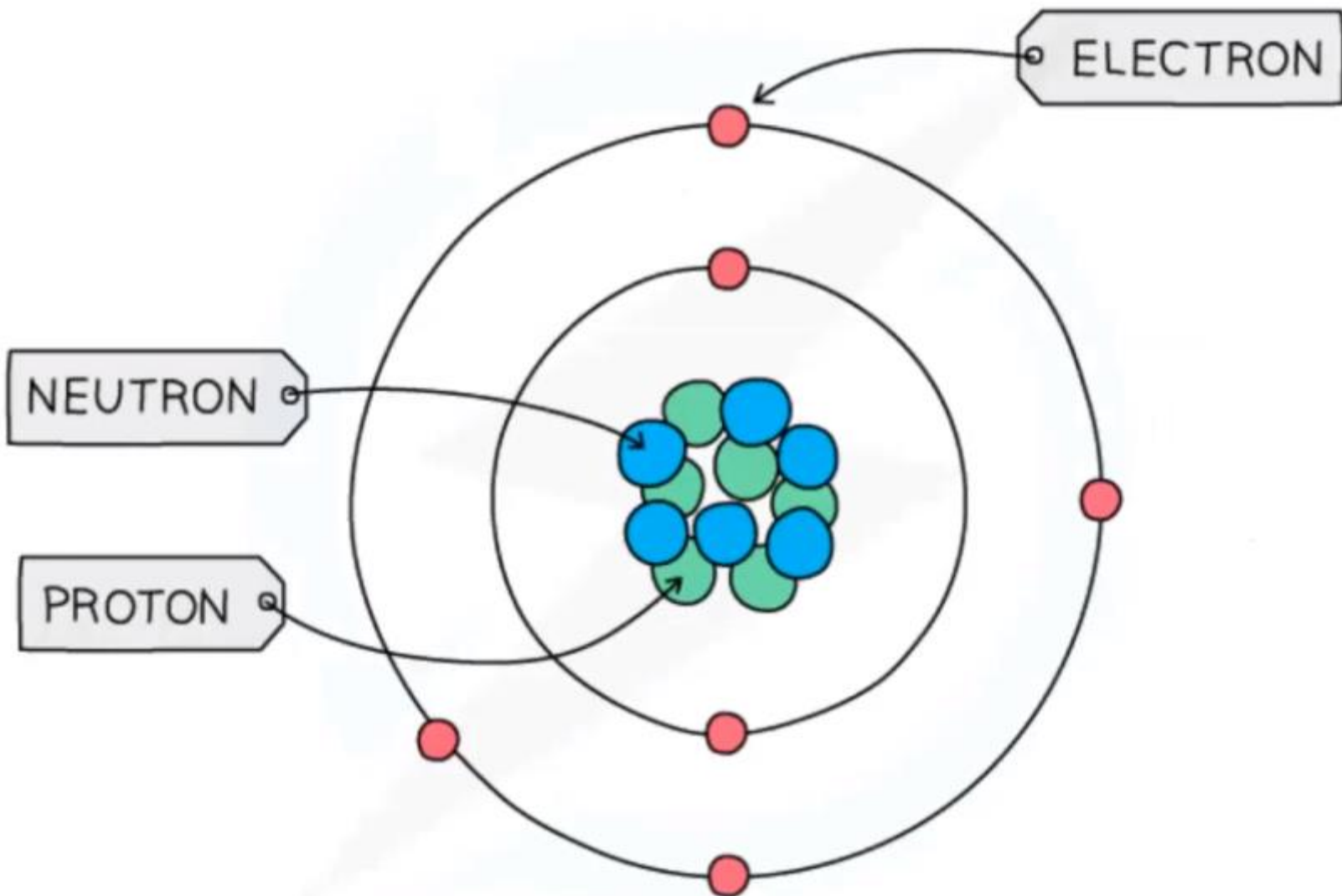
$U < V$



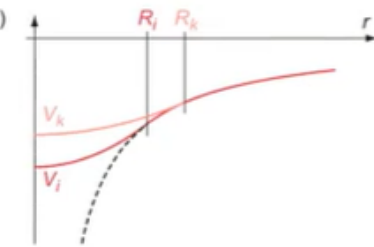
Computation of the hyperfine structure constant
in $^3P_{1,2}$ and 1D_2 of $^{207}_{82}\text{Pb}$ $6p^2$ using a
Multi-Configurational Dirac-Hartree-Fock
approach with the General Relativistic Atomic
Structure Package 2018 [3]

Martin Kinden Karlsen

December 2022



rnucl - define nuclear data (Z, mass, spin, dipole+quadrupole moment)

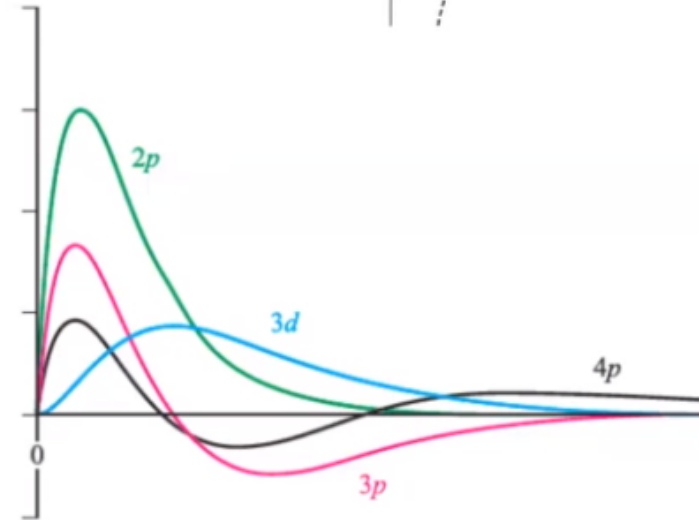


rcsfgenerate - generate CSF basis, within an active space of one- e^- orbitals

rcsfinteract - remove weakly interacting CSFs

rangular - pre-compute spin-angular integrals

rwfnestimate - initial estimates of the radial orbitals



$$\phi_{n\kappa m}(\vec{q}) = \frac{1}{r} \left[\begin{array}{l} P_{n\kappa}(r) \Omega_{\kappa m}(\theta, \phi) \\ i Q_{n\kappa}(r) \Omega_{-\kappa m}(\theta, \phi) \end{array} \right]$$

Optimizes the radial orbitals

$$\Psi(\gamma J^\pi M) = \sum_{i=1}^N c_{\gamma_i} \Phi(\gamma_i J^\pi M)$$

and mixing coefficients

rmcdhf - Dirac-Coulomb self-consistent field procedure

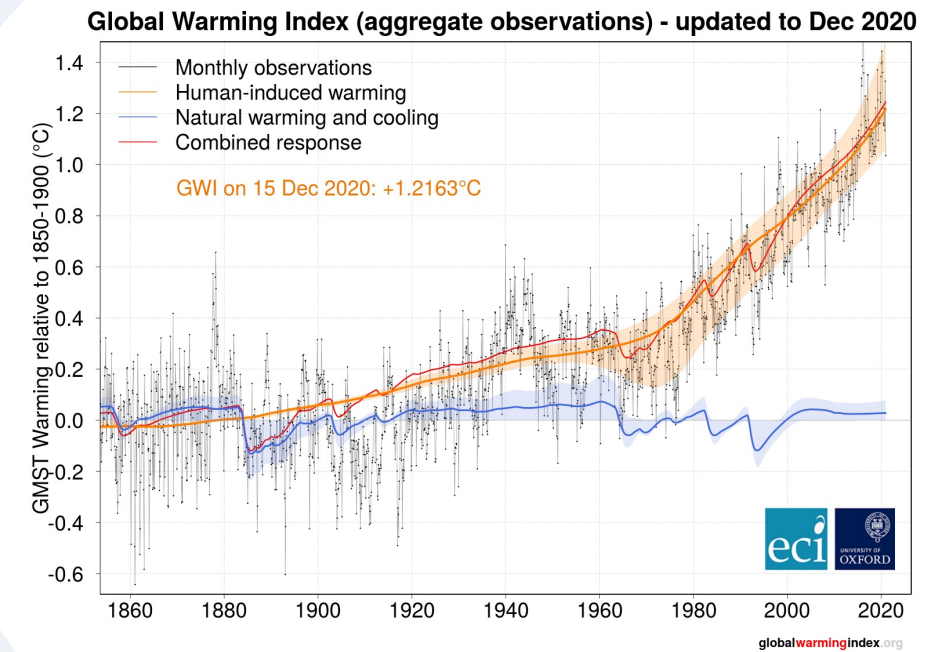
rci - configuration-interaction with Breit+QED

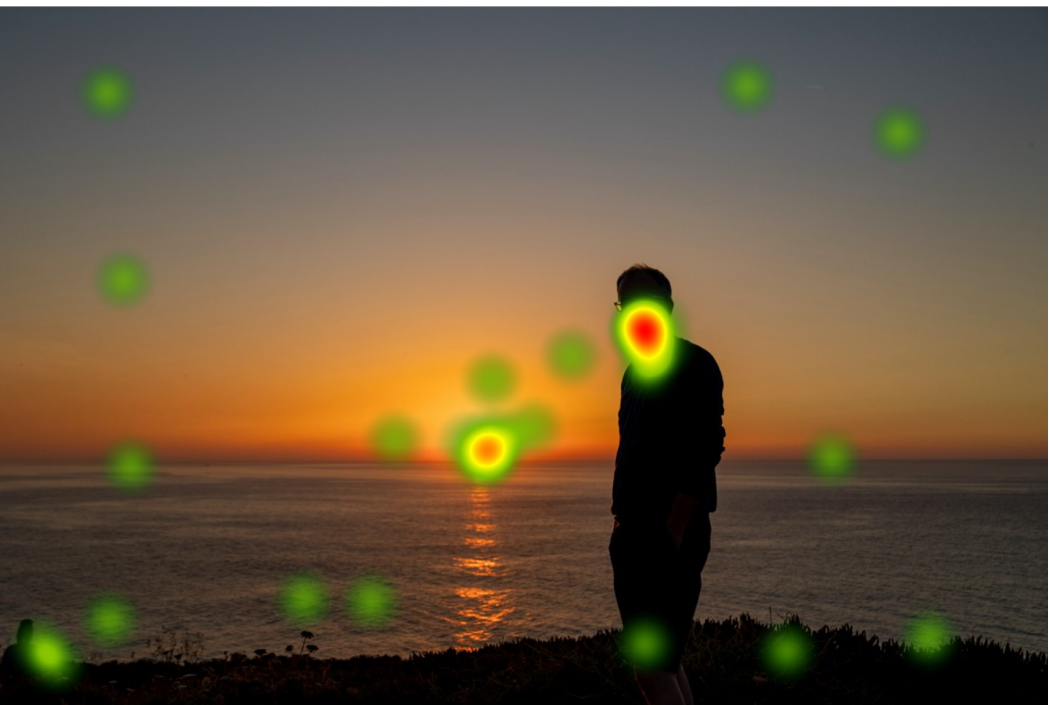
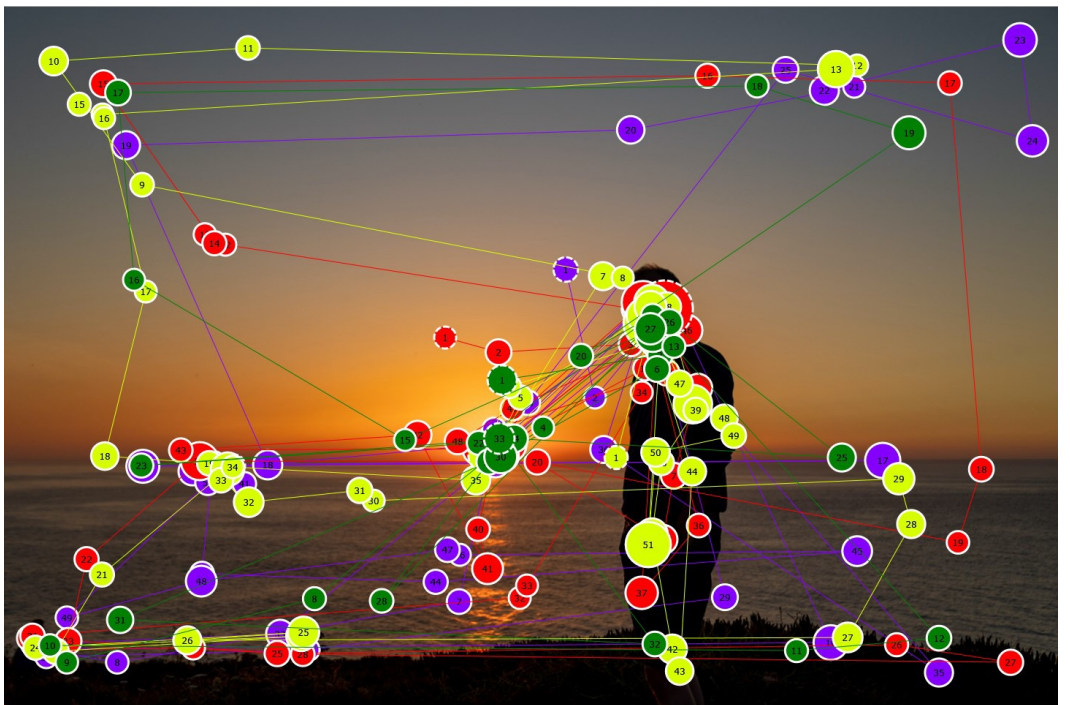
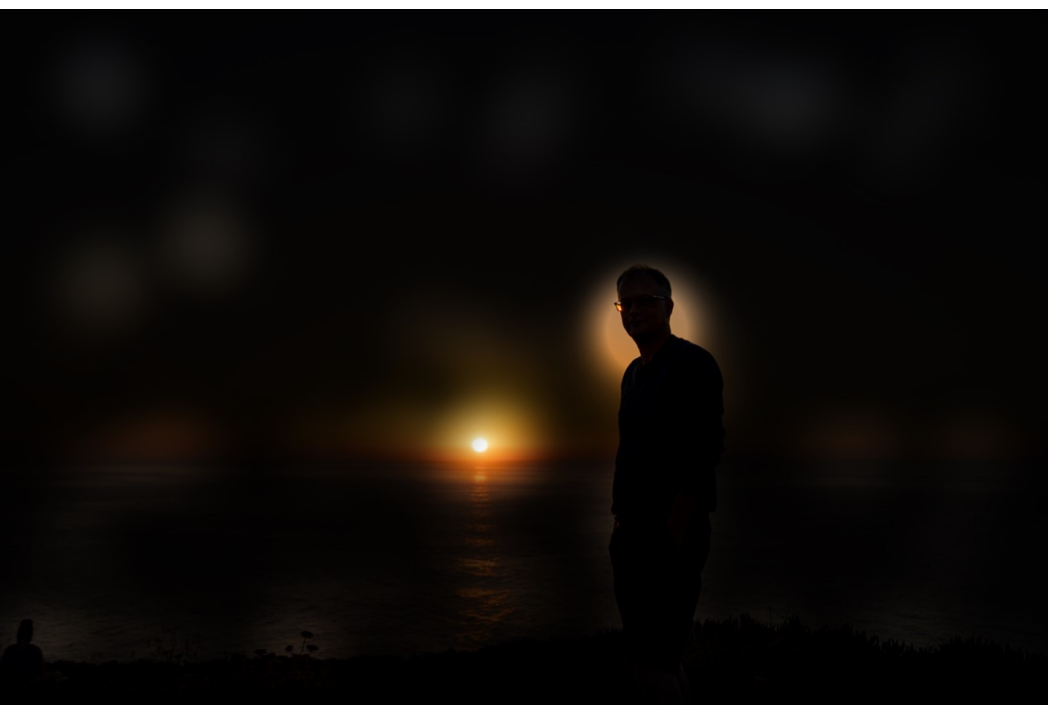
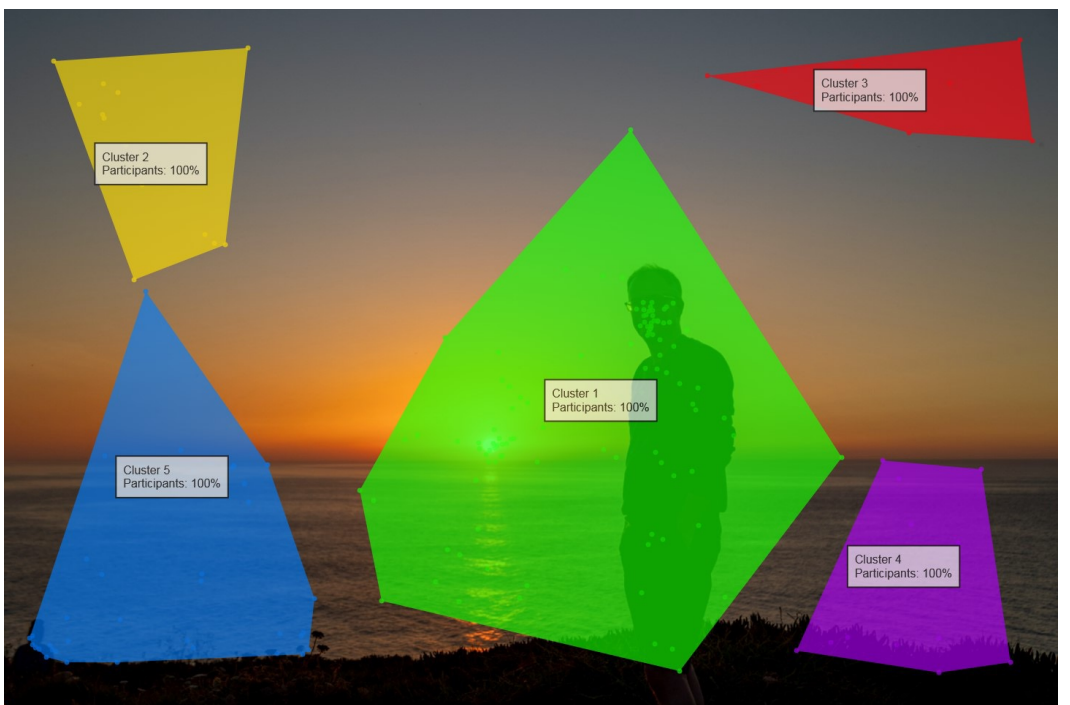
rhfs - compute magnetic dipole and electric quadrupole hyperfine structure constants, and Landé g_J -factors.

Eye-tracking av grafer

Mathilde Moen
Veileder: Jonas Persson

- Hvordan leser studenter grafer?
- Er det noen forskjell mellom nye og eldre studenter?





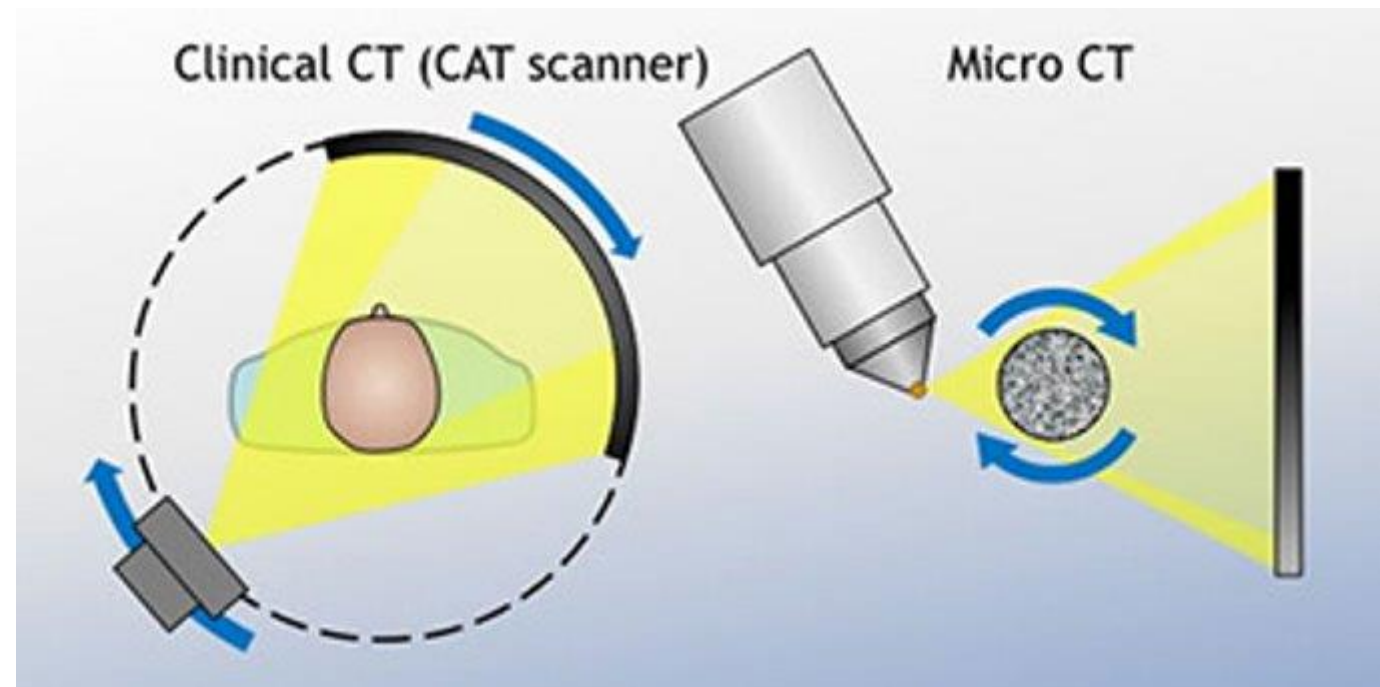
3D-avbildning av dynamiske systemer med X-ray CT

Av: Mats-Johan Fagerheim

Veiledere: Ragnvald Mathisen og Amir Ghaderi (SINTEF Industri)

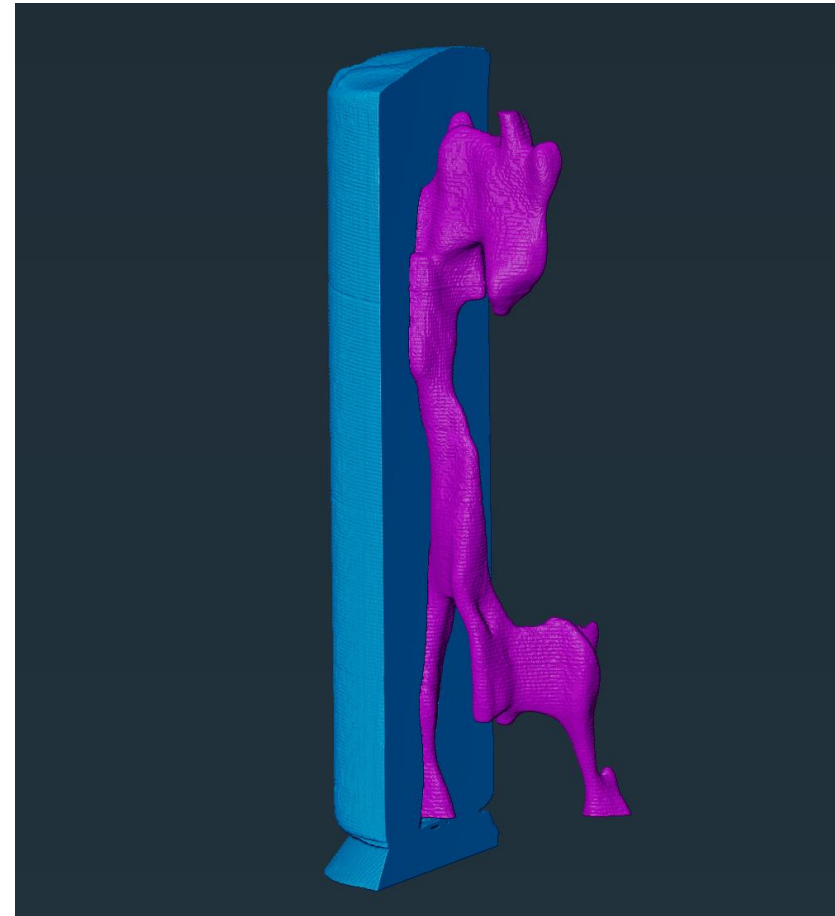
Computed tomography (CT)

- Projeksjoner av objektet (X-ray)
 - Attenuasjon
 - Filter back projection
-
- Redusere antall projeksjoner
 - Avbildningsmetoder
 - Forhåndskunnskaper



Porøse medier

- 3D printet
- Pore hentet fra sandstein
- Mål på feil



Spørsmål ?



Multifysikk-modellering av PEM-elektrolyse for hydrogenproduksjon

Jenny Sandgren Østenstad

Veiledere:

Jon Andreas Støvneng

Alejandro Oyarce Barnett (Hystar)

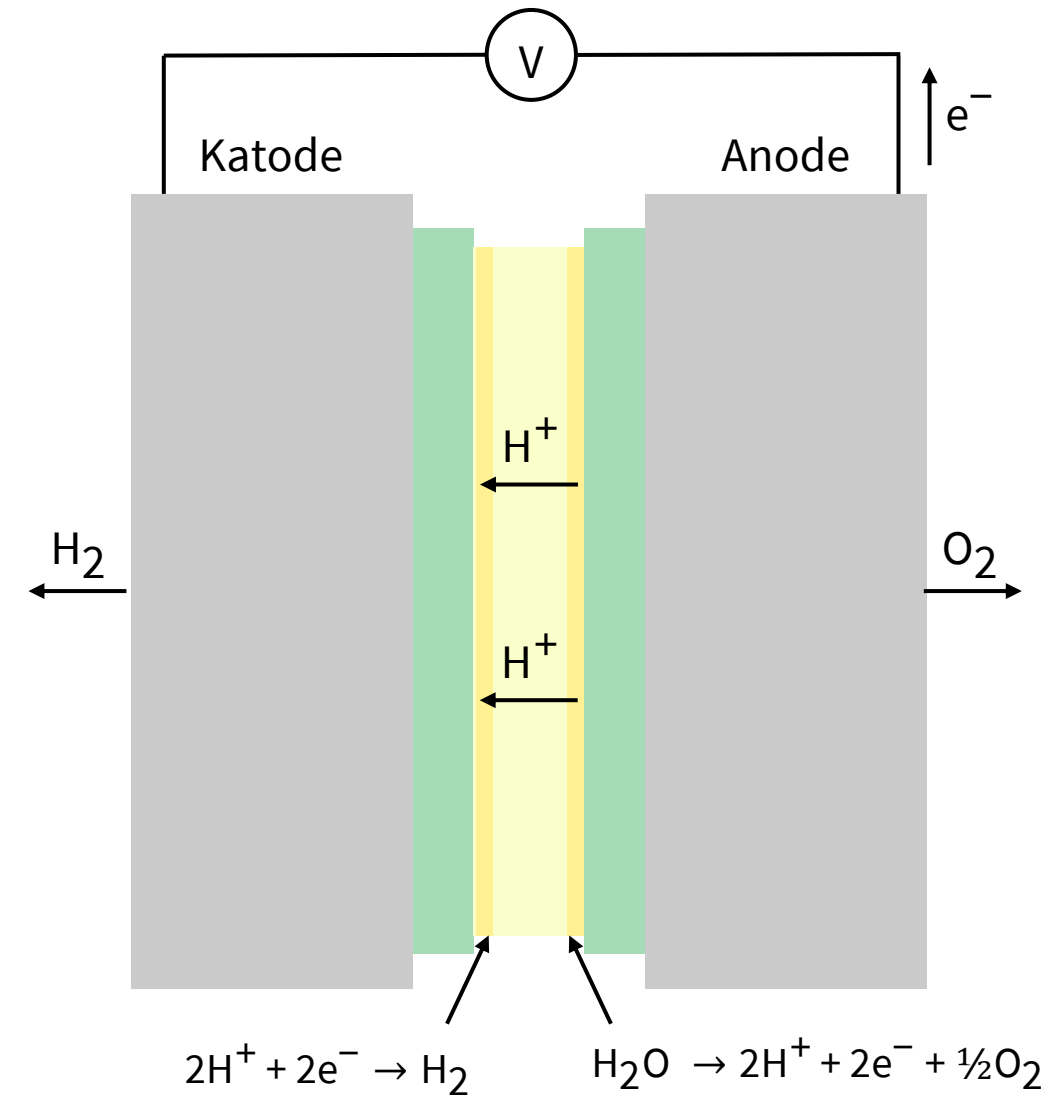
Michael Gerhardt (SINTEF)





PEM-elektrolyse

PEM = Proton Exchange Membrane



○ Hvorfor PEM-elektrolyse?

- Dekarbonisere industrier der det er vanskelig eller umulig å erstatte med andre energikilder
 - Transport: tog, shipping, (bil)
 - Produksjon der selve prosessen krever hydrogen: stål, ammoniakk
- Potensiale for dynamisk drift



- Stort behov for forskning på mer avansert modellering av PEM-elektrolyse

- Det finnes relativt lite forskning på PEM-elektrolyse
- Kun en liten andel publiserte artikler dreier seg om datamodellering, og modeller er i stor grad empiriske/forenkledе
- Prosjektoppgave: gjennomgang av relevante fysiske prinsipper, review av eksisterende modeller

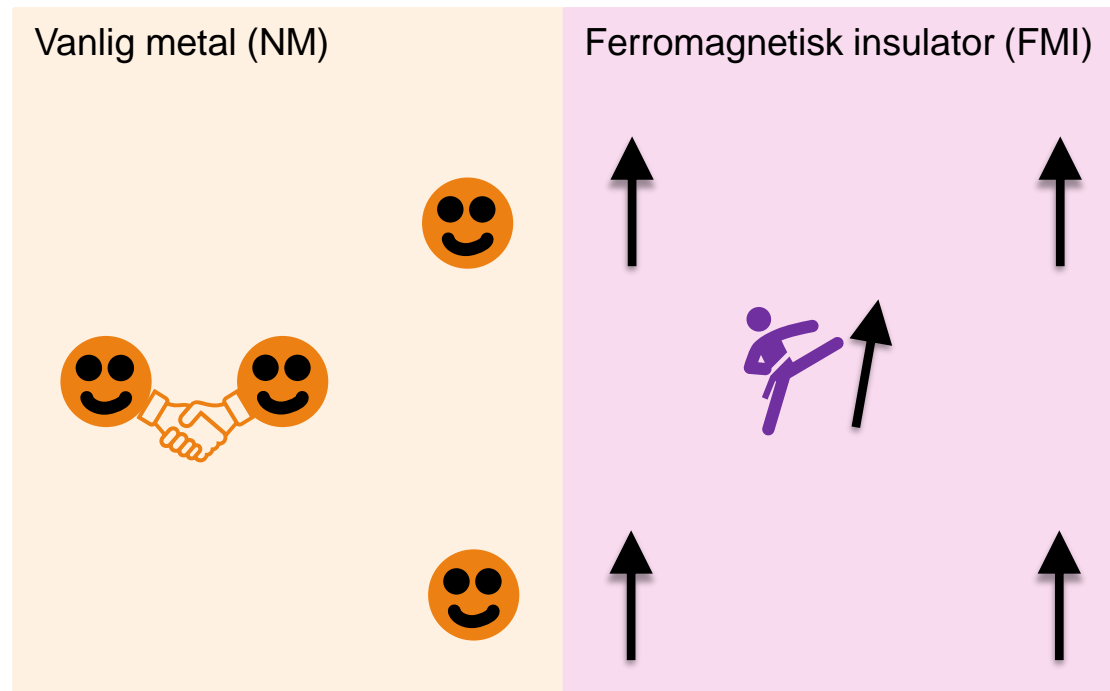


Magnon-medierete interaksjoner mellom elektroner i en multi-bånd modell

Prosjektoppgave Desember 2022,
Sara Abnar med veileder Asle Sudbø for QuSpin

NM/FMI heterostruktur

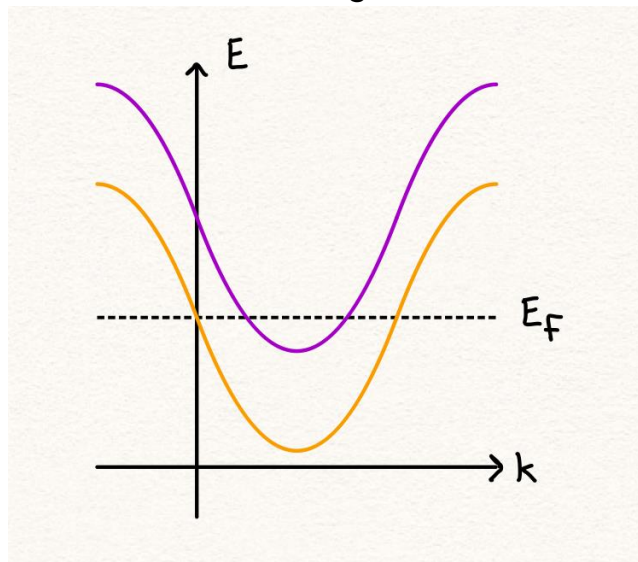
- Lave temperature
 - Elektroner ved Fermi nivå 
 - Magnoner 
- Interaksjoner
 - Cooper-par 
 - Superleder



Multi-bånd tilfellet

- Flere Fermi nivå
- Bedre superledning?
 - Større strøm?
 - Høyere temperaturer?

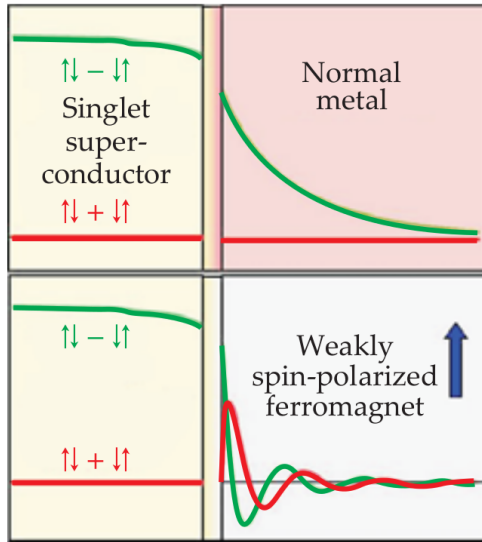
Enkelt to-bands diagram



Supercurrent-induced proximity effects at spin-orbit coupled interfaces

Sigrid Aunsmo
Veileder: Jacob Linder

Teori



Proximity effect

Singlett Cooper par:
 $|\uparrow\downarrow\rangle - |\downarrow\uparrow\rangle$

Triplet Cooper par

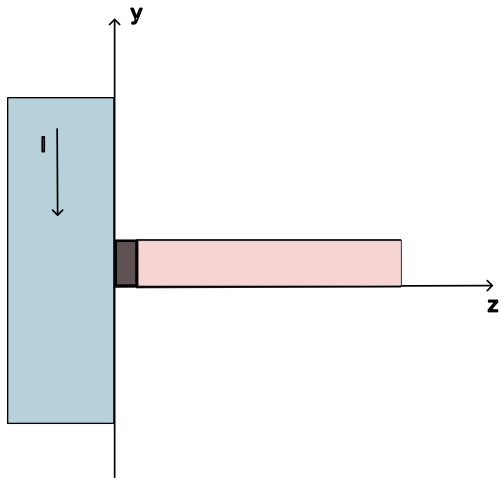
$|\uparrow\uparrow\rangle$
 $|\uparrow\downarrow\rangle + |\downarrow\uparrow\rangle$
 $|\downarrow\downarrow\rangle$

Kvasiklassisk approksimasjon

Spin strøm og spin-bane koblende grensesjikt

Venstre siden:
superledende spinstrøm
 $|\uparrow\uparrow\rangle e^{iJy} + |\downarrow\downarrow\rangle e^{-iJy}$

Høyre siden:
både trippletter og singlett



Oppsummert

- Superledning kan lekke gjennom til andre materialer.
- Singlett-triplett miksing i grensesjikt mellom superleder og ferromagnet
- Min oppgave - superlednede spinstrøm grensende til normal metal

A Functional Integral Approach to Magnetism and Superconductivity

Sondre Duna Lundemo
Supervisor: Asle Sudbø

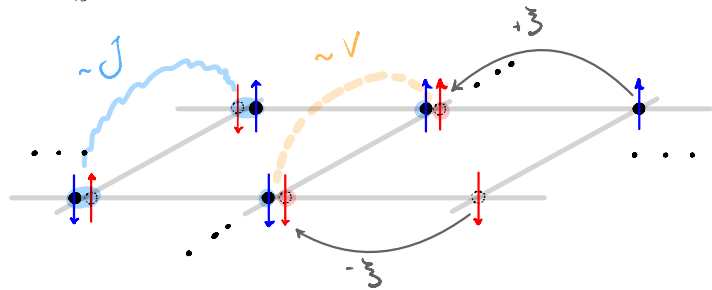
December 1, 2022



Ginzburg-Landau Theory for itinerant ferromagnetism and superconductivity

Model:

$$\begin{aligned} \mathcal{S}[\bar{\psi}, \psi] = & \int_x \sum_{\sigma} \bar{\psi}_{\sigma}(x) [\partial_{\tau} + \xi(-i\nabla)] \psi_{\sigma}(x) && \text{(Free electrons)} \\ & - \int_{x,y} \bar{\psi}_{\uparrow}(x) \bar{\psi}_{\downarrow}(y) V(x-y) \psi_{\downarrow}(y) \psi_{\uparrow}(x) && \text{(Spin singlet SC)} \\ & - \int_{x,y} J(x-y) \mathbf{S}(x) \cdot \mathbf{S}(y). && \text{(Ferromagnetic exchange)} \end{aligned}$$



Ginzburg-Landau Theory for itinerant ferromagnetism and superconductivity

Free energy functional

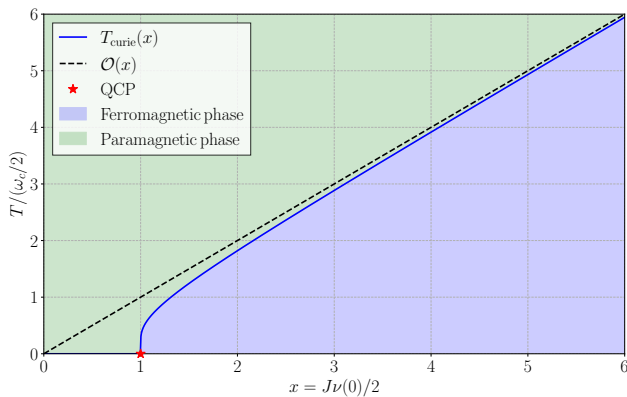
$$\beta F = \text{---} \bullet \text{---} + \text{---} \circlearrowleft \text{---} + \frac{1}{2} \begin{array}{c} \diagdown \\ \square \\ \diagup \end{array} + \dots \quad (\text{Superconductivity})$$
$$+ \text{---} \bullet \text{---} + \text{---} \circlearrowleft \text{---} + \frac{1}{2} \begin{array}{c} \diagdown \\ \square \\ \diagup \end{array} + \dots \quad (\text{Magnetism})$$
$$+ \text{---} \bullet \text{---} + \frac{1}{2} \begin{array}{c} \diagdown \\ \square \\ \diagup \end{array} + \begin{array}{c} \diagup \\ \square \\ \diagdown \end{array} + \dots \quad (\text{Coexistence})$$

Assorted results

Studying the particle-hole bubble  yields the critical temperature

$$T_{\text{curie}} = \frac{\omega_c}{2} \left(\operatorname{artanh} \left(\frac{2}{J\nu(0)} \right) \right)^{-1},$$

and the phase-diagram:

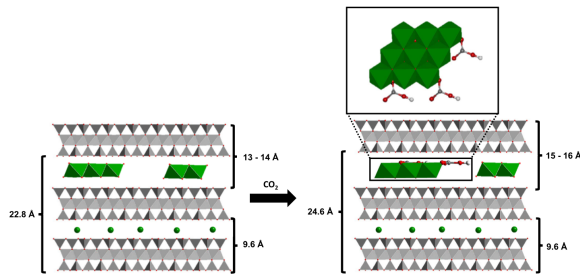


Competitive CO₂ capture using clay minerals: From science to innovation

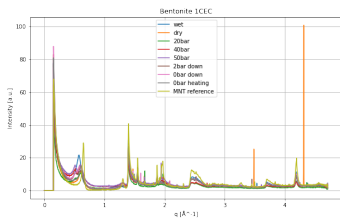
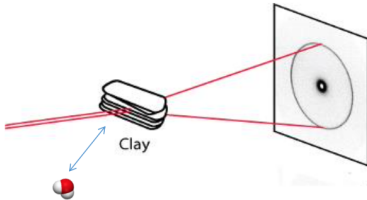
Sunniva Omdal

December 5, 2022

Adsorption mechanism



X-ray scattering

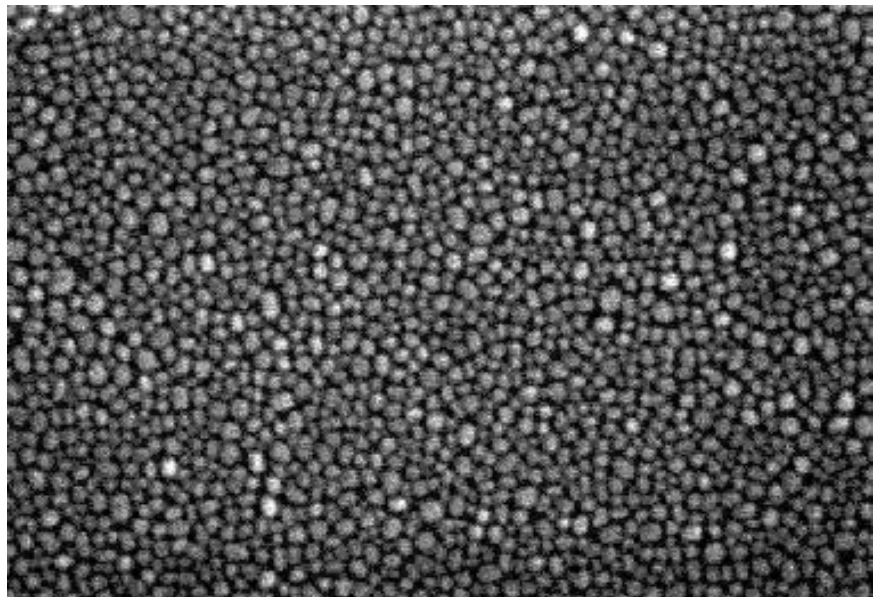


Summary

BEM simulations of the optical response of metallic island films on dielectric substrates

Tarjei Naadland Holo

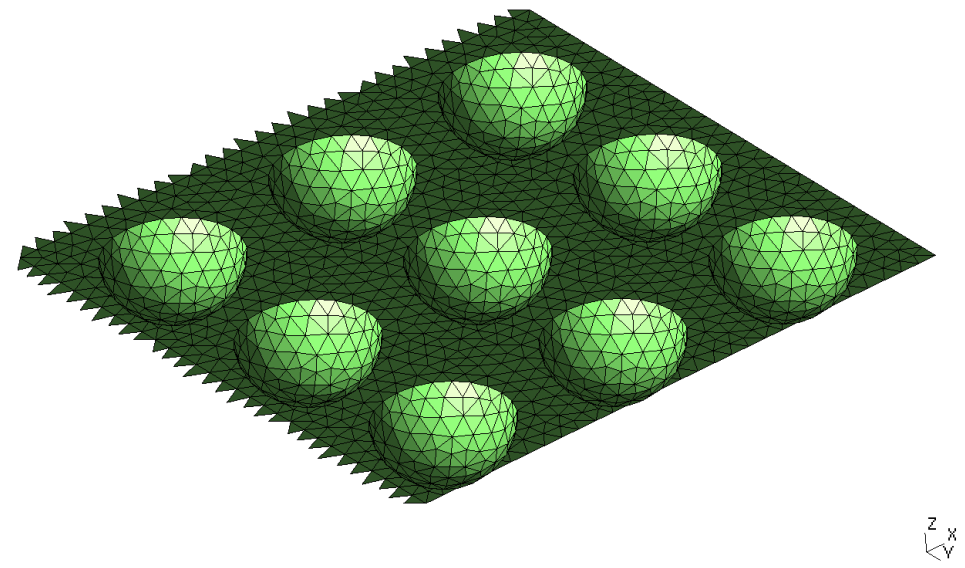
System of interest: metallic island film on dielectric substrate



—

200 nm

From: I. Simonsen, R. Lazzari, J. Jupille, and S. Roux, *Numerical modeling of the optical response of supported metallic particles*, Phys. Rev. B 61, 7722 (2000)



Boundary element approach to electrodynamics

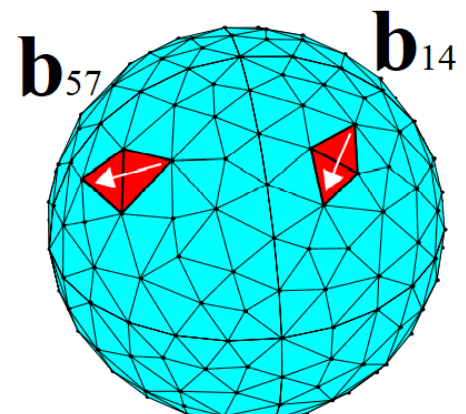
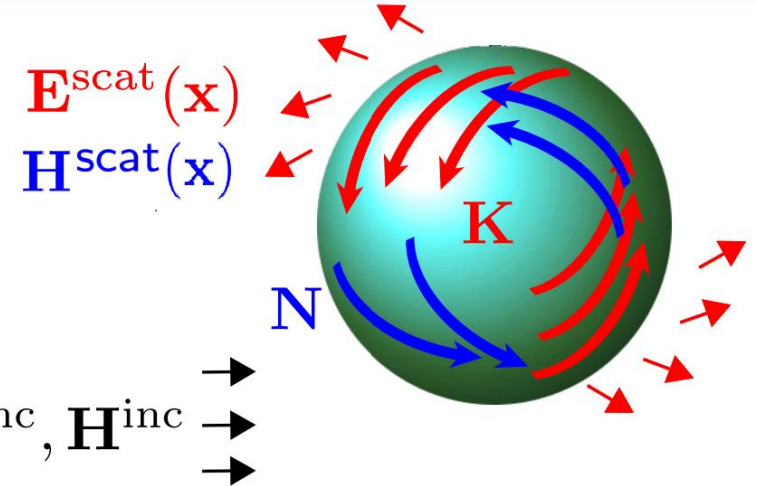
$$\left(\begin{array}{c} \vec{E}(\vec{x}) \\ \vec{H}(\vec{x}) \end{array} \right)_{||}^{\text{scat}} = \left[\int_S \begin{pmatrix} \mathbf{G}^{\text{EE}}(\vec{x}, \vec{x}') & \mathbf{G}^{\text{EM}}(\vec{x}, \vec{x}') \\ \mathbf{G}^{\text{ME}}(\vec{x}, \vec{x}') & \mathbf{G}^{\text{MM}}(\vec{x}, \vec{x}') \end{pmatrix} \cdot \begin{pmatrix} \vec{K}(\vec{x}') \\ \vec{N}(\vec{x}') \end{pmatrix} d\vec{x}' \right]_{||} = - \left(\begin{array}{c} \vec{E}(\vec{x}) \\ \vec{H}(\vec{x}) \end{array} \right)_{||}^{\text{i}}$$

$$\left(\begin{array}{c} \vec{K}(\vec{x}) \\ \vec{N}(\vec{x}) \end{array} \right) = \sum_{\alpha} \begin{pmatrix} k_{\alpha} \\ n_{\alpha} \end{pmatrix} \vec{b}_{\alpha}(\vec{x})$$

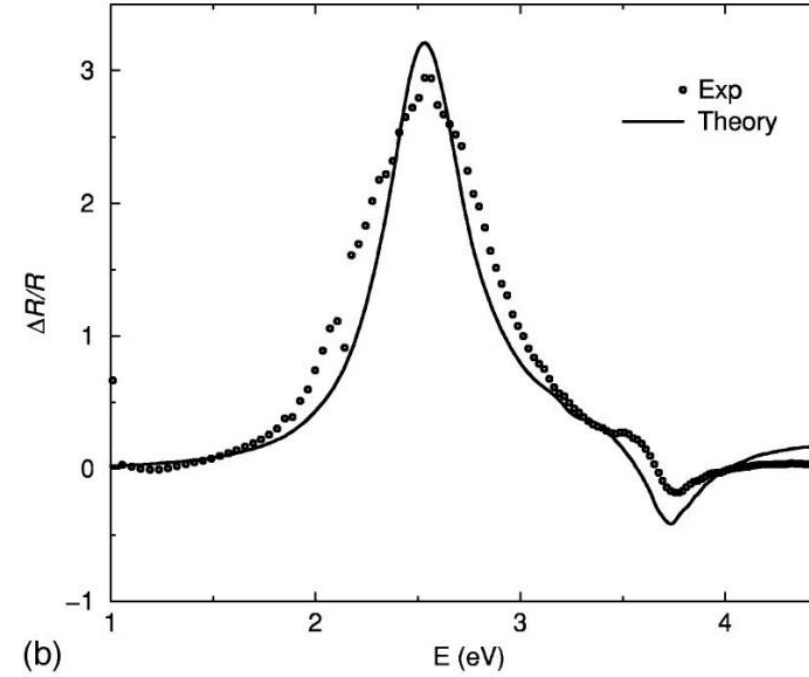
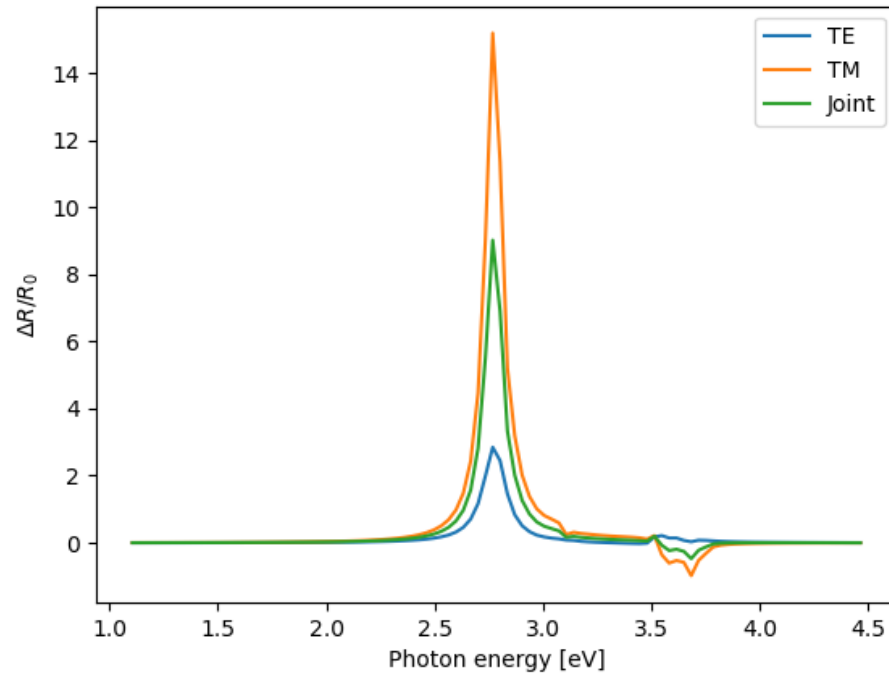


$$\mathbf{M}\vec{k} = \vec{v}$$

Linear system!!



Results: Ag on MgO



From: I. Simonsen, R. Lazzari, J. Jupille, and S. Roux, *Numerical modeling of the optical response of supported metallic particles*, Phys. Rev. B 61, 7722 (2000)

- Peak and valley due to localised surface plasmon resonances
- Different peak positions: not yet implemented size effects
- Different magnitudes: ????

Utvikling av et spektroskopisk, polarimetrisk mikroskop for karakterisering av metaoverflater

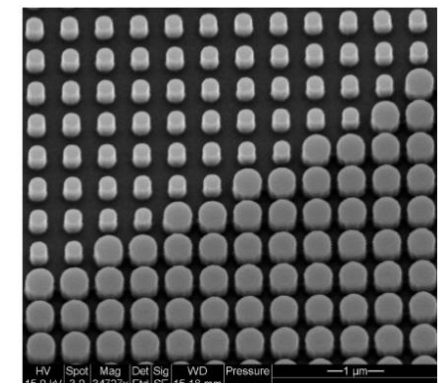
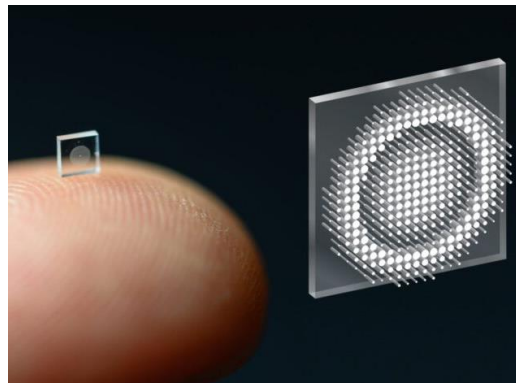
TFY4510 Fordypningsprosjekt Grand Prix, 5.12.2022

Vilde Vraalstad

Veileder: Professor Morten Kildemo

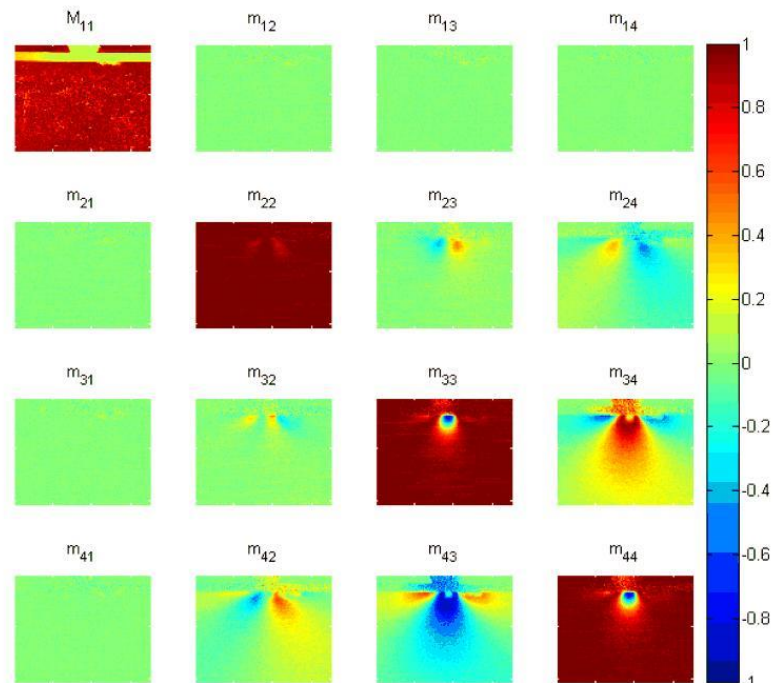
Metaoverflater

- Nanostrukturerte tynnfilmer med struktur som gir spesielle optiske egenskaper
- Små, tynne, flate og akromatiske, og kan erstatte stor, klumpete og dyr optikk
- Kan gjøre integrerte optiske kretser mindre, billigere og raskere, og muliggjør ny bruk av optikk
- Spådd en enorm rolle fremover i optikk- og fotonikk-verden



Spektroskopisk Mueller matrise avbilding

- Et sensitivt verktøy for å analysere de optiske egenskapene til blant annet nanostrukturerte overflater
 - Nyttig for å kontrollere produksjonen og designet av metaoverflater
- Vi utvikler et slikt multimodalt mikroskop, med høy romlig og spektral oppløsning over et stort frekvensområde i NIR og VIS-UV
 - Opererer både i det reelle rommet og Fourier rommet, samt både for refleksjon og transmisjon



Oppsummering

- Utvikling av et multimodalt mikroskop som kombinerer avbilding, spektroskopi og polarimetri
 - Dette er vanskelig, og lite gjort tidligere
- Håper det vil gi nøyaktig og bred karakterisering av blant annet metaoverflater, og bidra til forbedret design og fabrikering